

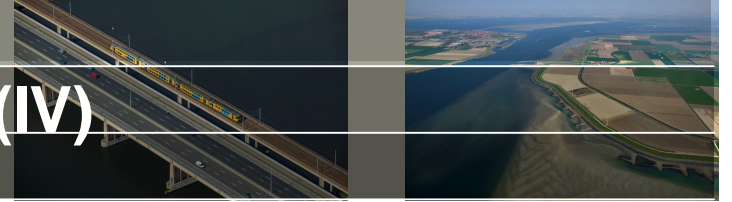


Zoetzout grondwater cursus, deel 1

Gualbert Oude Essink
Bodem en Grondwater Systemen
Deltares

zoetzout.deltares.nl

Afleiding numerieke dispersie: 1D (IV)



$$\frac{\partial^2 C}{\partial t^2}$$

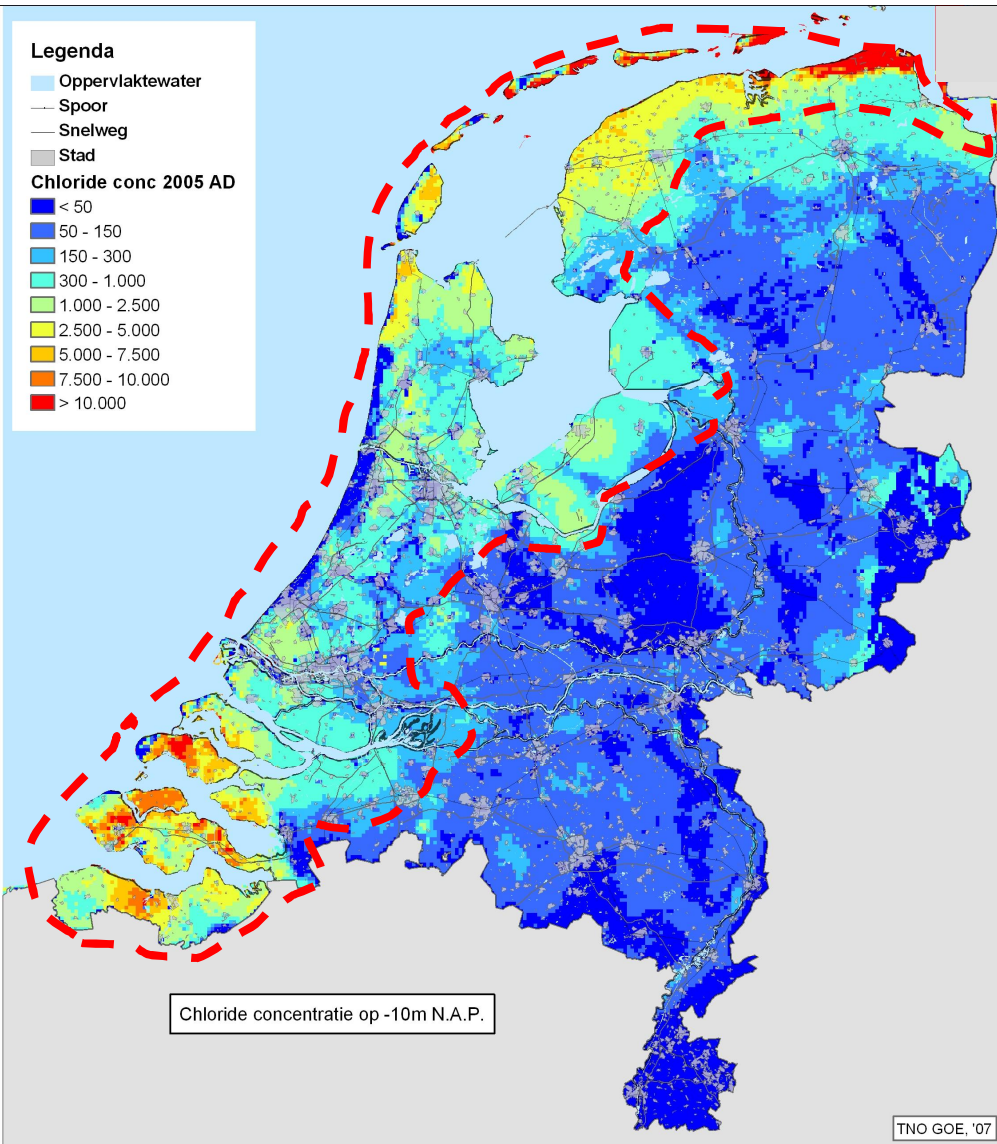
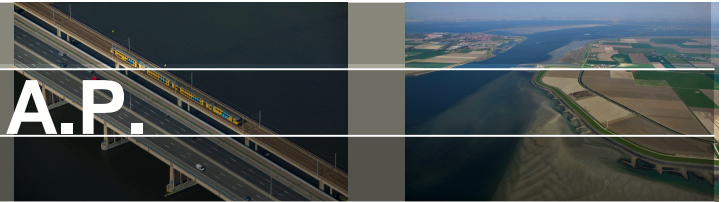
$$\frac{\partial^2 C}{\partial t^2} = \frac{\partial}{\partial t} \left(\frac{\partial C}{\partial t} \right) = \frac{\partial}{\partial t} \left(D \frac{\partial^2 C}{\partial x^2} - V \frac{\partial C}{\partial x} \right) = D \frac{\partial^2}{\partial x^2} \left(\frac{\partial C}{\partial t} \right) - V \frac{\partial}{\partial x} \left(\frac{\partial C}{\partial t} \right)$$

$$\frac{\partial^2 C}{\partial t^2} = D \frac{\partial^2}{\partial x^2} \left(D \frac{\partial^2 C}{\partial x^2} - V \frac{\partial C}{\partial x} \right) - V \frac{\partial}{\partial x} \left(D \frac{\partial^2 C}{\partial x^2} - V \frac{\partial C}{\partial x} \right)$$

$$\frac{\partial^2 C}{\partial t^2} = D^2 \frac{\partial^4 C}{\partial x^4} - VD \frac{\partial^3 C}{\partial x^3} - VD \frac{\partial^3 C}{\partial x^3} + V^2 \frac{\partial^2 C}{\partial x^2}$$

$$\frac{\partial^2 C}{\partial t^2} \approx V^2 \frac{\partial^2 C}{\partial x^2}$$

Chloride verdeling op -10m N.A.P.



gebied waar de chloride concentratie

In de ondergrond zodanig hoog is

dat dichtheidseffecten op de

grondwaterstroming waarschijnlijk

een rol spelen

Drinkwater norm: < 150 mg Cl-/l

Oppervlaktewater: 200 mg Cl-/l

Noordzee: ~ 16800 mg Cl-/l

Stille Oceaan: ~19000 mg Cl-/l

Middellandse Zee: ~22000 mg Cl-/l

Deltares

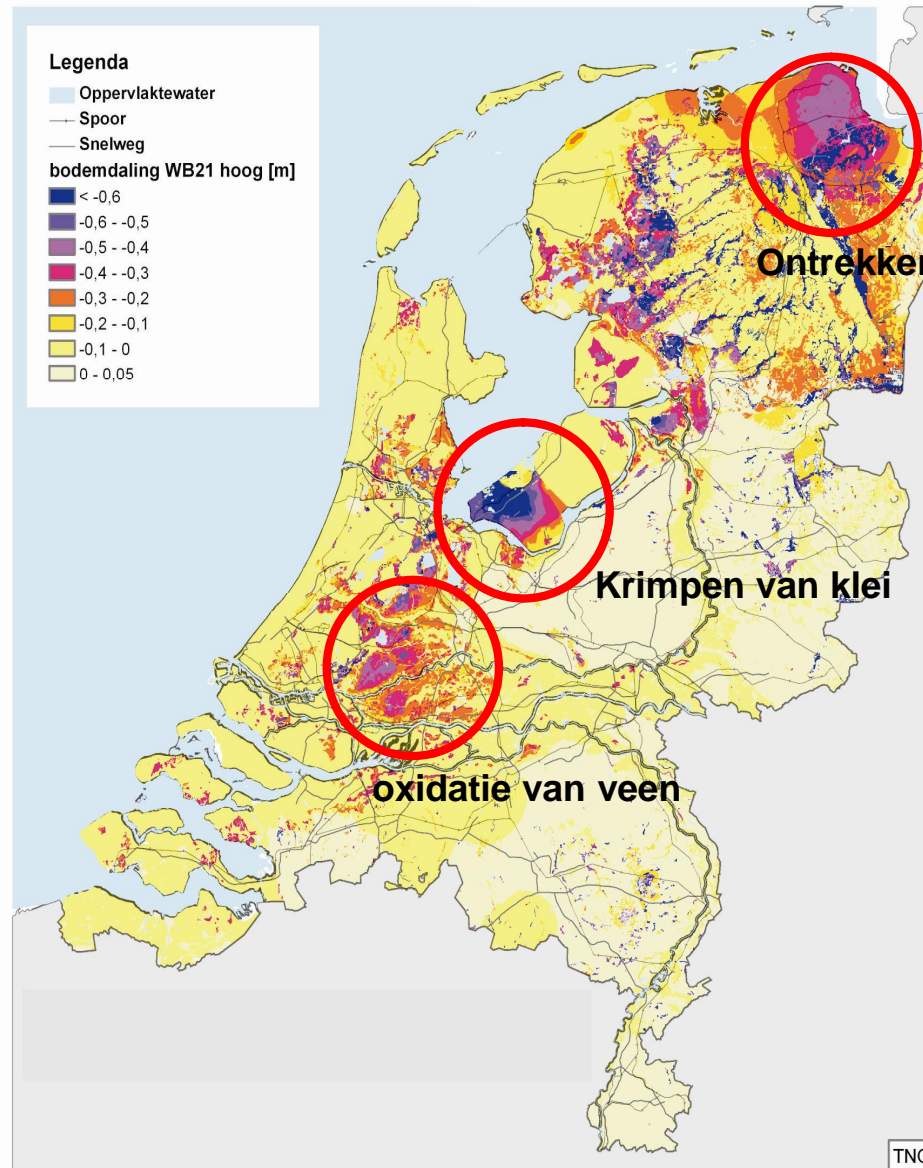
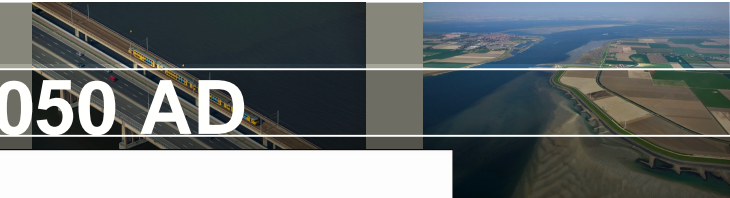
Verzoet of verzilt Nederland?



Oorzaken:

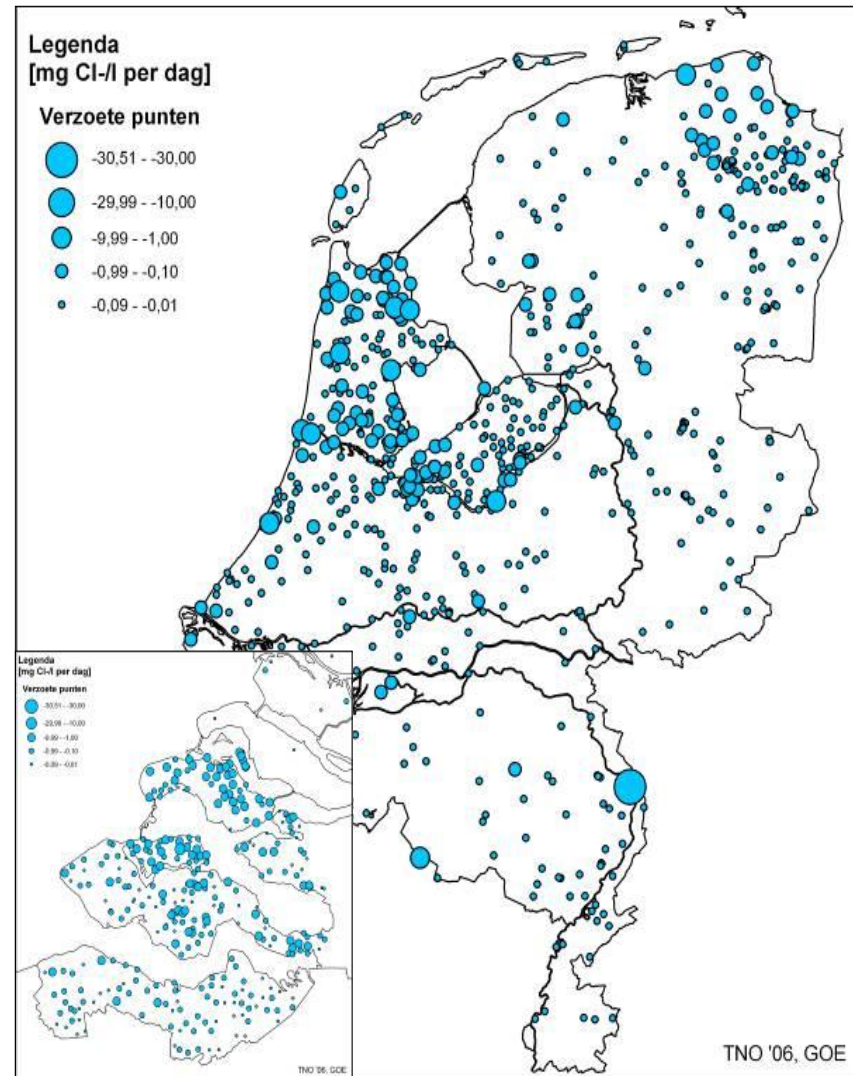
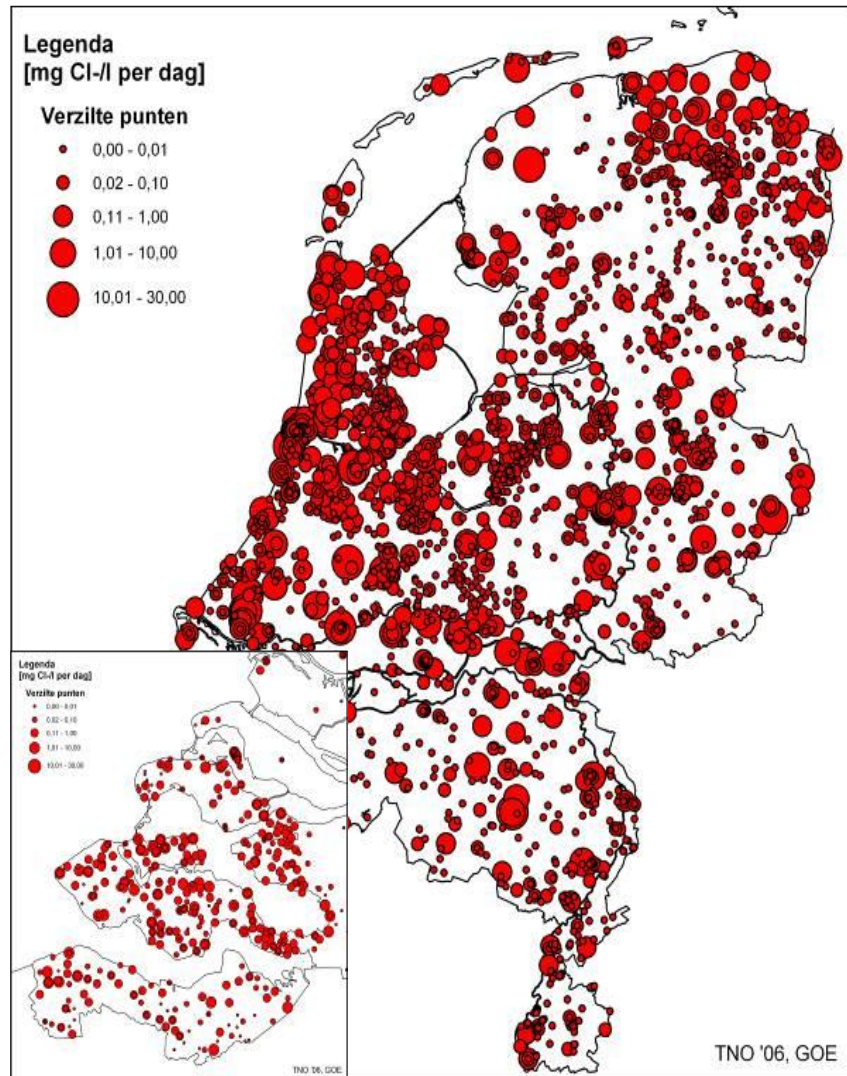
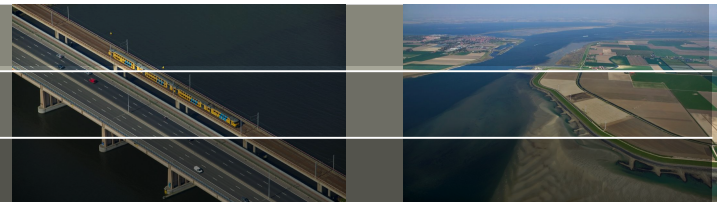
1. Autonome effecten
 - bodemdaling
 - inpolderingen
 - land onder NAP
2. Menselijk ingrijpen
 - peilbeheer
 - grondwateronttrekkingen
 - van zoet naar zout (VZM, Waterdunen)
3. Klimaatverandering
 - zeespiegelstijging
 - grondwaternaavulling

Toekomstige bodemdaling, 2050 AD



eltares

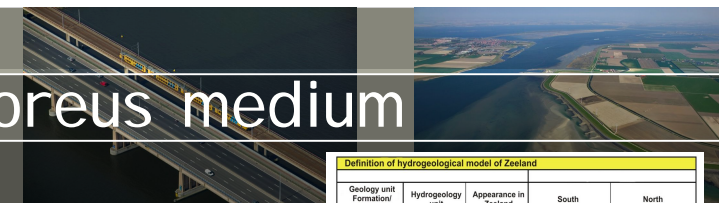
Verzoet of verzilt Nederland?



Concept van een kustgebied



Het grondwater systeem is een poreus medium

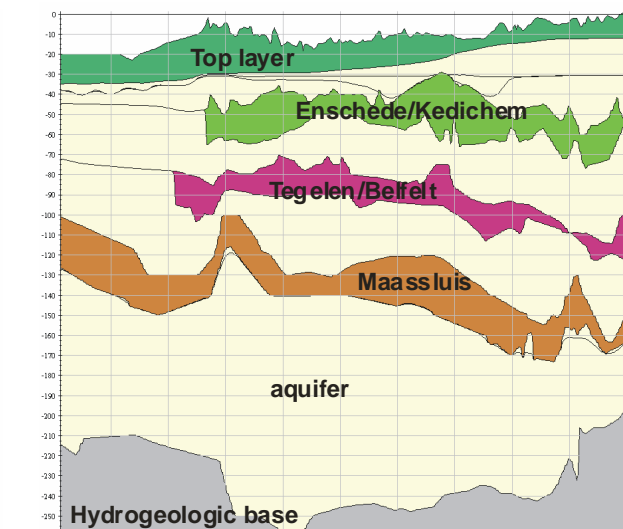
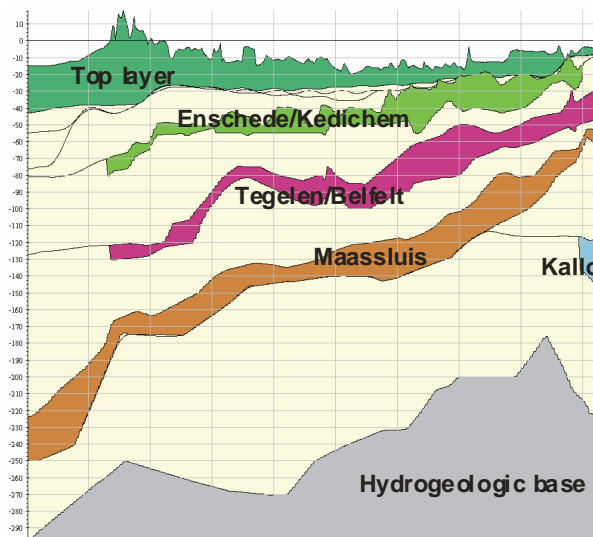


Combinatie van sediment en water

Watervoerende pakketten (aquitard): zand

Weerstandbiedend lagen (aquiclude): klei, veen, leem

Confined aquifer, semi-confined aquifer, phreatic aquifer



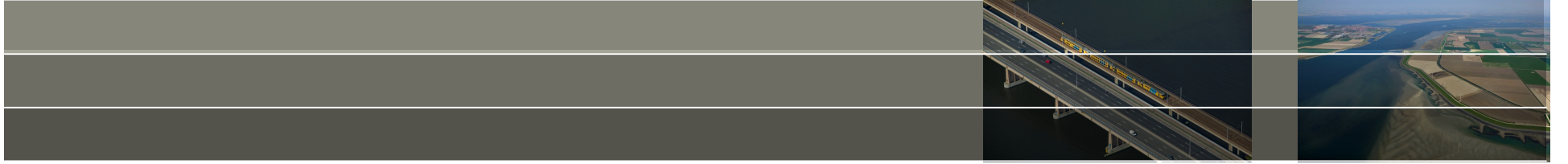
Definition of hydrogeological model of Zeeland				
Geology unit / Formation / Layer package	Hydrogeology unit	Appearance in Zeeland	South	North
Nesteldijk [Schermer]	NASD-1			
Nesteldijk [Zeeuwseplaat]	NAZD-a-1			
Nesteldijk [Zeeuwseplaat]	NAZD-a-2			
Nesteldijk [Zeeuwseplaat]	NAZD-a-3			
[Ondergrondse groeven]	AOG-1			
Nesteldijk [Watermeren]	NANW-1			
Nesteldijk [Watermeren]	NANW-2			
Nesteldijk [Watermeren]	NANW-3			
Nesteldijk [Watermeren]	NANW-4			
[Nieuwkoop]	NNW-1			
Nesteldijk [Schermer]	NASD-2			
Nesteldijk [Watermeren]	NANW-1			
Nesteldijk [Watermeren]	NANW-2			
Nesteldijk [Watermeren]	NANW-3			
[Noordwaard]	NNW-a-1			
Bosuil	BX-1			
Bosuil	BX-2			
Bosuil	BX-3			
Kroethoeve [Wijchen]	KRWY-1			
Bosuil [Renselster]	BERW-1			
Bosuil [Renselster]	BERW-2			
geconcentreerd Eem in Woudenberg	HW-1			
geconcentreerd Eem in Woudenberg	EE-1			
geconcentreerd Eem in Woudenberg	EE-2			
Kroethoeve [Zijlstra / Twello]	KRTW-1			
Drente [Uithuizer / Grootveld]	DRU-1			
Drente [Uithuizer / Grootveld]	DRU-2			
Groeneveense gentraeve afslaglagen	GTA-1			
Burum / Drachten	UR-1			
Burum / Drachten	UR-2			
Burum / Drachten	UR-3			
Burum / Drachten	UR-4			
Burum / Drachten	UR-5			
Burum / Drachten	UR-6			
Burum / Drachten	UR-7			
Palo	PE-1			
Palo	PE-2			
Palo	PE-3			
Vla [Vlaardingen]	VR-1			
Vla [Vlaardingen]	VR-2			
Vla [Vlaardingen]	VR-3			
Stanskai	STAK-1			
Appingedam	AP-1			
Appingedam	AP-2			
Appingedam	AP-3			
Appingedam	AP-4			
Appingedam	AP-5			
Appingedam	AP-6			
Appingedam	AP-7			
Appingedam	AP-8			
Appingedam	AP-9			
Appingedam	AP-10			
Appingedam	AP-11			
Appingedam	AP-12			
Appingedam	AP-13			
Appingedam	AP-14			
Appingedam	AP-15			
Appingedam	AP-16			
Appingedam	AP-17			
Appingedam	AP-18			
Appingedam	AP-19			
Appingedam	AP-20			
Appingedam	AP-21			
Appingedam	AP-22			
Appingedam	AP-23			
Appingedam	AP-24			
Appingedam	AP-25			
Appingedam	AP-26			
Appingedam	AP-27			
Appingedam	AP-28			
Kaesooister	KO-1			
Kaesooister	KO-2			
Kaesooister	KO-3			
Kaesooister	KO-4			
Kaesooister	KO-5			
Kaesooister	KO-6			
Kaesooister	KO-7			
Kaesooister	KO-8			
Kaesooister	KO-9			
Kaesooister	KO-10			
Kaesooister	KO-11			
Kaesooister	KO-12			
Kaesooister	KO-13			
Kaesooister	KO-14			
Dontinshout	DO-1			
Dontinshout	DO-2			
Dontinshout	DO-3			
Dontinshout	DO-4			
Dontinshout	DO-5			
Dontinshout	DO-6			
Dontinshout	DO-7			
Dontinshout	DO-8			
Dontinshout	DO-9			
Dontinshout	DO-10			
Breda	BR-1			
Breda	BR-2			
Rogel [Biesbosch]	RUB-1			
Tongers [Zeekanaal / Waterstaat]	TOZEW-1			
Oogen [Assche / IJperen]	DOAB-1			

Legend of hydrogeological units:

- dry complex unit
- sand unit
- no parameter unit

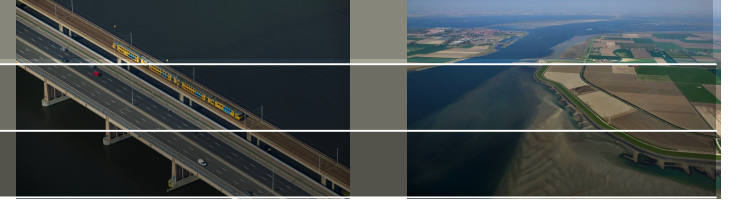
Legend of geological units:

- badly permeable layer 1
- badly permeable layer 2
- badly permeable layer 3a
- badly permeable layer 3b
- aquifer
- hydrogeological basis
- no parameter unit



Poreuze media

De Wet van Darcy



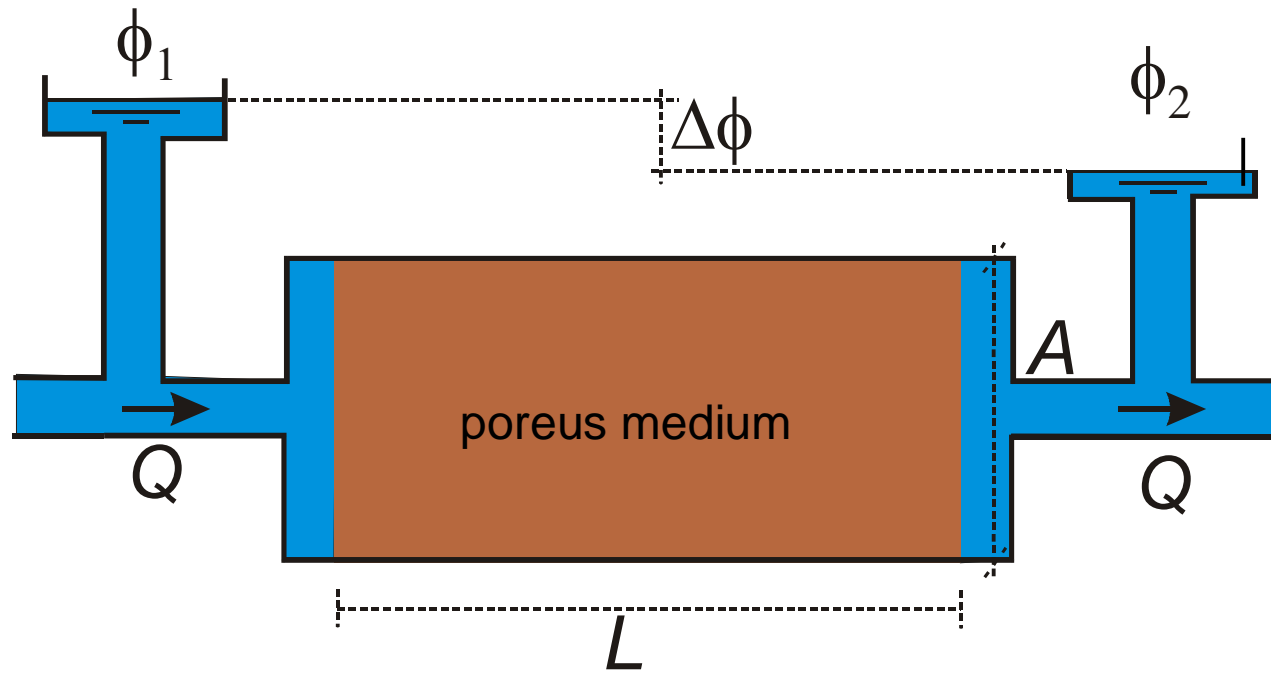
De beweging van water door een poreus medium is
grondwaterstroming

Het kan worden beschreven door de bewegingsvergelijking:

De Wet Van Darcy

I. Wet van Darcy (1856)

$$\text{Re} = \frac{\rho g R}{\mu} < 1 - 10$$



$$Q \propto \phi_1 - \phi_2 \quad Q \propto \frac{1}{L} \quad Q \propto A \quad \text{geeft} \quad Q \propto A \frac{\phi_1 - \phi_2}{L}$$

$$Q = KA \frac{\phi_1 - \phi_2}{L} \quad \text{waarin } K = \text{doorlatendheid } [L/T]$$

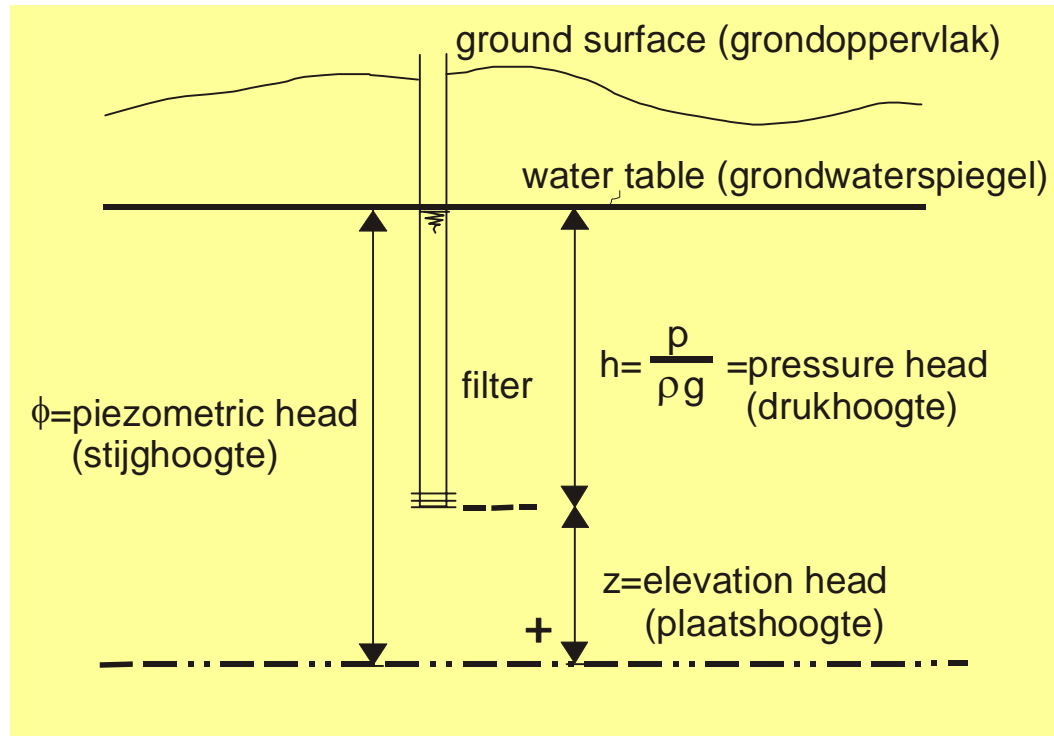
III. Wet van Darcy



In drukken:

$$q_x = -\frac{\kappa_x}{\mu} \frac{\partial p}{\partial x} \quad q_y = -\frac{\kappa_y}{\mu} \frac{\partial p}{\partial y} \quad q_z = -\frac{\kappa_z}{\mu} \left(\frac{\partial p}{\partial z} + \rho g \right)$$

Definitie stijghoogte: $\phi = \frac{p}{\rho g} + z \Leftrightarrow p = \rho g(\phi - z)$



p =druk [M/LT^2]

κ =intrinsieke permeabiliteit [L^2]

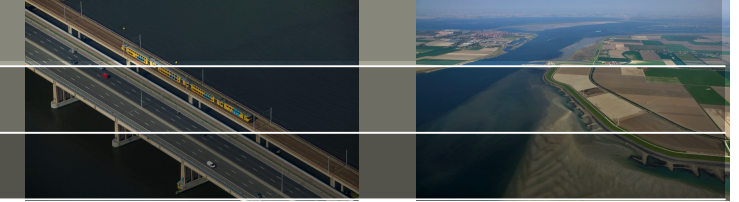
μ =dynamische viscositeit [M/LT]

ρ =dichtheid [M/L^3]

g =versnelling [L/T^2]

k =hydraulische conductiviteit [L/T]

III. Wet van Darcy

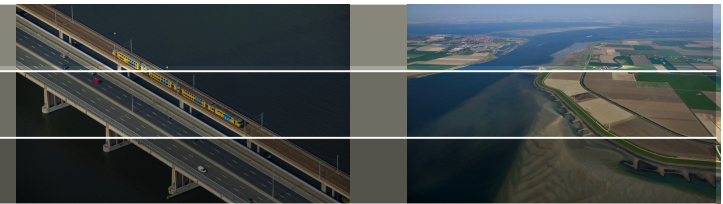


geeft $q_x = -\frac{\kappa_x \rho g}{\mu} \frac{\partial \phi}{\partial x}$ $q_y = -\frac{\kappa_y \rho g}{\mu} \frac{\partial \phi}{\partial y}$ $q_z = -\frac{\kappa_z \rho g}{\mu} \frac{\partial \phi}{\partial z}$

als $\frac{\kappa_i \rho g}{\mu} = k_i$ dan:

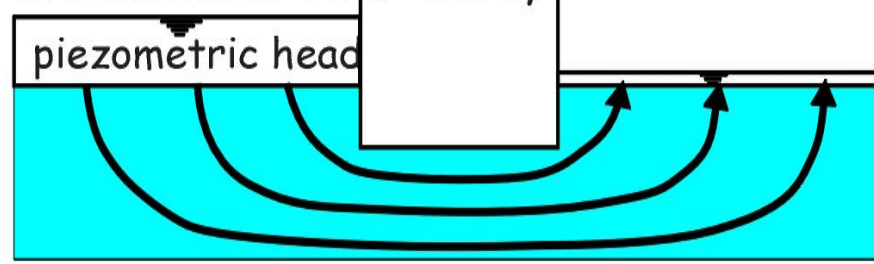
geeft $q_x = -k_x \frac{\partial \phi}{\partial x}$ $q_y = -k_y \frac{\partial \phi}{\partial y}$ $q_z = -k_z \frac{\partial \phi}{\partial z}$

Analogy physical processes

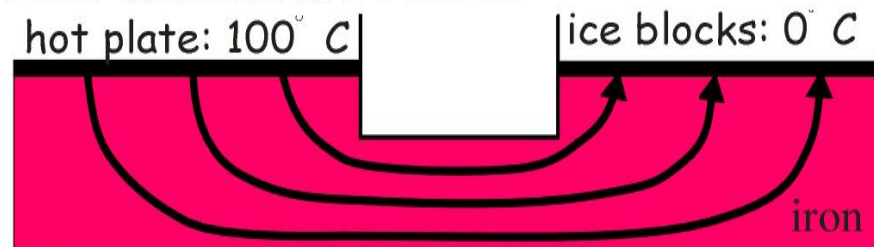


Heat transport (analogy with solute transport)

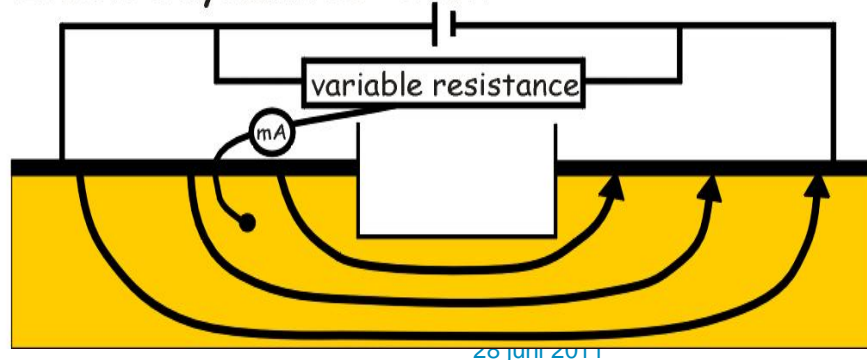
Groundwater flow: Darcy



Heat conduction: Fourier



Electrodynamics: Ohm



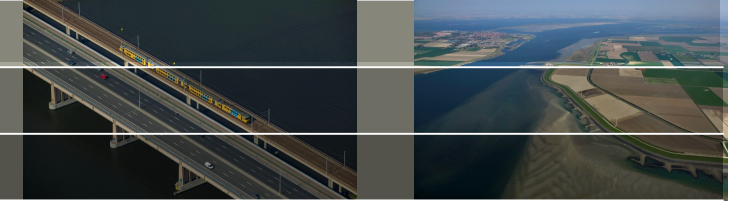
$$q = -k \frac{\partial \phi}{\partial x}$$

$$h = -\lambda \frac{\partial T}{\partial x}$$

$$i = -\sigma \frac{\partial V}{\partial x}$$

Deltares

Darcy's law



|

Darcy's law is only valid in the case of laminar flow: viz. at relatively low velocities when water particles move more or less parallel to each other.

In other words, Darcy's law is valid as long as the so-called Reynolds number Re (-) does not exceed some value between 1 and 10:

$$Re = \rho q R / \mu < 1 - 10$$

where R = hydraulic radius of the pore

Permeability and hydraulic conductivity



The intrinsic permeability κ largely depends on the size of the pores through the effective porosity n_e .

A commonly-used equation is that of Kozeny-Carmen to clearly demonstrate the relation between κ and n_e :

$$\text{Kozeny-Carmen: } \kappa = c d^2 n_e^3 / (1 - n_e)^2 \quad [m^2]$$

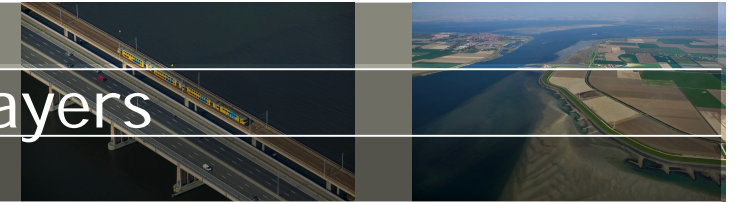
where c =coefficient depending on pore structure [-]
 d =main grain size [L]

Permeability and hydraulic conductivity



Soil	k (m/s)	κ (m²)
Unconsolidated deposits		
Clay	$<10^{-9}$	$<10^{-17}$
Sandy clay	$10^{-9}-10^{-8}$	$10^{-16}-10^{-15}$
Silt	$10^{-8}-10^{-7}$	$10^{-15}-10^{-14}$
Peat	$10^{-9}-10^{-7}$	$10^{-16}-10^{-14}$
Very fine sand	$10^{-6}-10^{-5}$	$10^{-13}-10^{-12}$
Fine sand	$10^{-5}-10^{-4}$	$10^{-12}-10^{-11}$
Coarse sand	$10^{-4}-10^{-3}$	$10^{-11}-10^{-10}$
Sand with gravel	$10^{-3}-10^{-2}$	$10^{-10}-10^{-9}$
Gravel	$>10^{-2}$	$>10^{-9}$
Rocks		
Unfractured rocks	$<10^{-9}$	$<10^{-17}$
Sandstone	$10^{-10}-10^{-6}$	$10^{-17}-10^{-13}$
Limestone & dolomite	$10^{-9}-10^{-6}$	$10^{-16}-10^{-13}$
Fractured rocks	$10^{-8}-10^{-4}$	$10^{-15}-10^{-11}$
Permeable basalt	$10^{-7}-10^{-2}$	$10^{-14}-10^{-9}$
Karst limestone	$10^{-6}-10^{-2}$	$10^{-13}-10^{-9}$

Hydraulic conductivity of more layers



Horizontal hydraulic conductivity

$$k_h = \sum k_i \left(\frac{b_i}{b_t} \right)$$



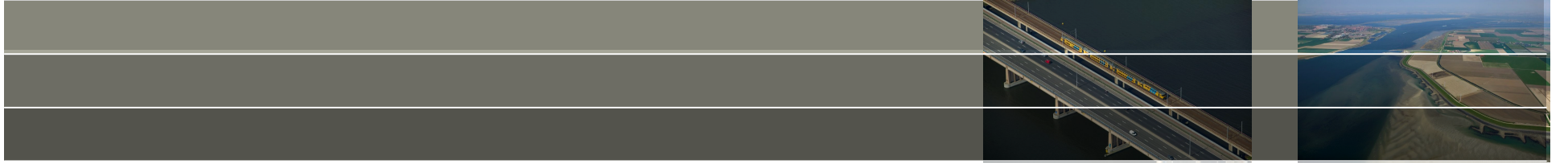
Arithmic mean (parallel)

Vertical hydraulic conductivity

$$k_h = \frac{b_t}{\sum \left(\frac{b_i}{k_i} \right)}$$

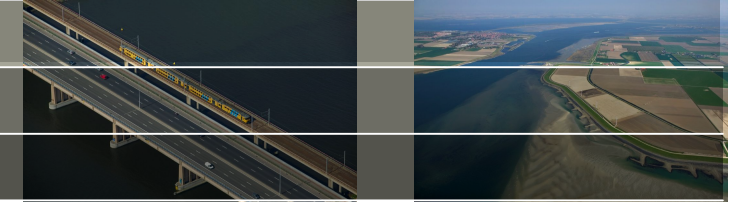


Harmonic mean (serial)



Stoftransport

Solute transport equation



Partial differential equation (PDE):

$$R_d \frac{\partial C}{\partial t} = \frac{\partial}{\partial x_i} \left(D_{ij} \frac{\partial C}{\partial x_j} \right) - \frac{\partial}{\partial x_i} (C V_i) + \frac{(C - C') W}{n_e} - R_d \lambda C$$

change dispersion advection source/sink decay
in concentration diffusion

D_{ij} =hydrodynamic dispersion [$L^2 T^{-1}$]

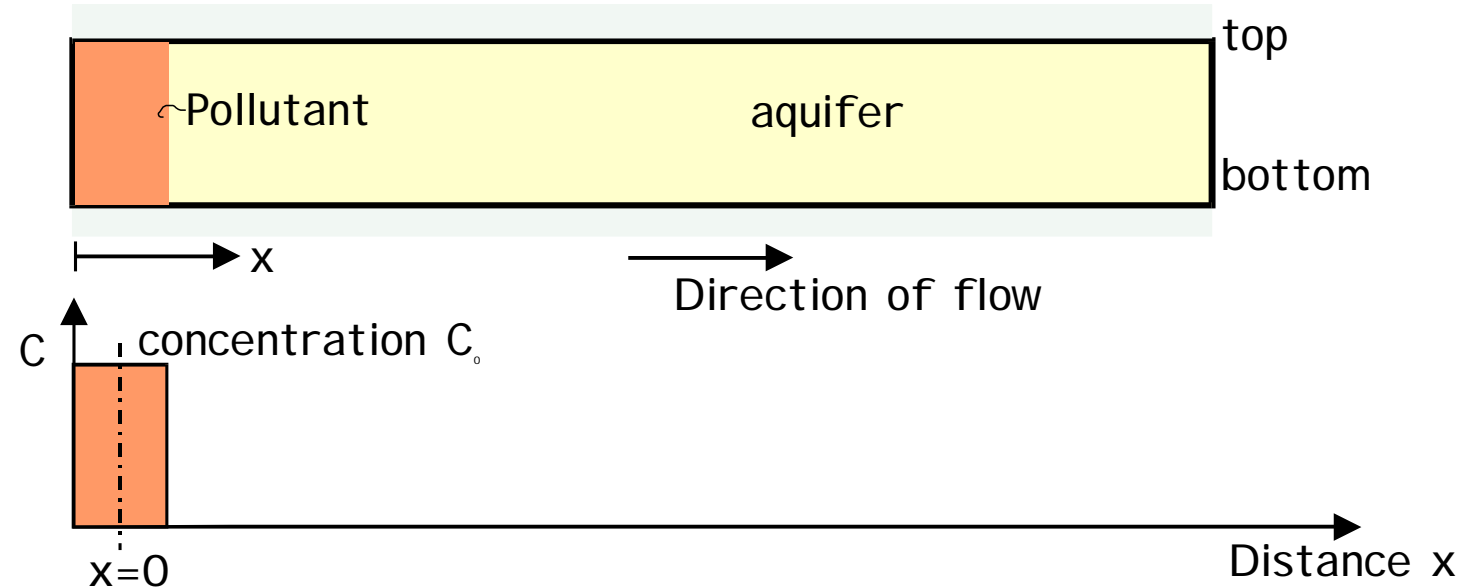
R_d =retardation factor [-]

λ =decay-term [T^{-1}]

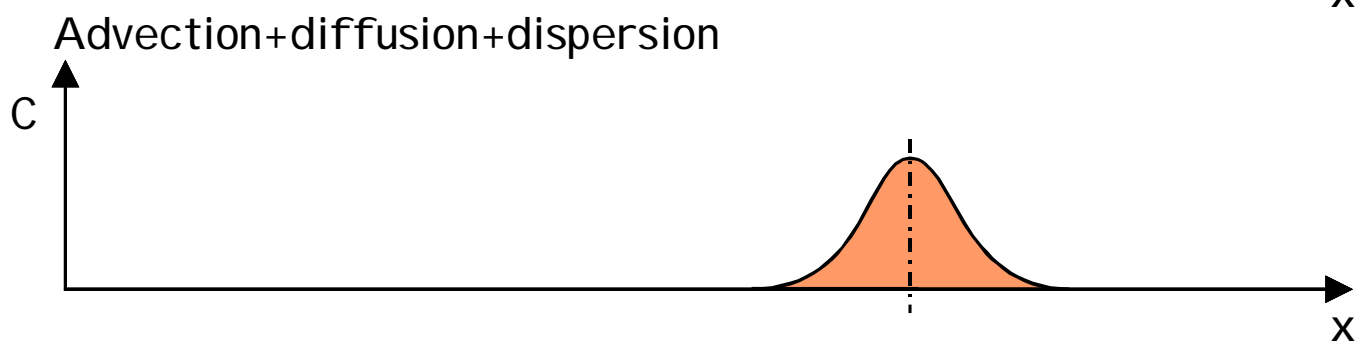
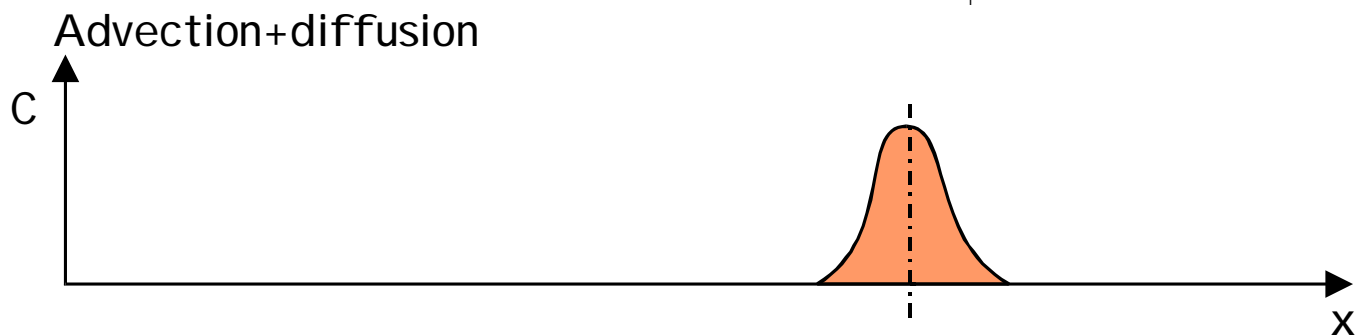
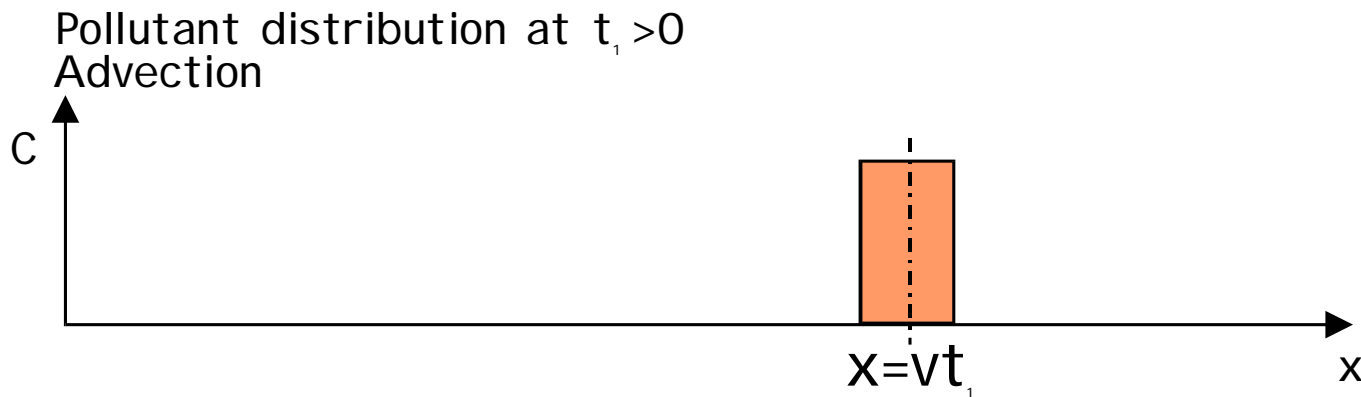
Solute transport equation: column test (I):

MOC3D

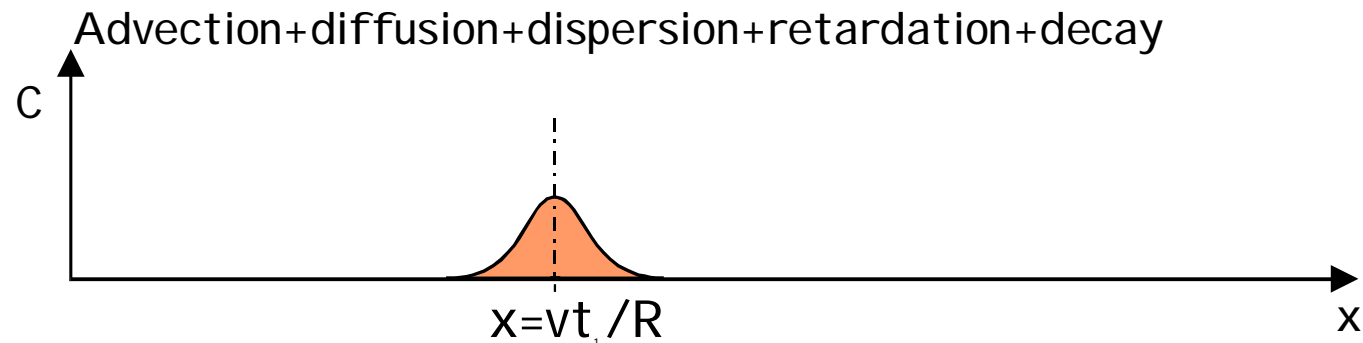
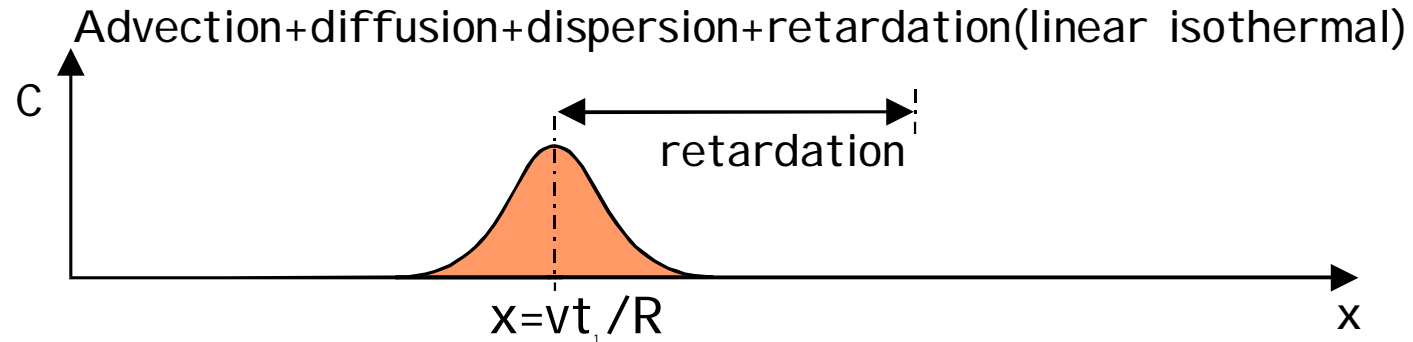
Pollutant distribution at $t=0$



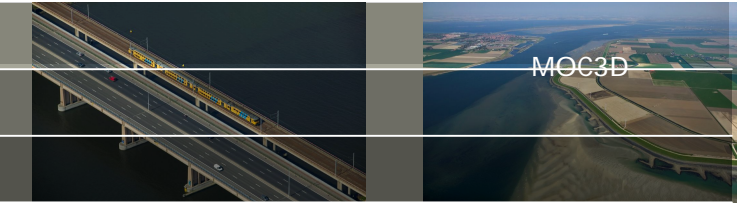
Solute transport equation: column test (II):



Solute transport equation: column test (III):



Hydrodynamic dispersion



hydrodynamic dispersion

=

mechanical dispersion+ diffusion

mechamical dispersion:

tensor (2D, 3D)

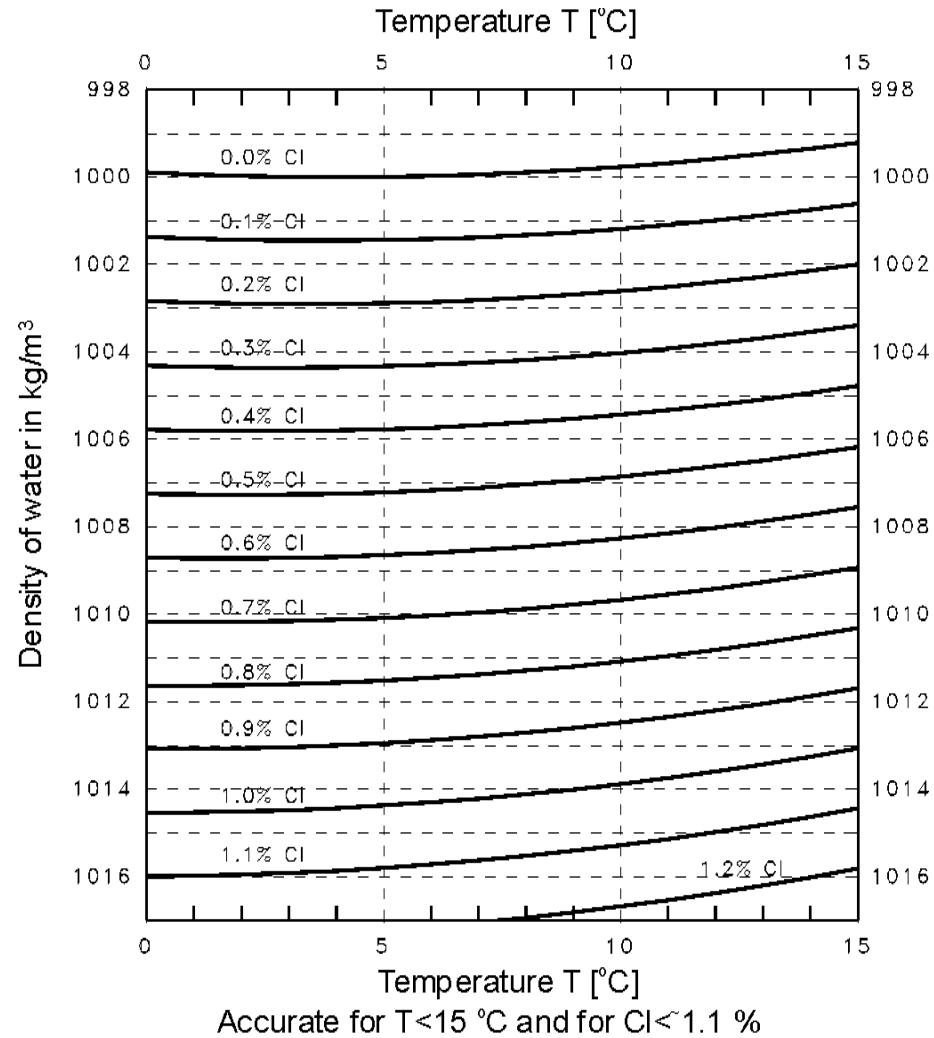
snelheidsafhankelijk

diffusion:

moleculair proces

stoffen verspreiden door concentratieverschillen

Density depends on salinity and temperature



$$\rho_{(S,T)} = 1000 + 0.8054S - 0.0065(T - 4 + 0.2214S)^2$$

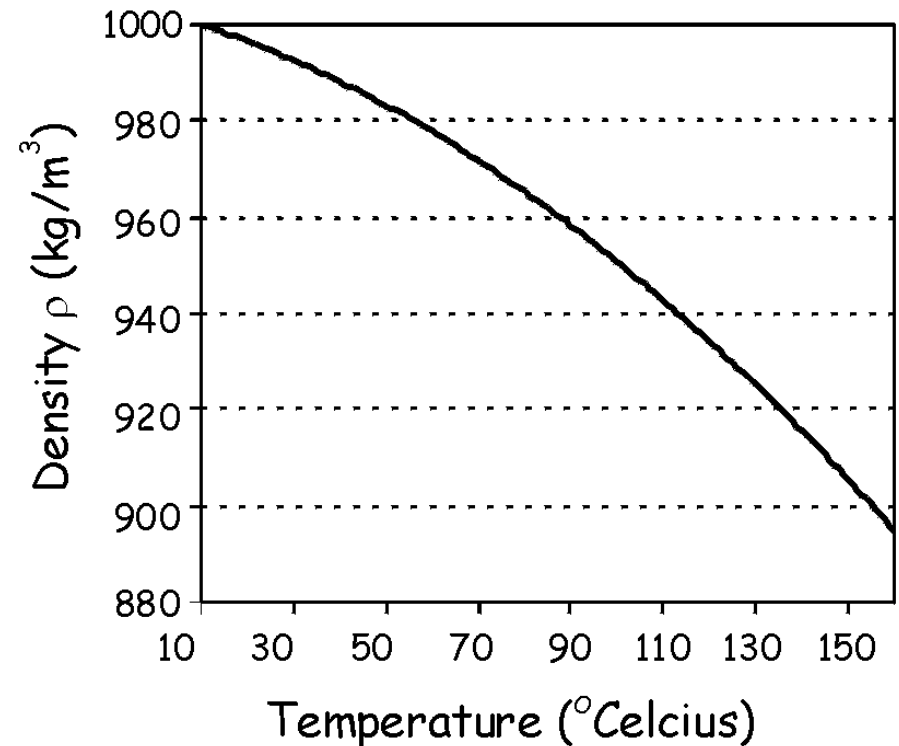
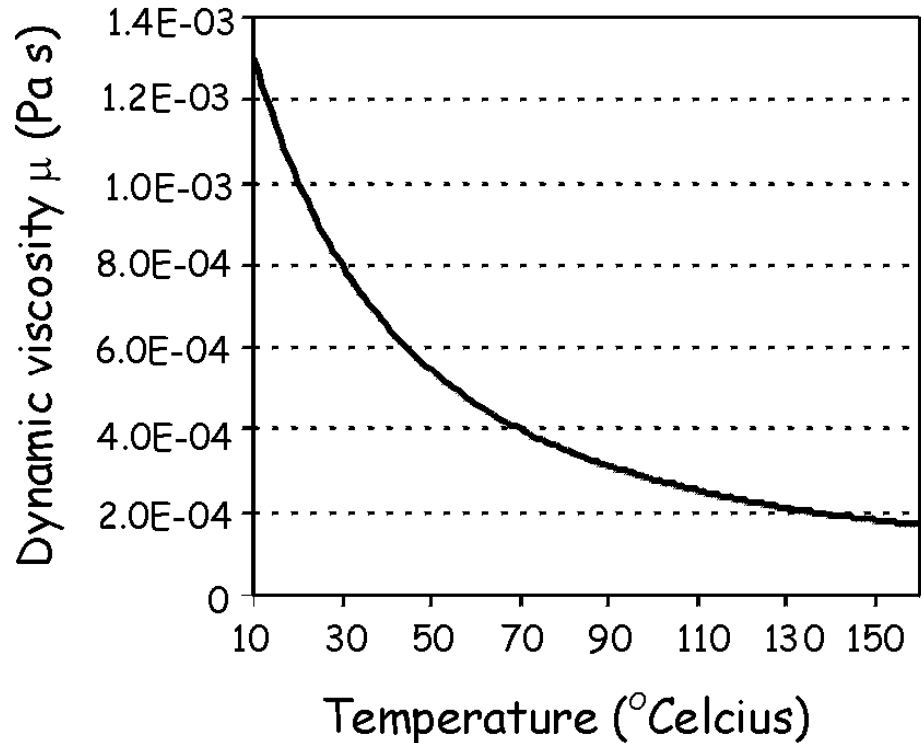
Knudsen (1902)

Delt

Density and viscosity depend on temperature



(10°C-160 °C)



Introductie grondwater in het kustgebied



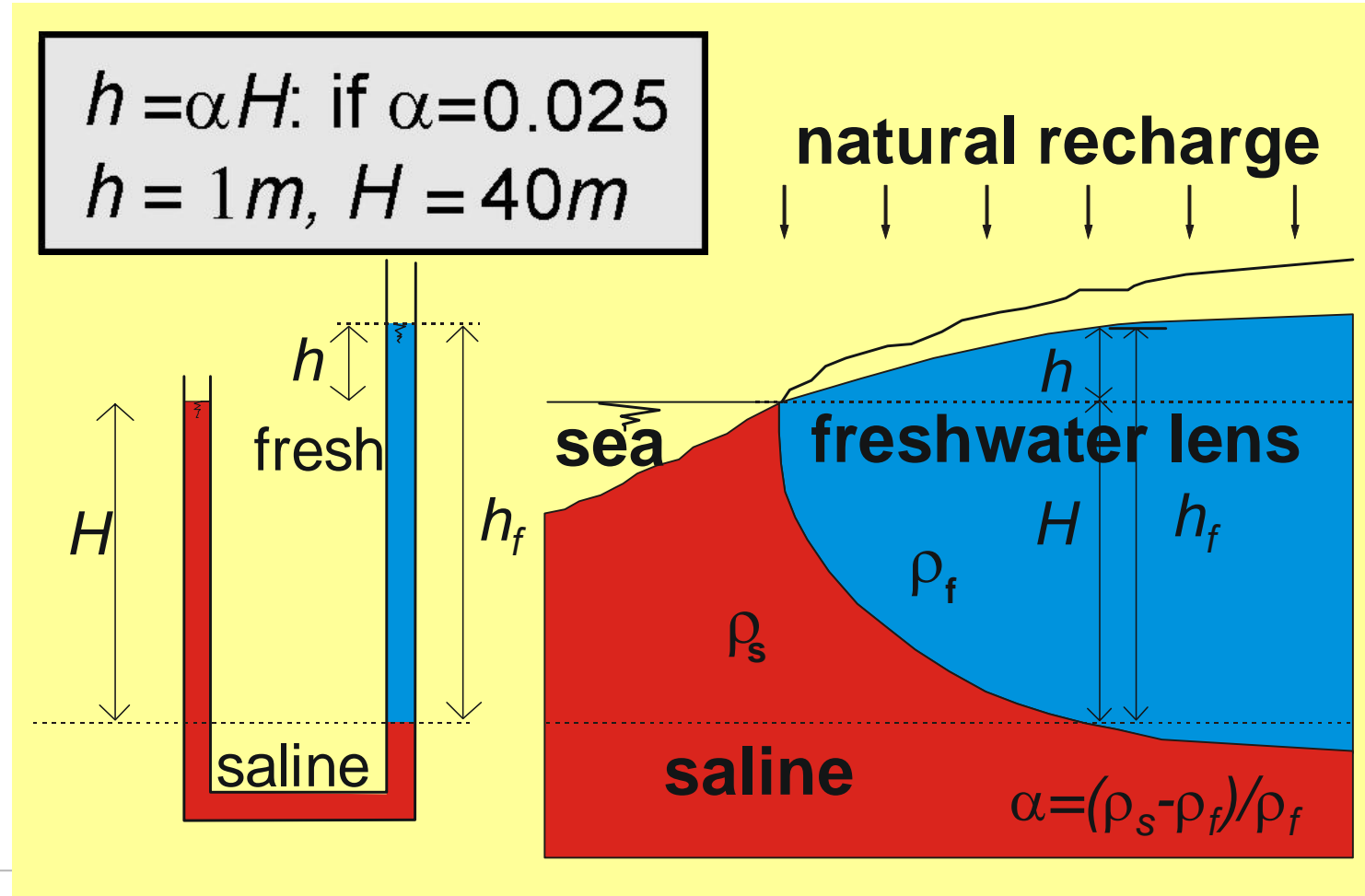
Concepten van zoutwater intrusie

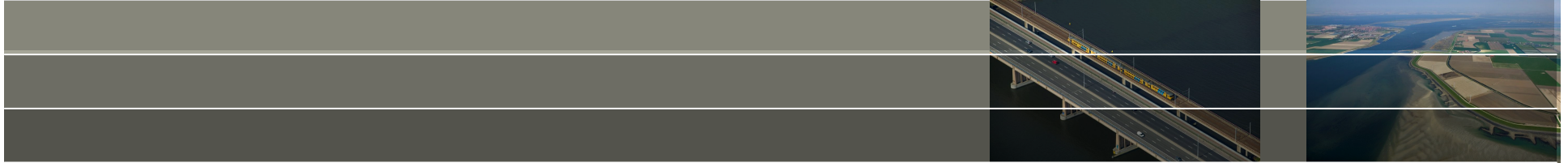
Badon Ghyben-Herzberg principe



Principe veronderstelt scherp grensvlak tussen zoet en zout地下水

Analogie: ijsberg & zoute oceaan en granaat tectonische plaat en basalt base





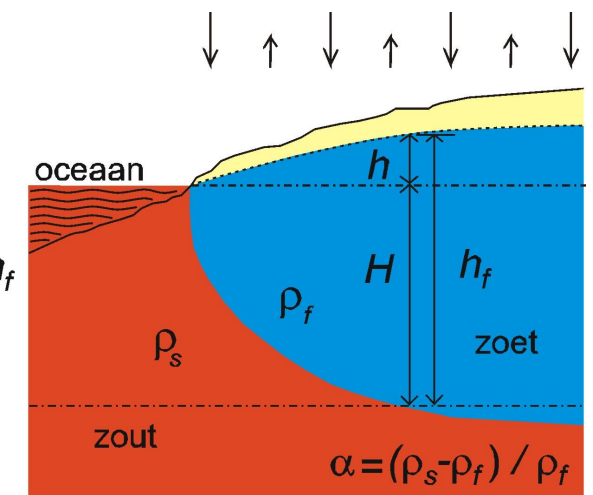
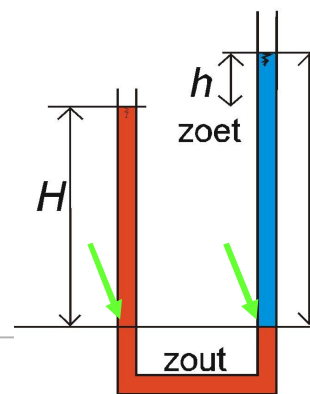
druk zout grondwater = druk zoet grondwater

$$\rho_s H g = \rho_f (H + h) g$$

$$h = \frac{\rho_s - \rho_f}{\rho_f} H$$

$$h = \alpha H$$

28 juni 2011



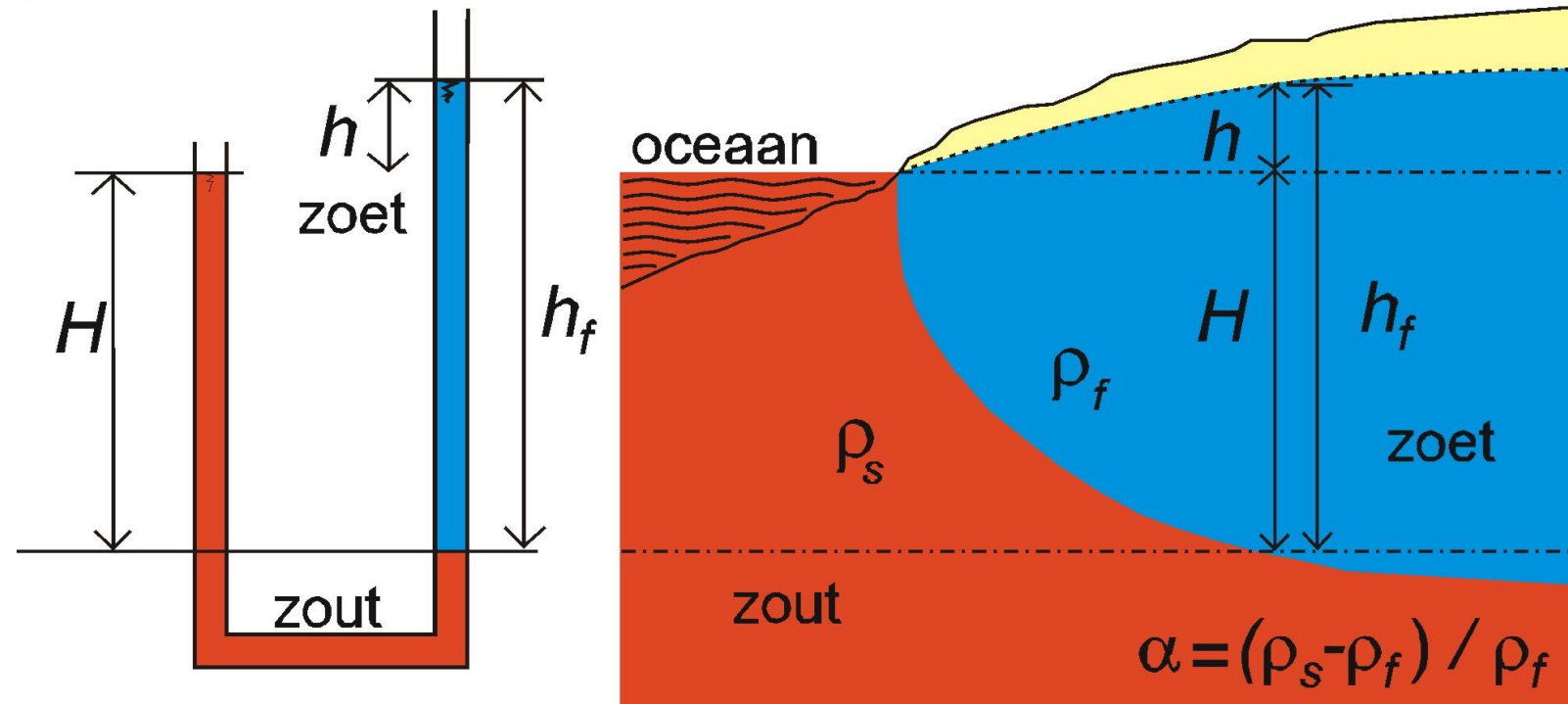
$$\alpha = (\rho_s - \rho_f) / \rho_f$$



$$h = \alpha H$$

in ocean water $\alpha = 0.025$

$$h = 1 \text{ m}, H = 40 \text{ m}$$

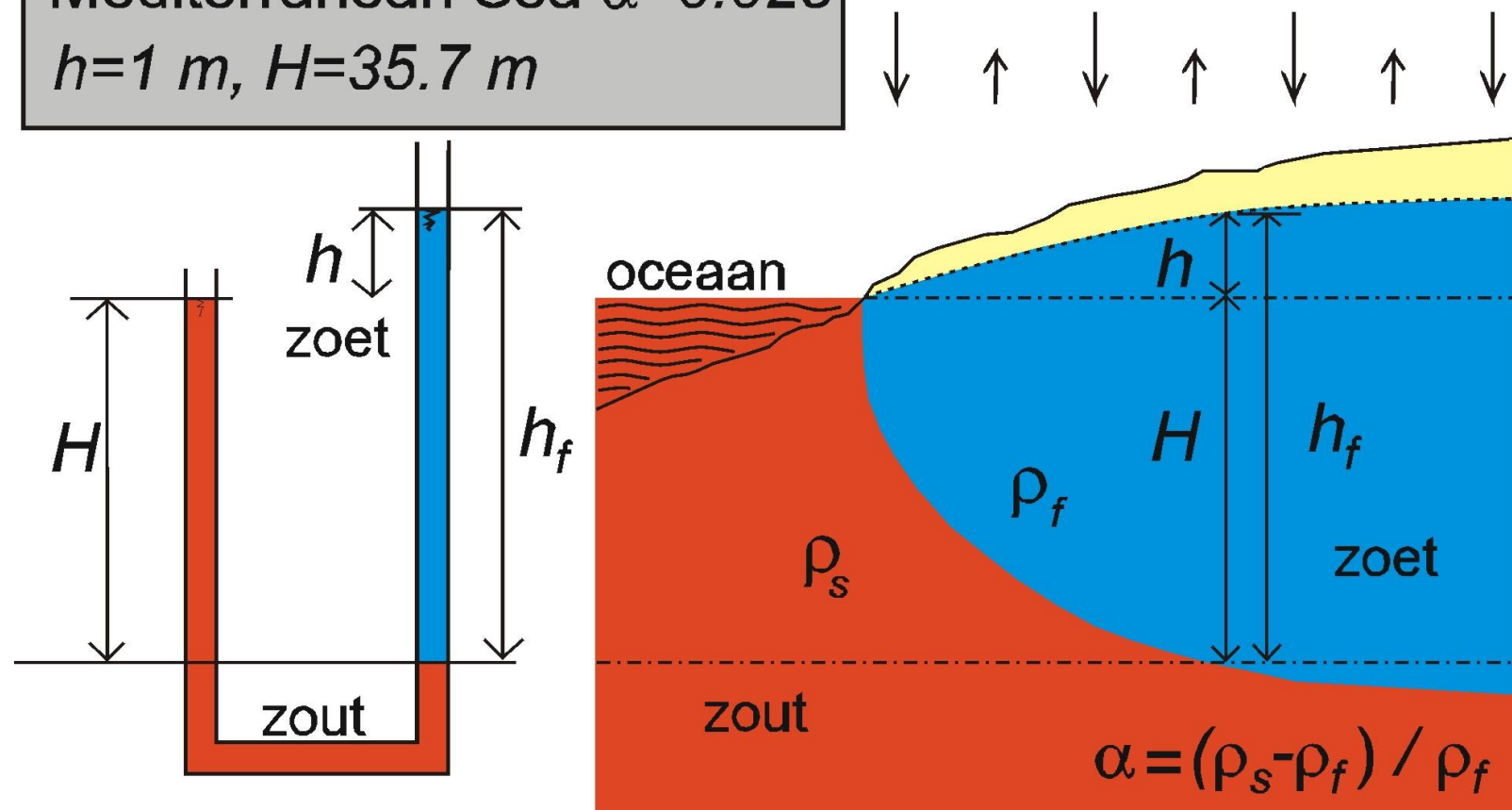




$$h = \alpha H$$

Mediterranean Sea $\alpha = 0.028$

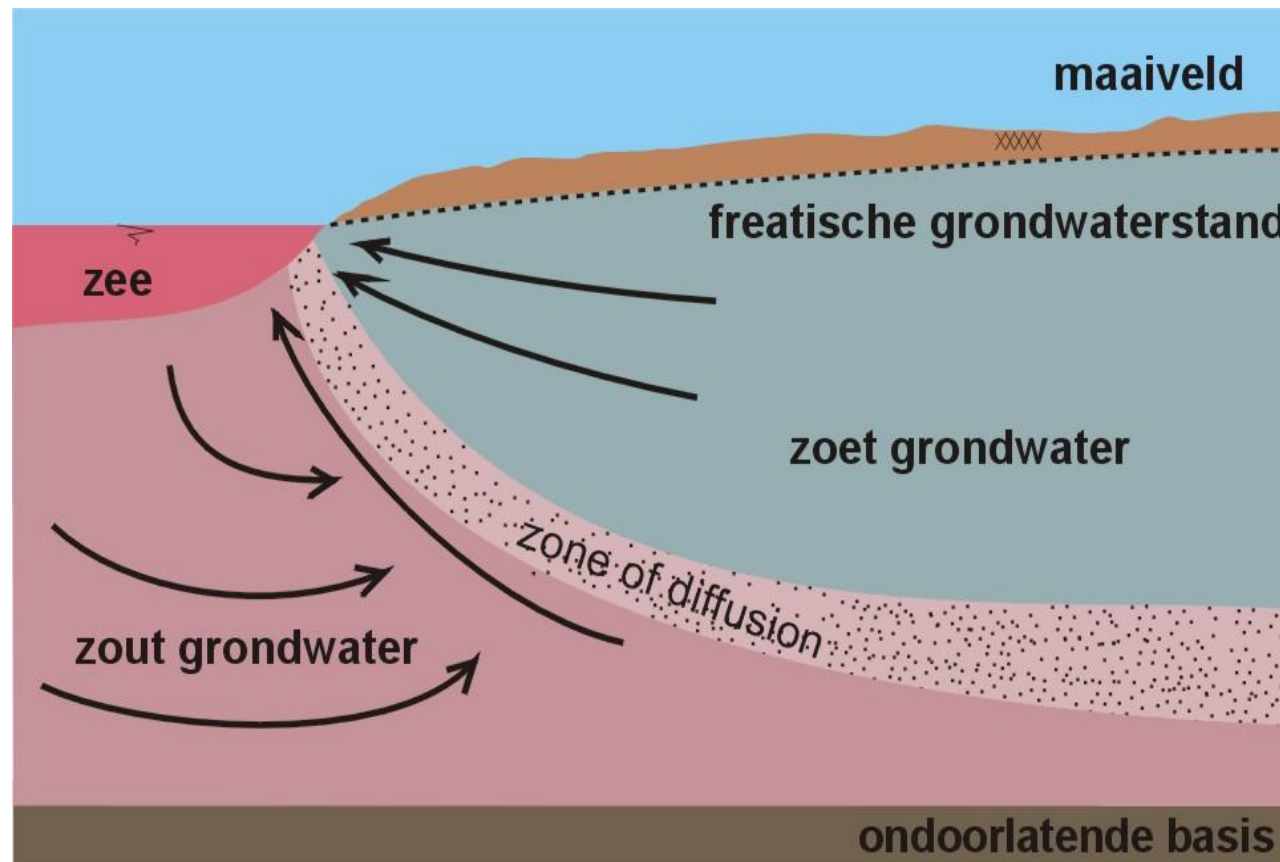
$$h = 1 \text{ m}, H = 35.7 \text{ m}$$



Klassieke definitie zoutwaterintrusie



Horizontale instroming van zout grondwater in een watervoerend pakket dat zoet grondwater bevat

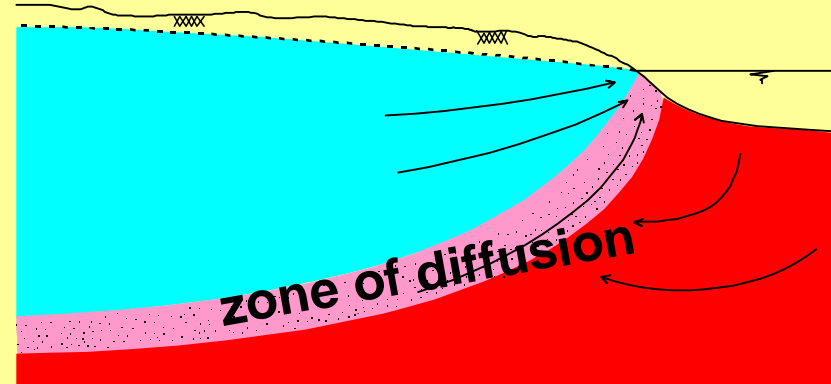


Badon Ghyben-Herzberg principle (I)

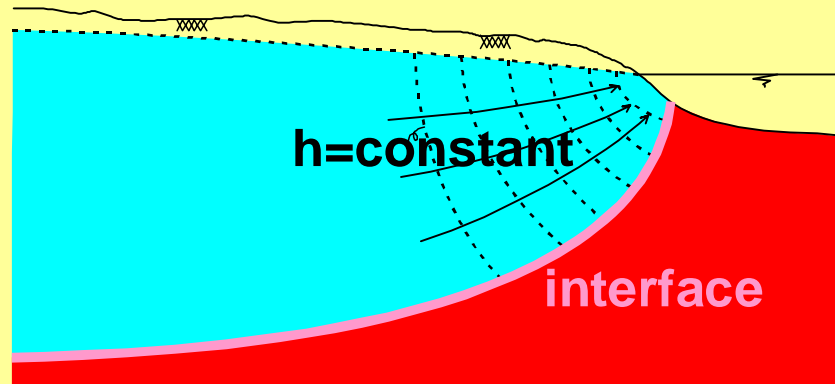


Difference between reality and Badon Ghyben-Herzberg approximation

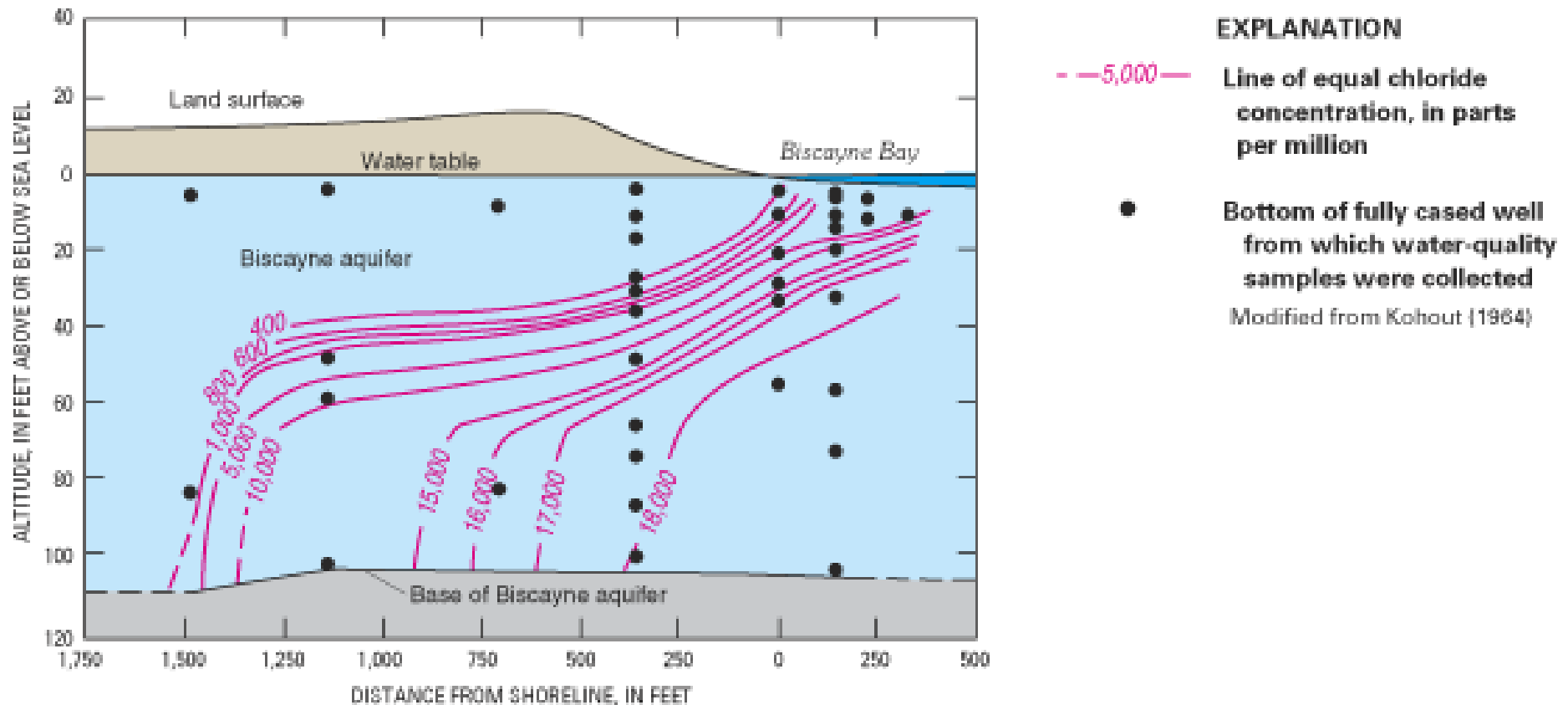
concept: mixing zone in reality



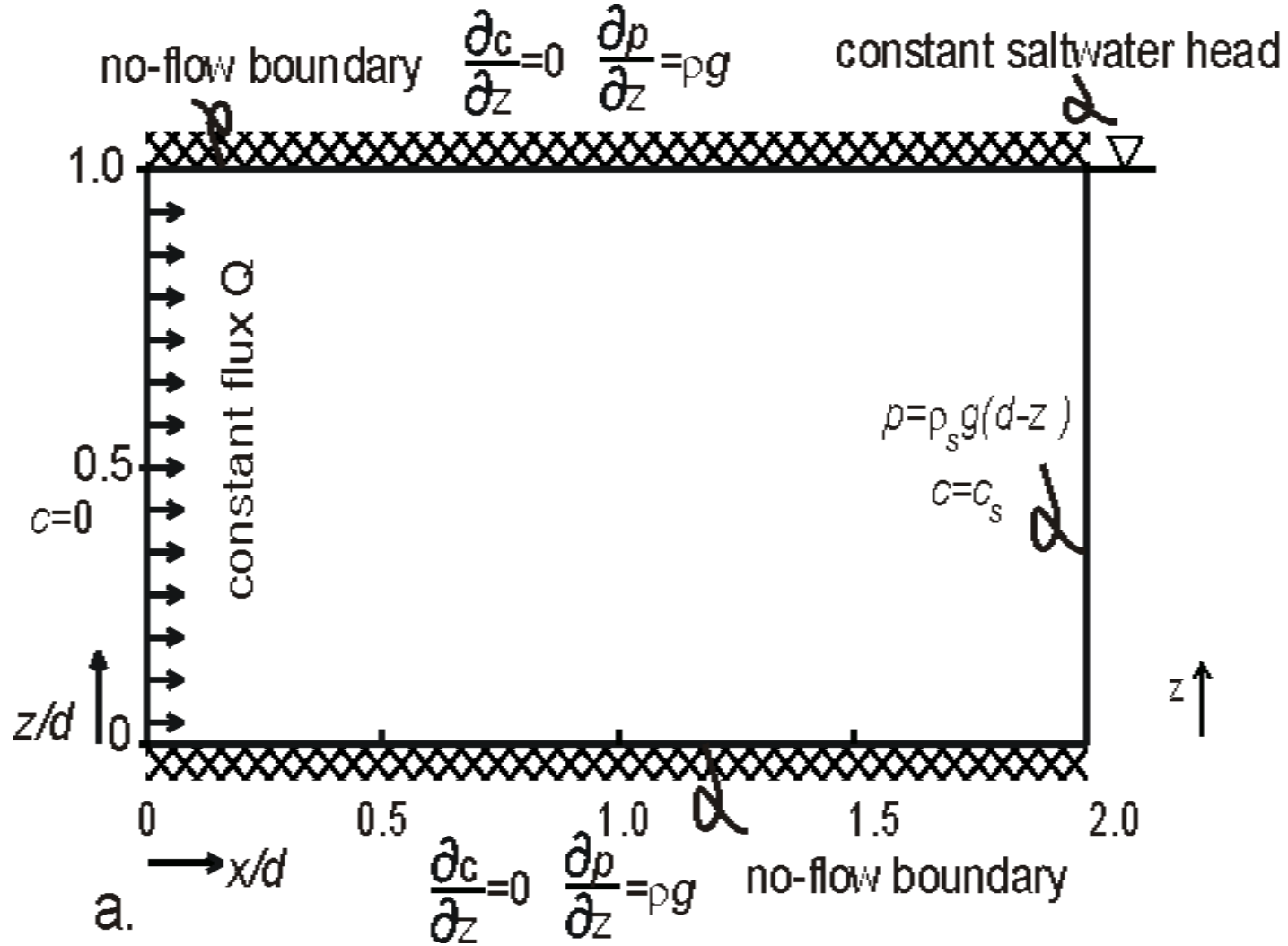
concept: interface between fresh and saline groundwater



Biscayne aquifer, Florida: Henry's case



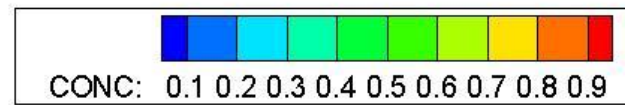
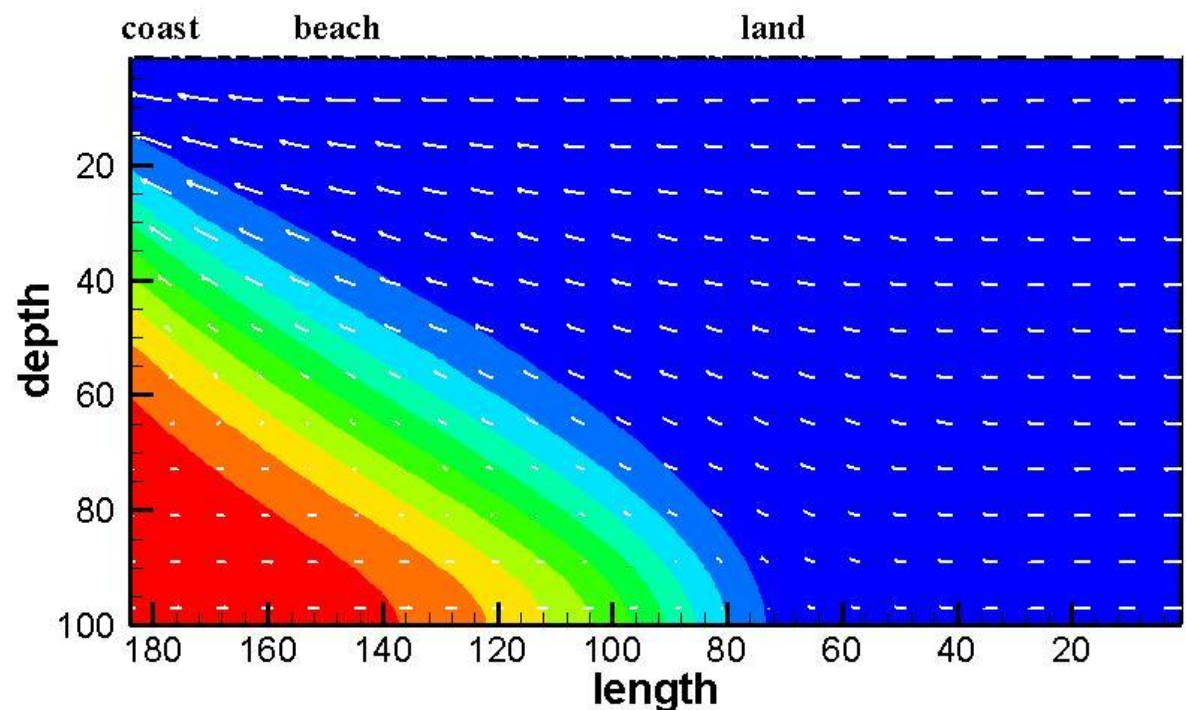
Henry's problem (1964)



Definitie zoutwaterintrusie



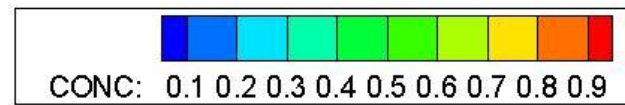
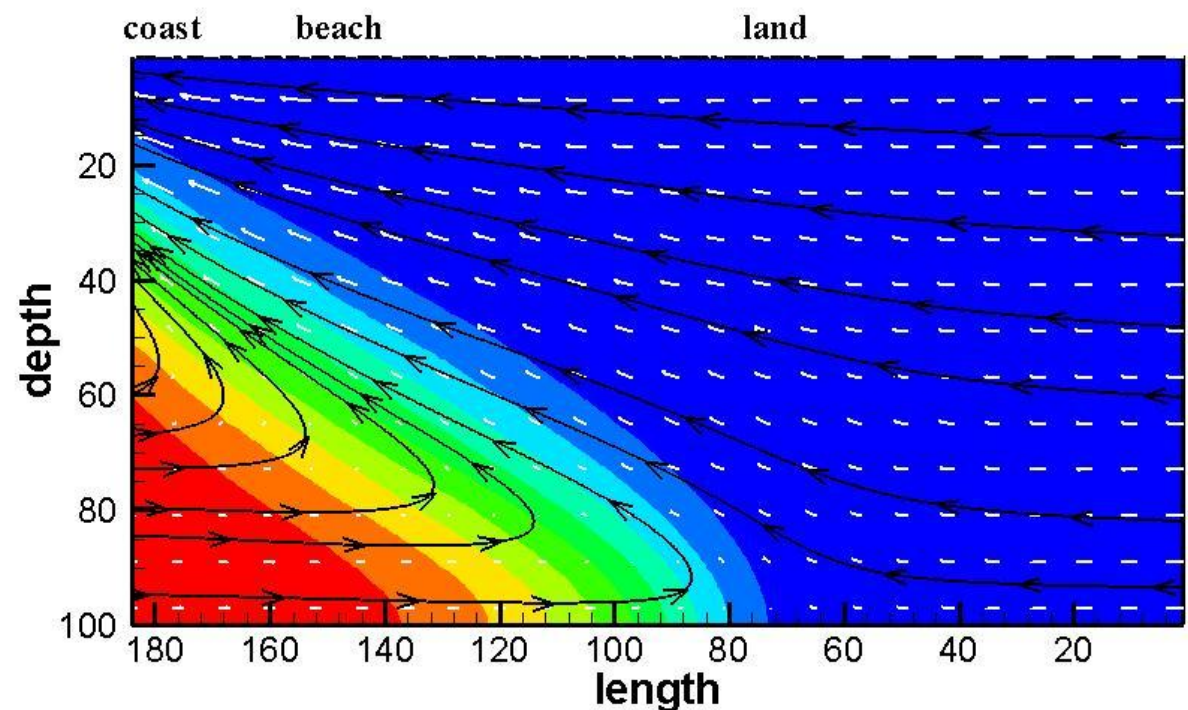
Numerical model: Henry's case



Definitie zoutwaterintrusie



Numerical model: Henry's case



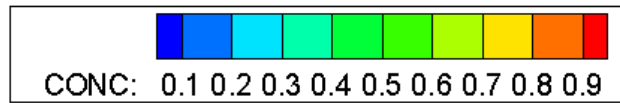
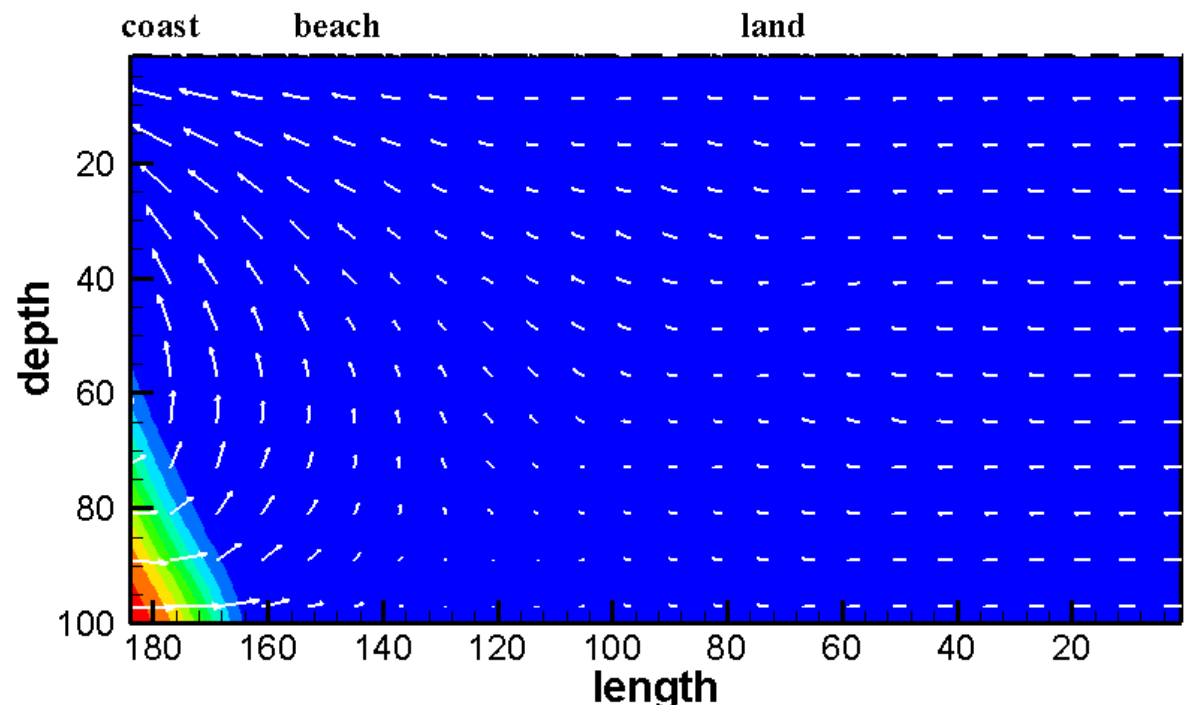
20 juni 2011

Deltares

Zeespiegelstijging en zoutwaterintrusie



Effect sea level rise on groundwater system in coastal zone



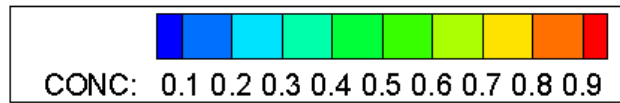
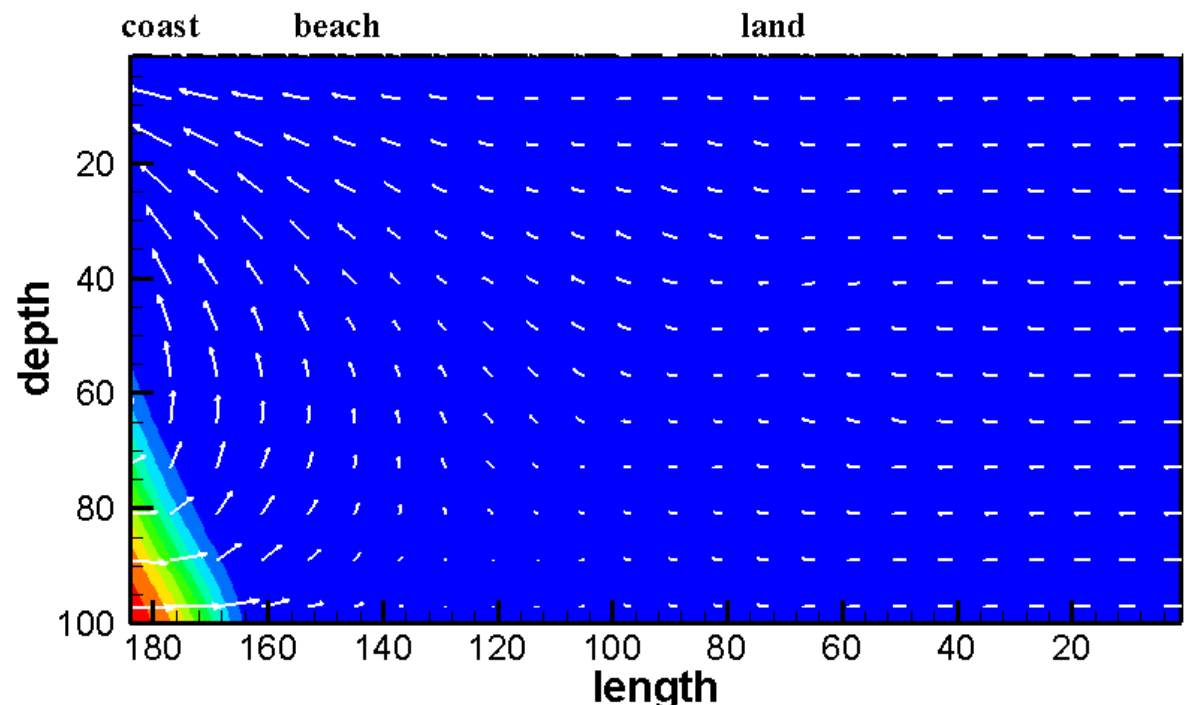
20 juni 2011

Deltares

Zeespiegelstijging en zoutwaterintrusie



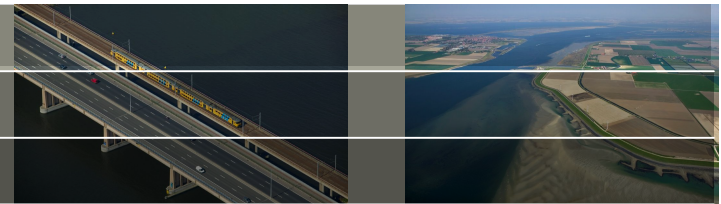
Effect sea level rise on groundwater system in coastal zone



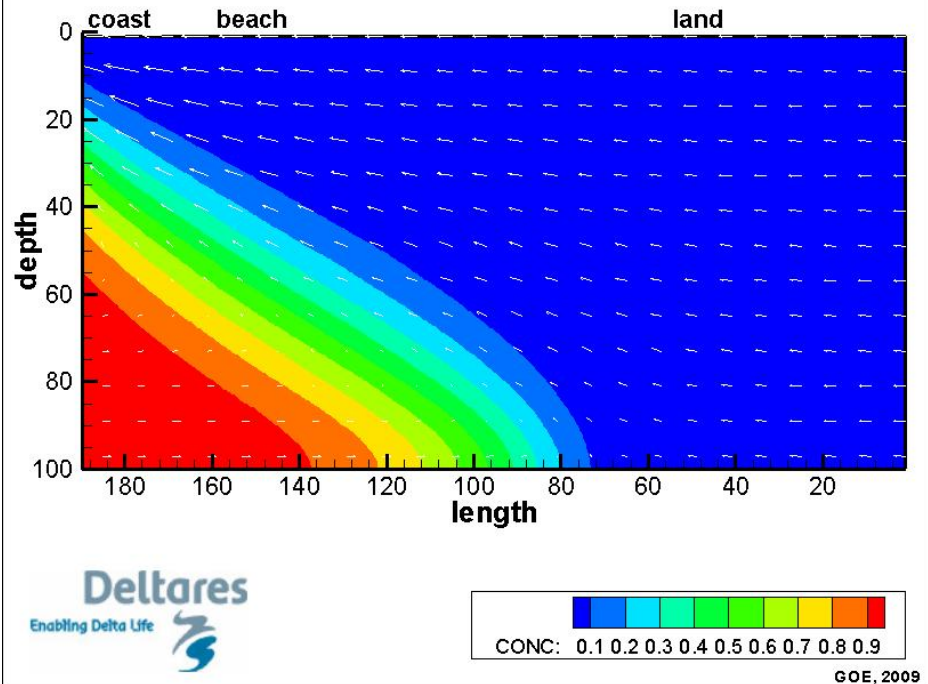
20 juni 2011

Deltares

Sea level rise and salt water intrusion

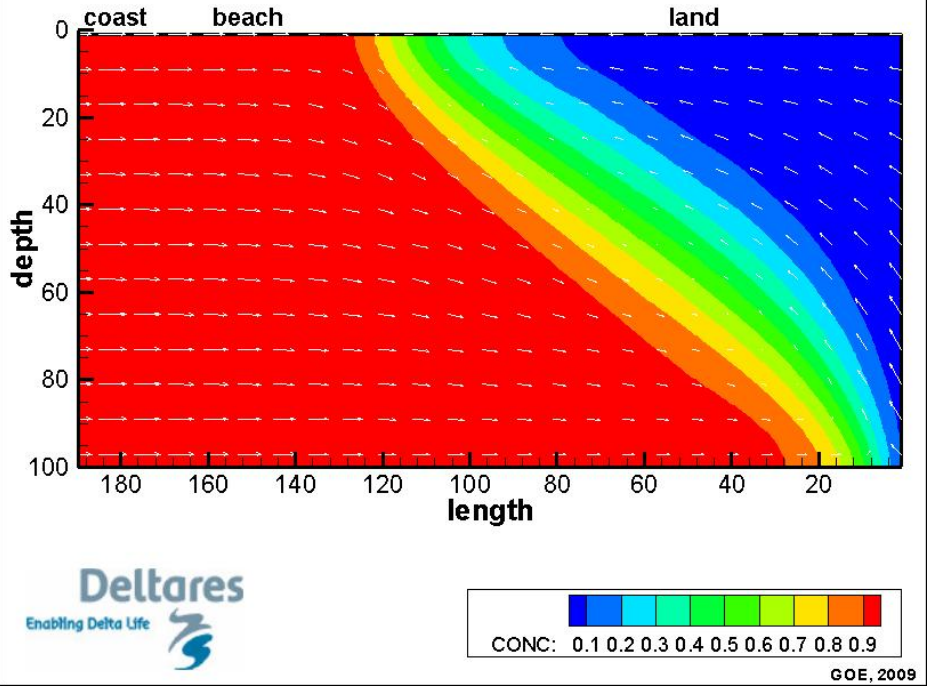


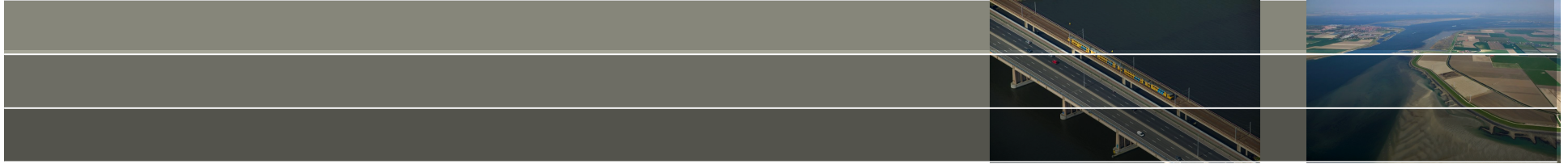
Impact of sea level rise on a coastal groundwater system: a conceptual model of saltwater intrusion



28 juni 2011

Impact of sea level rise on a coastal groundwater system: a conceptual model of saltwater intrusion





Klimaatverandering en zeespiegelstijging

Ons toekomstige grondwatersysteem

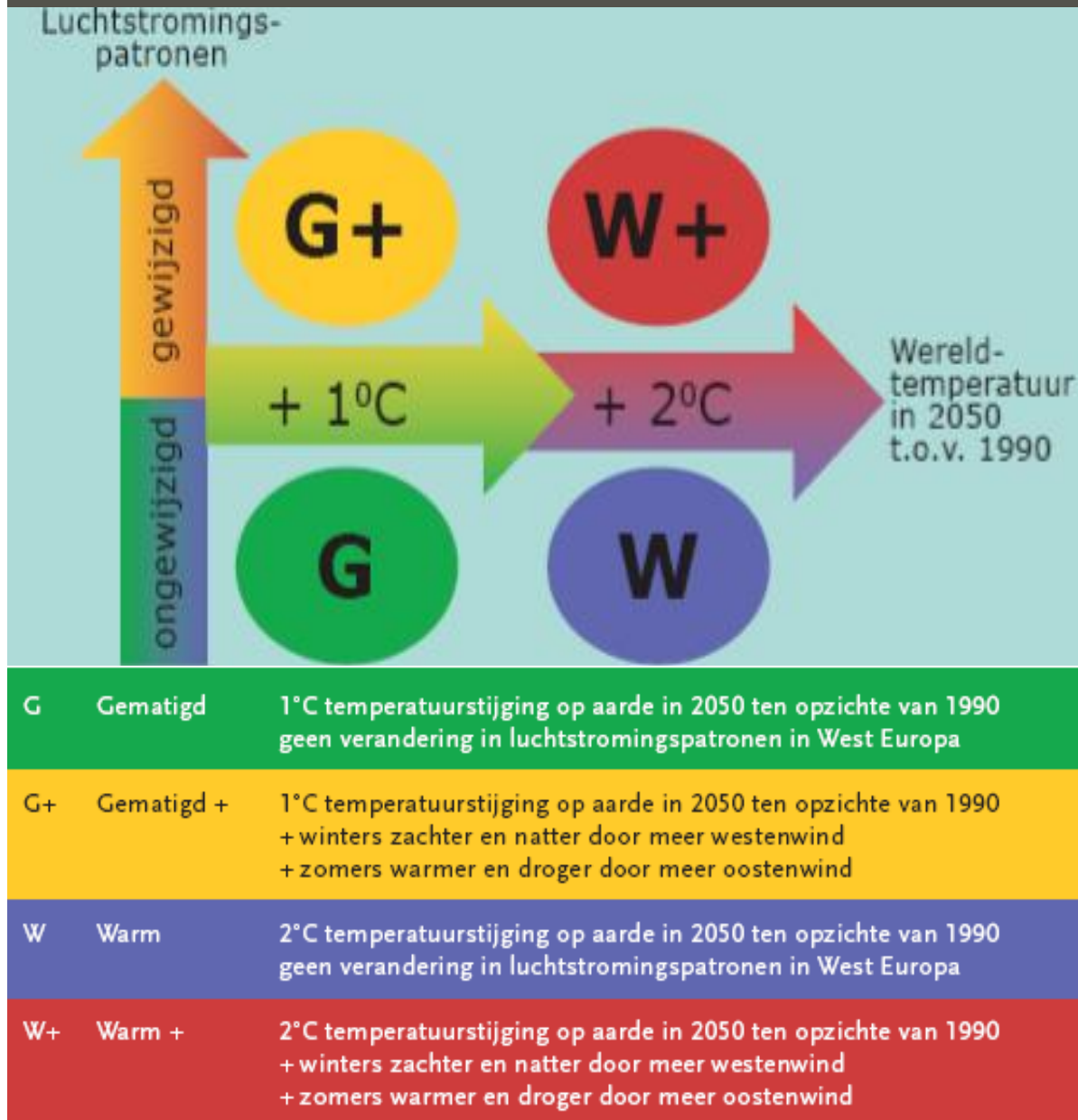
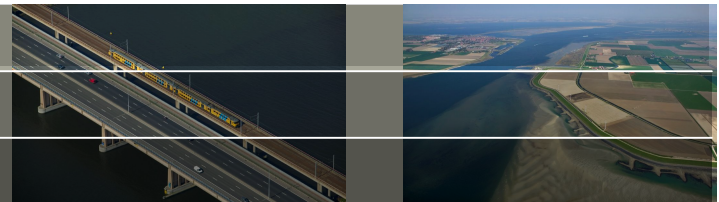


Wat komt er allemaal op ons af?

- Klimaatverandering
- Grondwaterwinning
- Ontwikkeling energiegebruik/productie
- Bodemdaling
- Ontwikkeling ruimtegebruik
- Politiek, Beleid & Waterbeheer

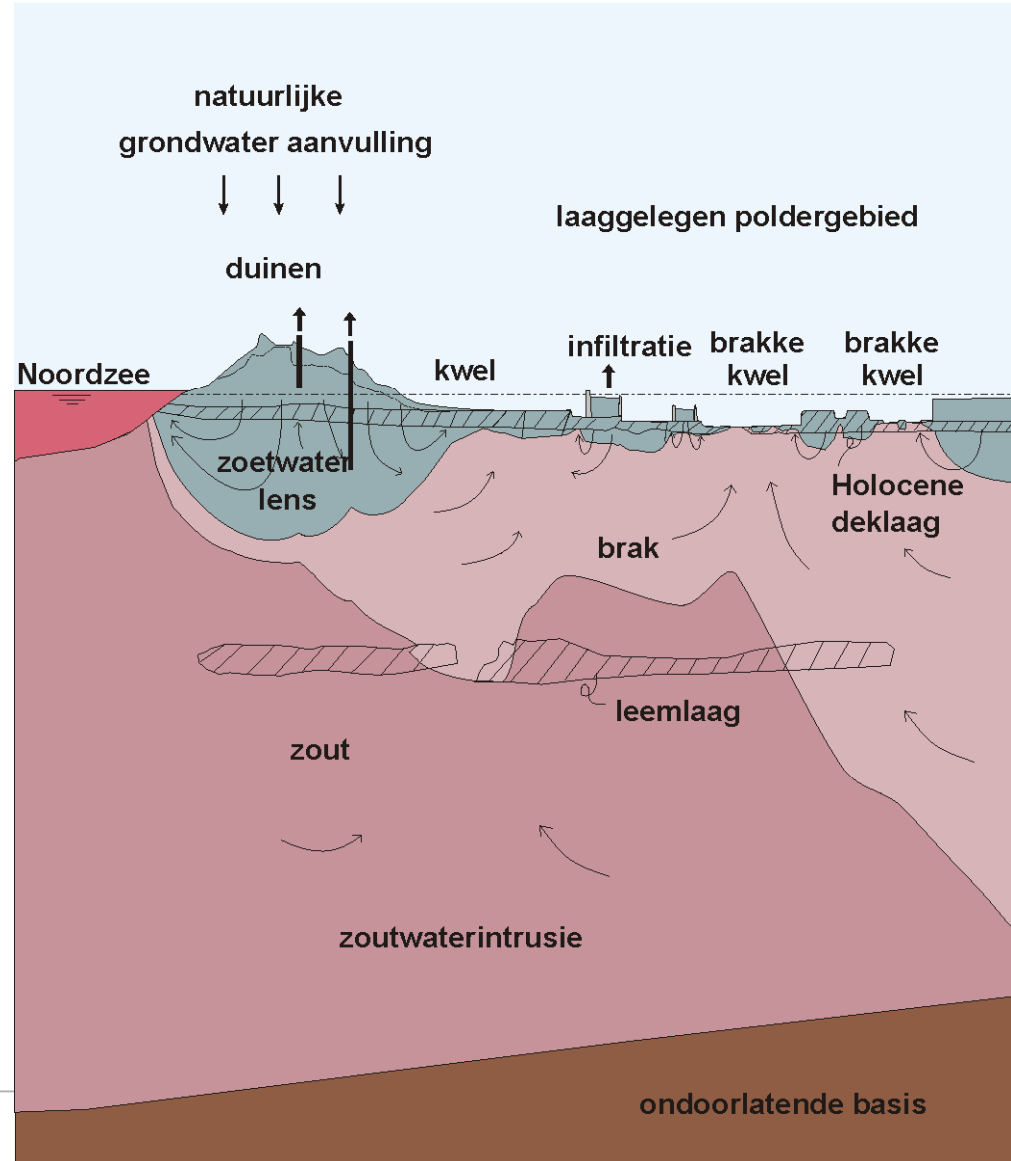
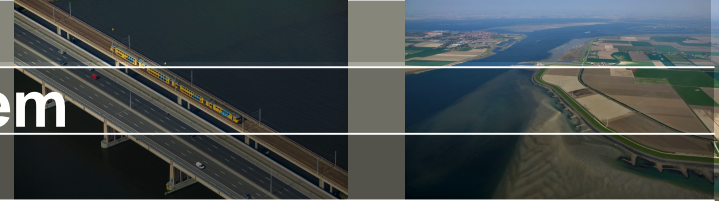
Directe invloed door de mens op het grondwater is belangrijker dan klimaateffect

KNMI'06 scenario's



Bron: Van der Hurk et al. (2006) **Deltares**

Het Nederlandse grondwatersysteem

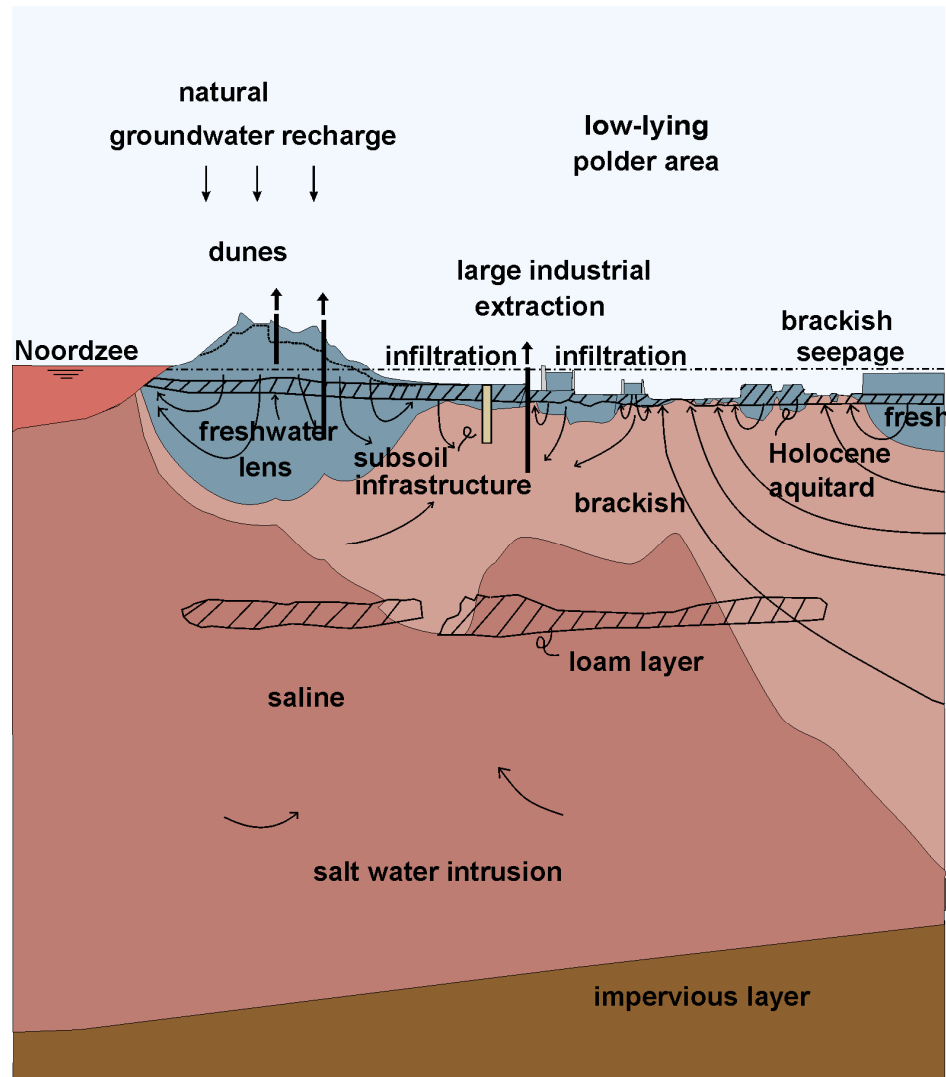


Peilverlagingen in het verleden hebben grondwaterstromingen naar het binnenland veroorzaakt

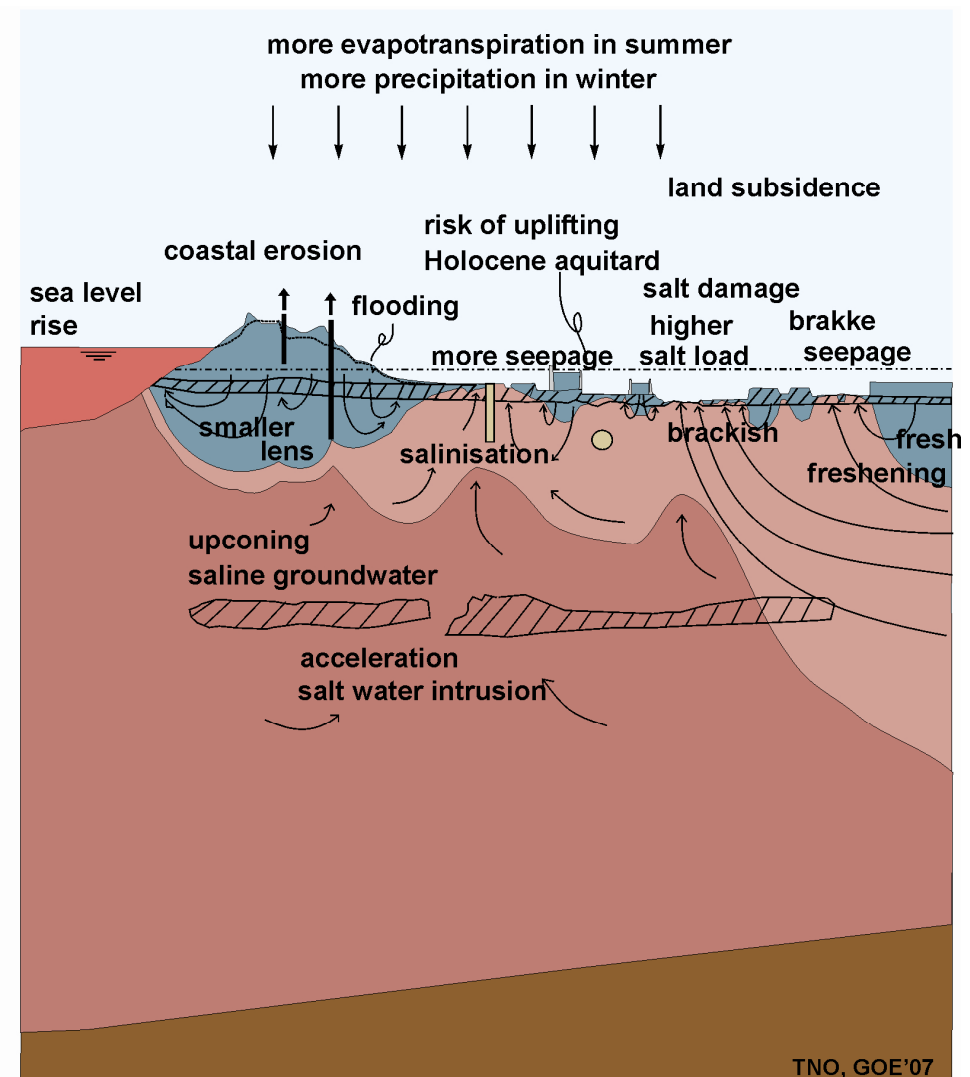
Het Nederlandse grondwatersysteem staat onder druk



Present processes



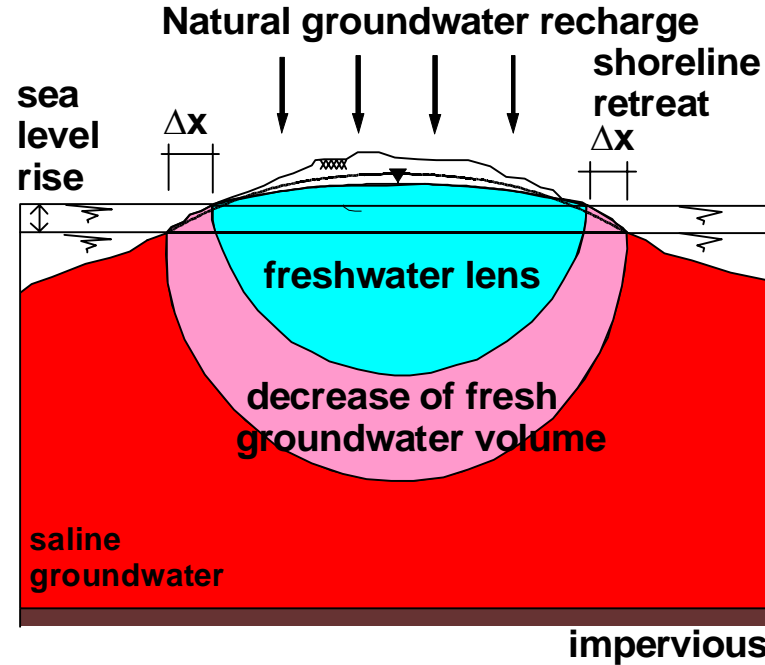
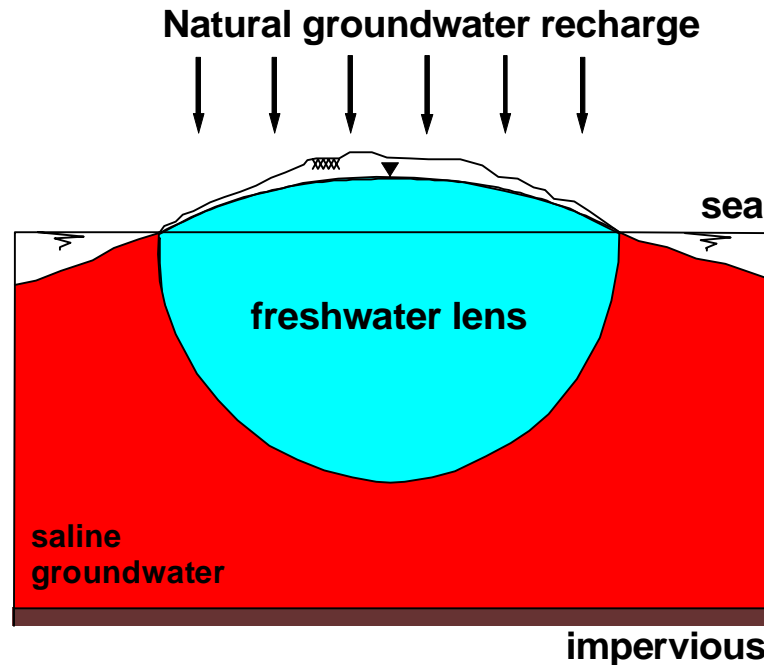
Future changes



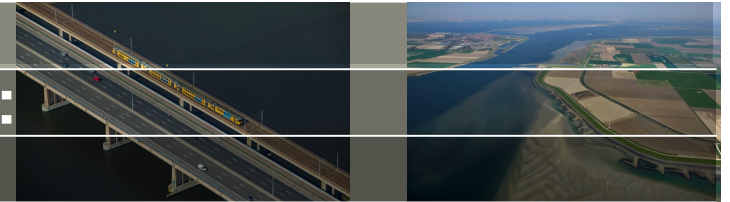
Effect of a relative sea level rise (1):



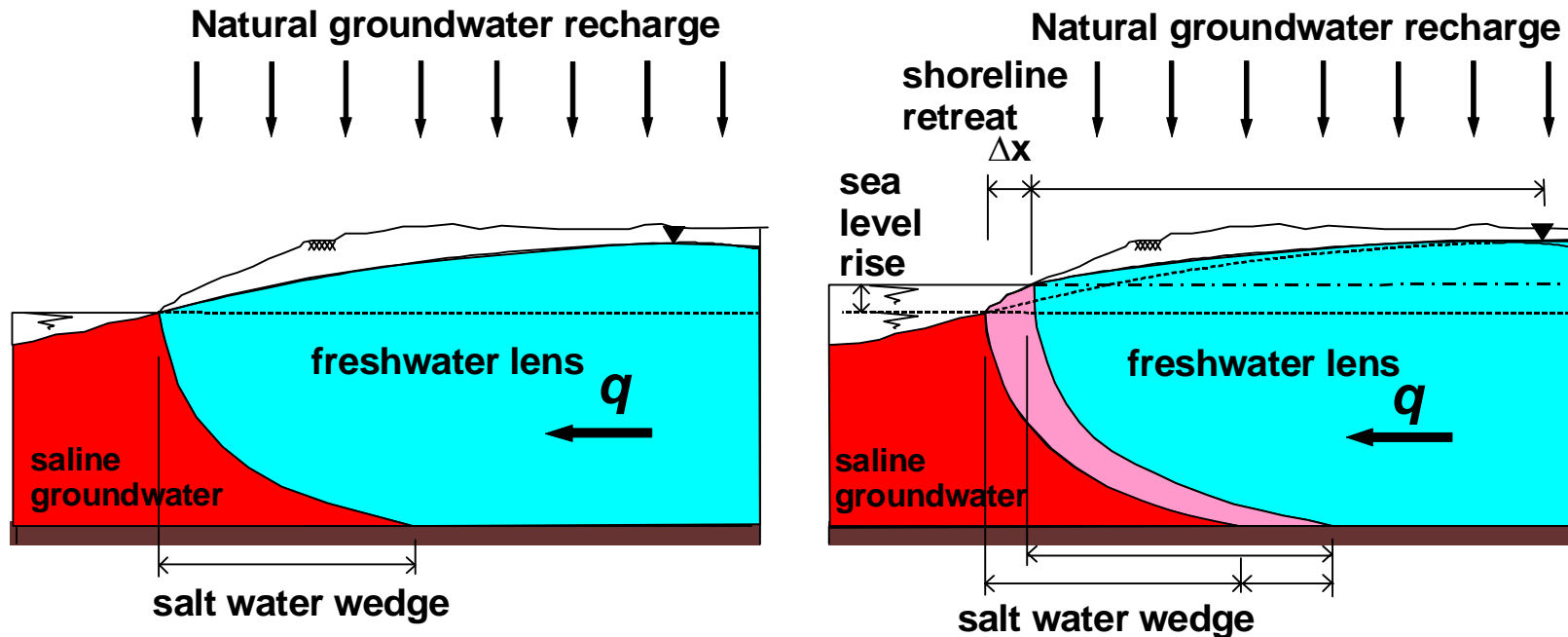
Deep aquifer



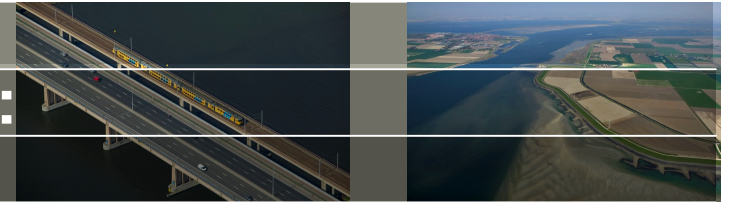
Effect of a relative sea level rise (2):



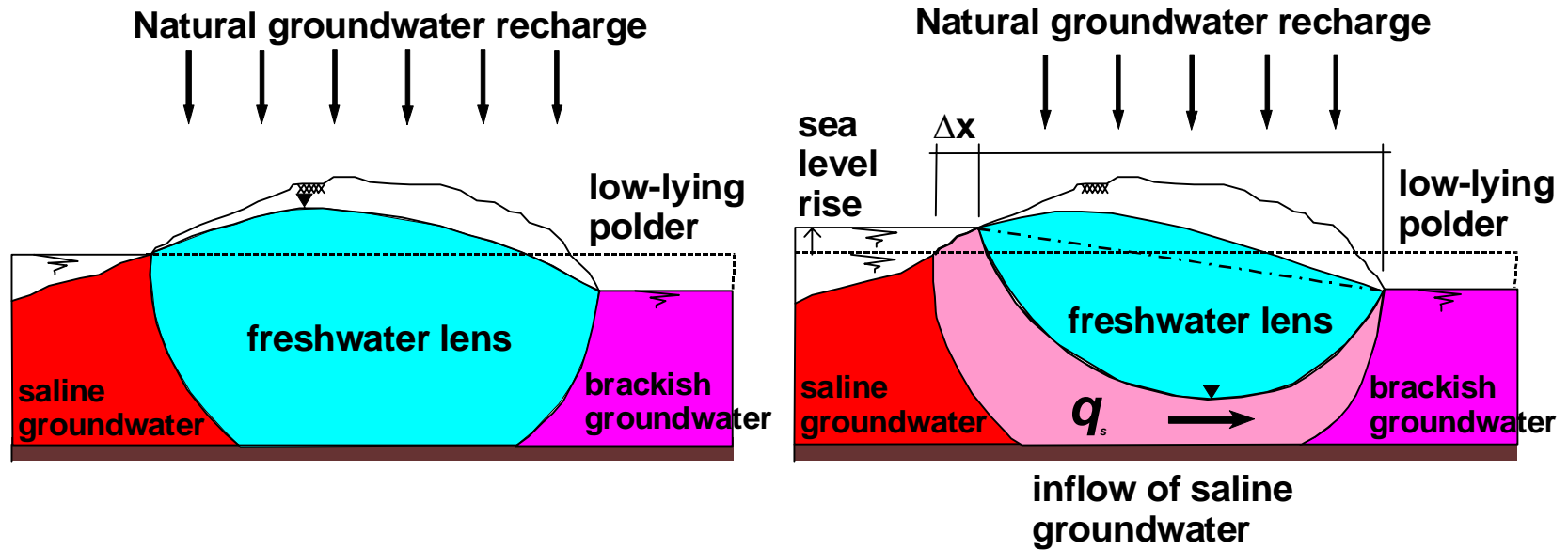
Shallow aquifer

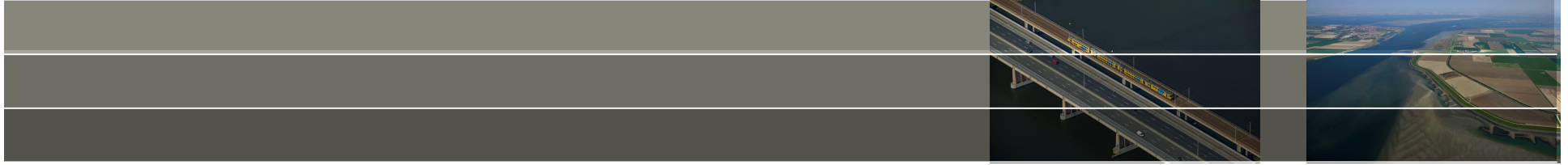


Effect of a relative sea level rise (3):



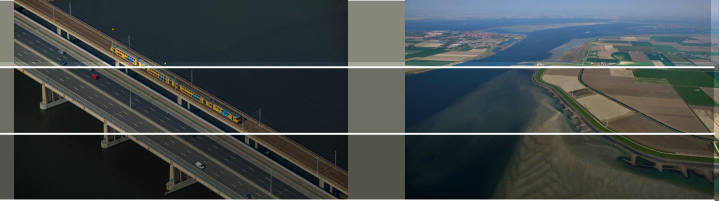
Shallow aquifer





Effecten voor het oppervlaktewater systeem en de landbouw

Gevolgen verzilting



Gevolgen verzilting grondwater:

- Zoutschade gewassen
- Zoutbelasting vanuit het grondwater naar het oppervlaktewater
- [Verzilting ontrrekkingputten]



Bron: Proefstation voor de Akkerbouw en Groenteteelt, Lelystad

Gevolgen verzilting: zoutschade aan gewassen bij wortelzone

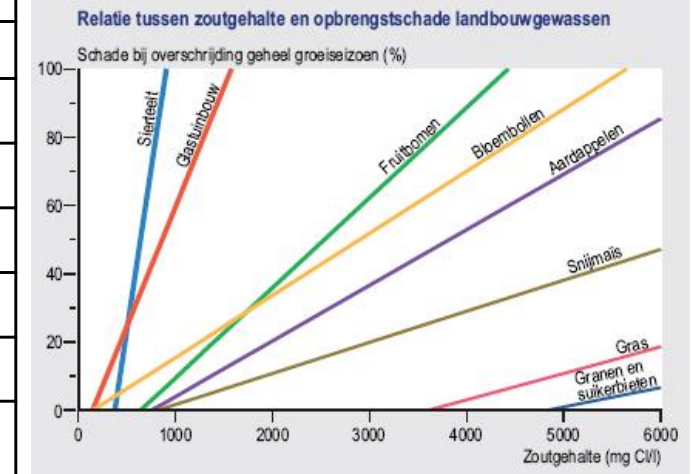


Belangrijke parameters:

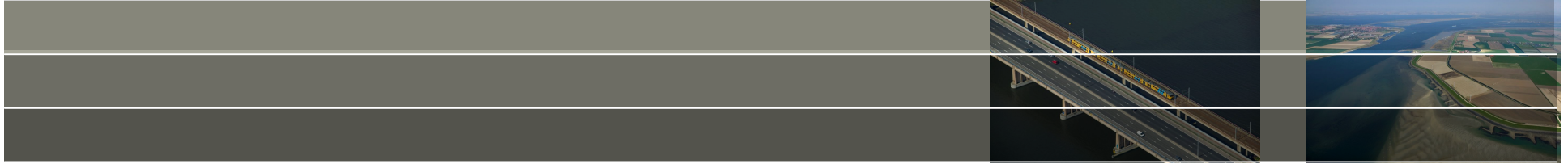
- Chloride concentratie bij wortelzone
- Landgebruik
- Gevoeligheid gewassen

Landgebruik	Drempel-waarde wortelzone (mg Cl-/l)	Helling wortelzone (-)	Gewasopbrengst prijspeil 2050 (Euro/ha)
gras	3606	0.0078	1080
aardappelen	756	0.0163	4240
bieten	4831	0.0057	2640
granen	4831	0.0058	880
glastuinbouw	1337	0.0141	17850
boomgaard	642	0.0264	11900
bollen	153	0.0182	26000

Bron: Roest et al., 2003 en Haskoning



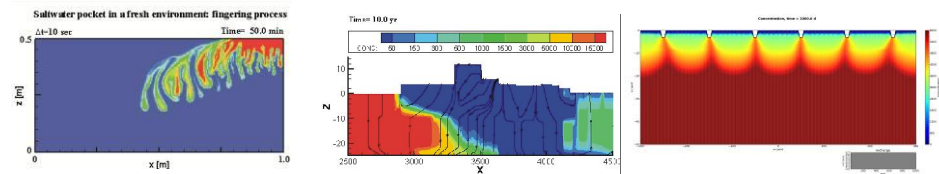
Bron: MNP, 2005



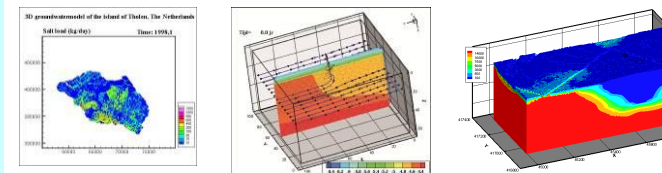
Modelleren zoet-zout grondwater

Verschillende modelschalen om verschijnselen te analyses

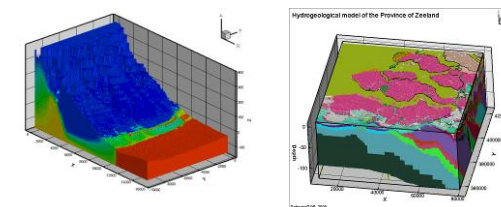
Sub-local: fingering, zoute wellen
Sri Lanka (Tsunami 2004), De Zandmotor
modelschaal=1cm-1m



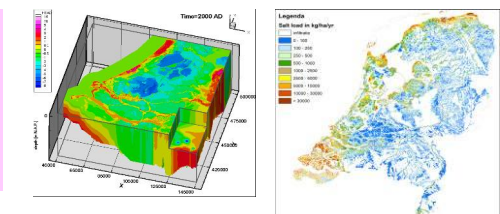
Local: regenwaterlenzen, WKO,
Tholen, Schouwen-Duiveland
modelschaal=5-25m



Regionaal:
Zeeland, Gujarat/India, Philippines
modelschaal=100m

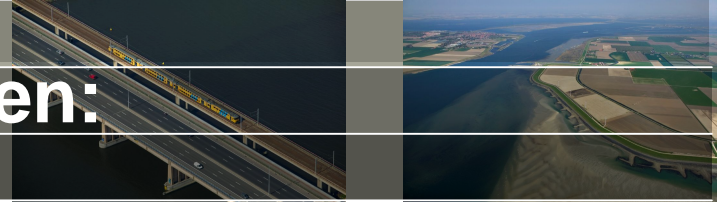


Nationaal: salt load
Zuid-Holland, NHI
modelschaal=250m-1km



Deltares

Numerieke computer modellen:



ROTZOOI IN = ROTZOOI UIT

echter...

- steeds betere 3D geologische opbouw (REGIS II, Geotop)
- steeds betere 3D initiële dichtheidsverdeling
- steeds betere concepten
- steeds betere ijkings technieken
- steeds nauwkeuriger (snellere computers, meer geheugen)

Modelling effect climate change on fresh-salt groundwater



Modelling:

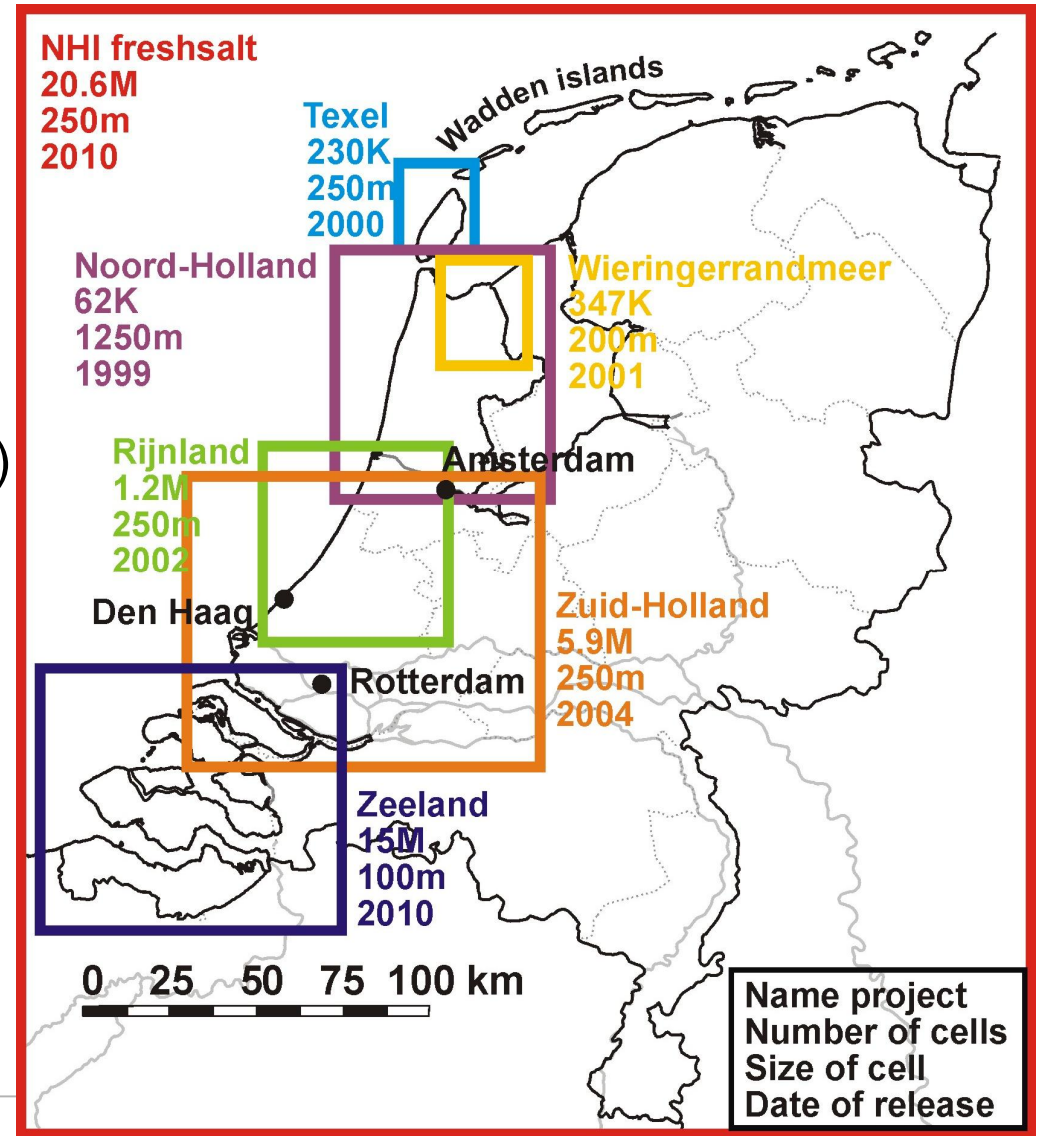
- variable-density
- 3D, non-steady
- groundwater flow
- coupled solute transport

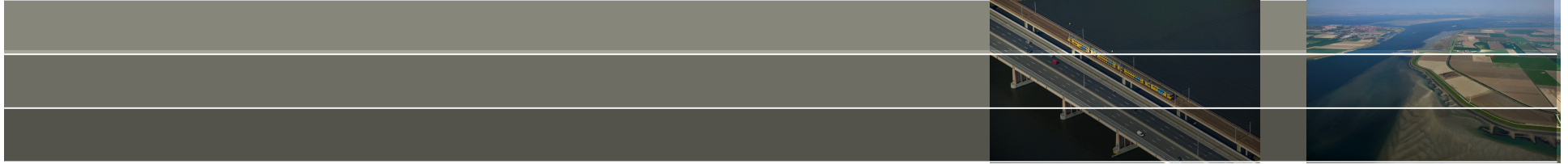
Code:

MOCDENS3D (MODFLOW family)
similar to SEAWAT

Assessing effects:

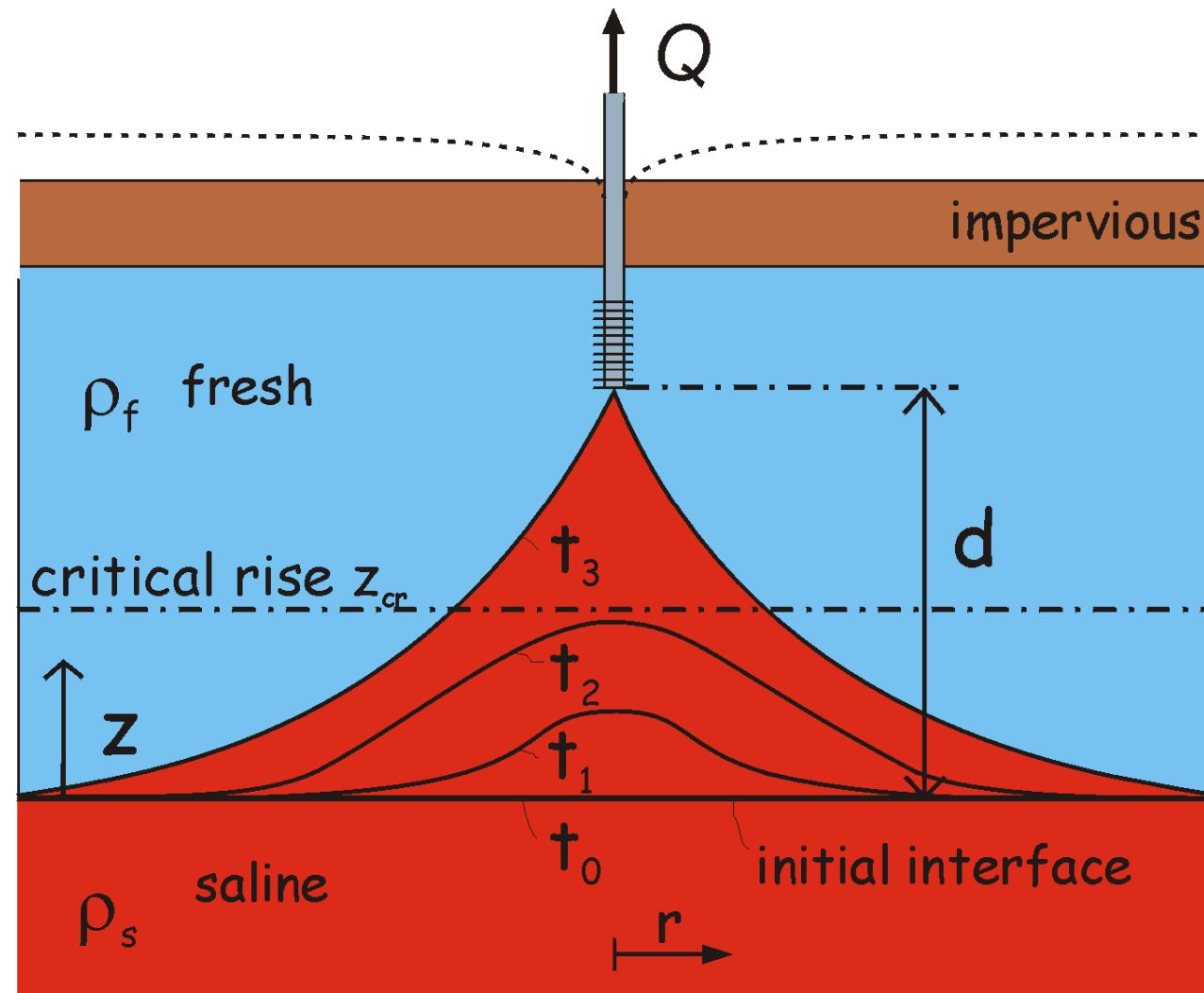
- autonomous salinisation
- sea level rise
- changing recharge pattern
- land subsidence
- changing extraction rates
- adaption measures



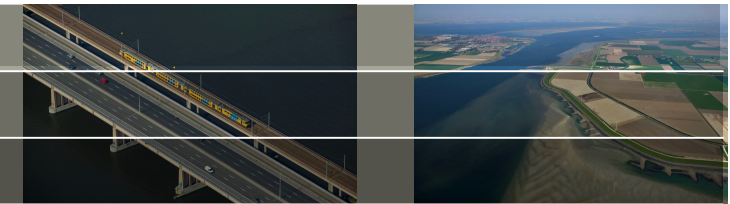


Opkegeling van zout grondwater onder een onttrekkingsput

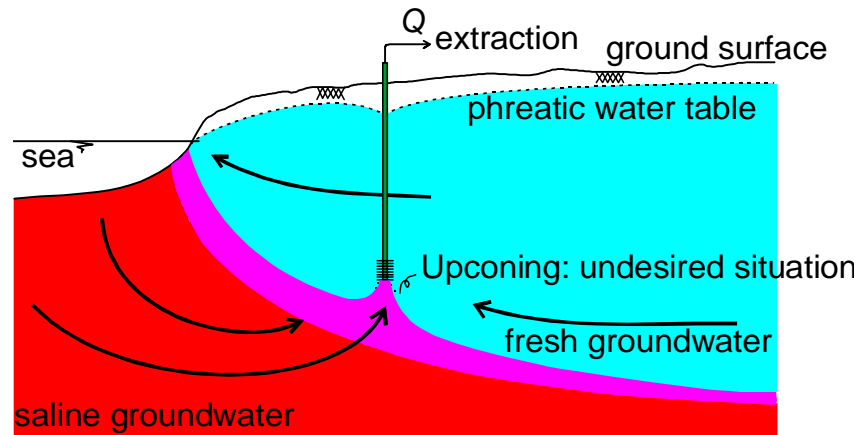
Opkegeling van zout grondwater onder een onttrekkingsput



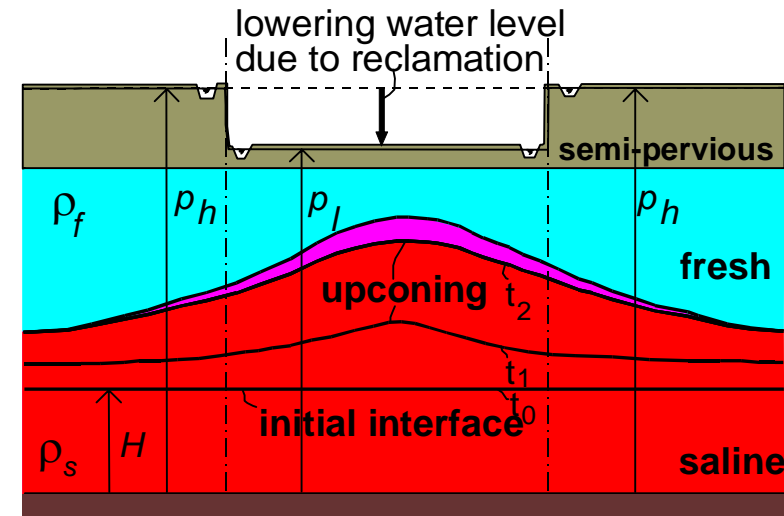
Upconing of saline groundwater



Under an extraction well



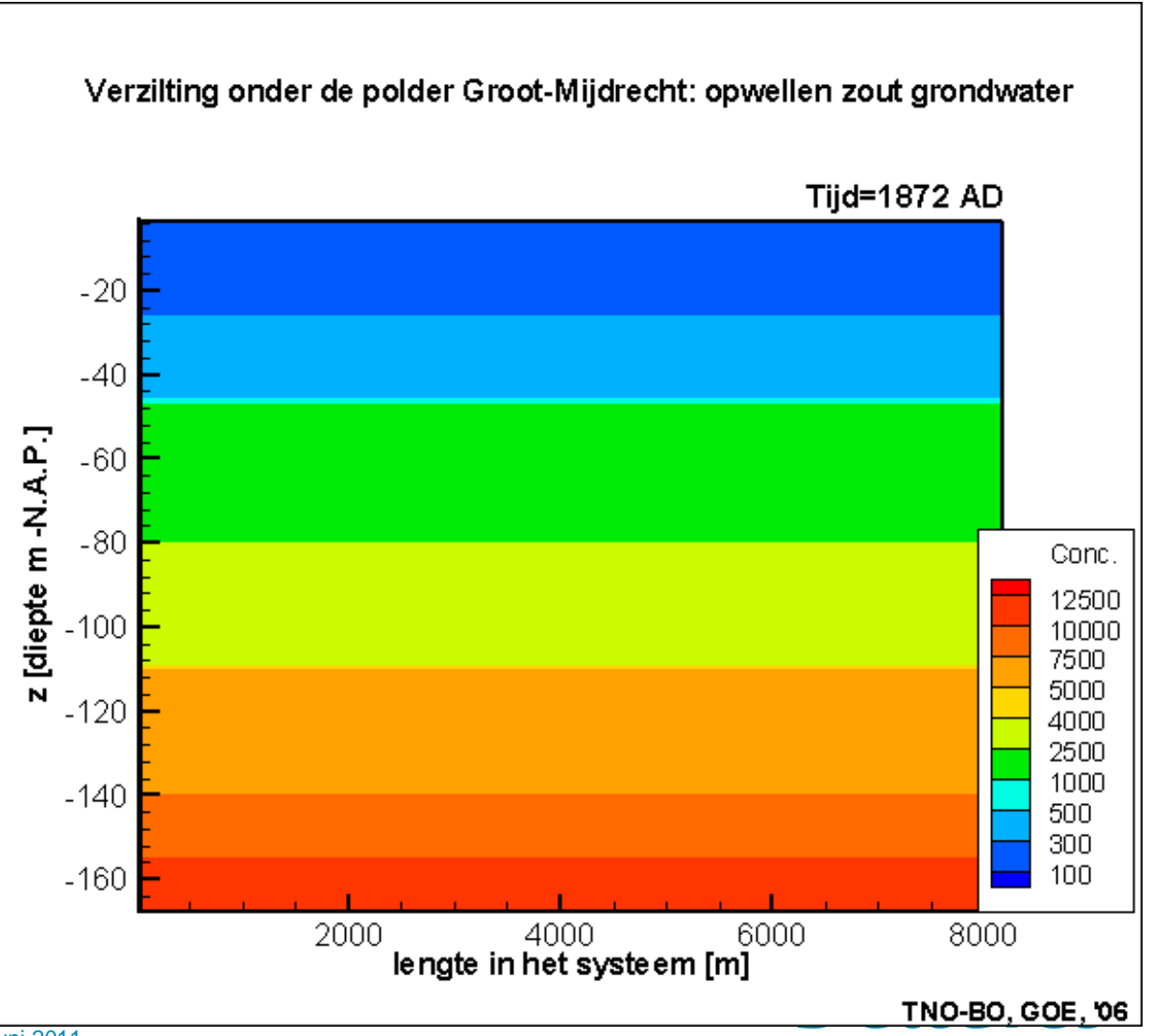
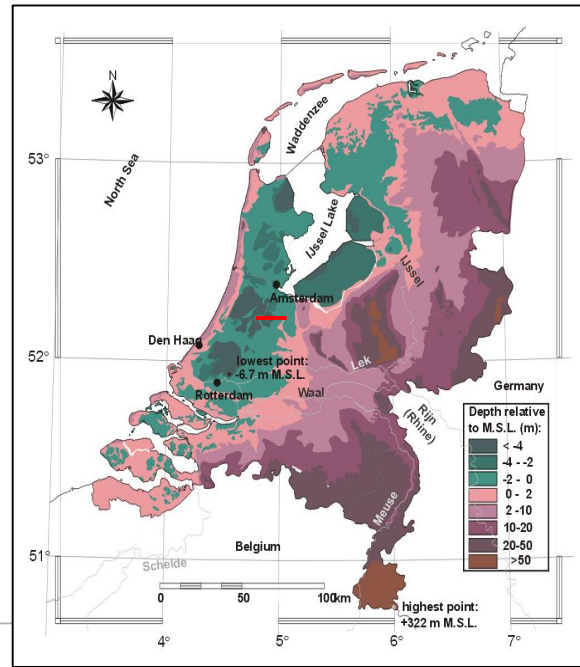
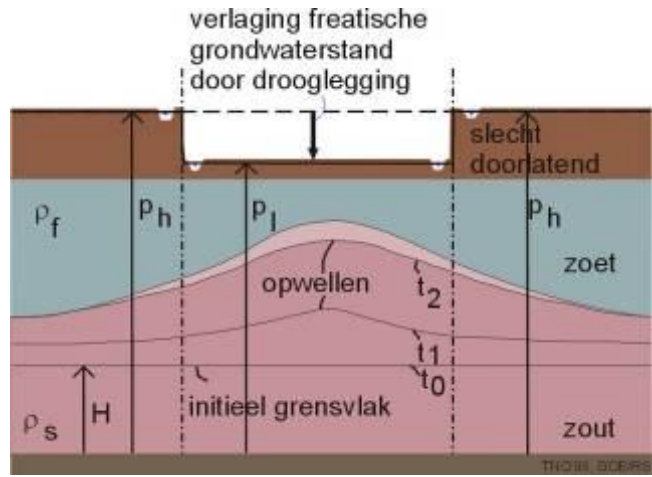
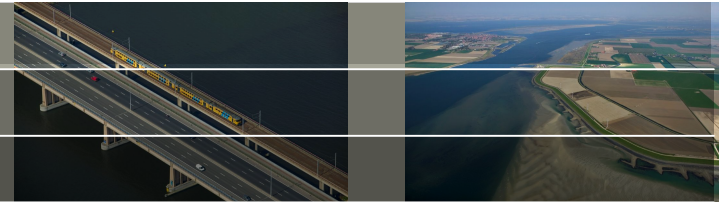
Under a low-lying area



- movement of saline groundwater to extraction wells
- increase in salinity ($>150-200 \text{ mg Cl-l}$)
- lowering of the piezometric head (leads to land subsidence:
e.g. Los Angeles: 9 m in the 1930's)

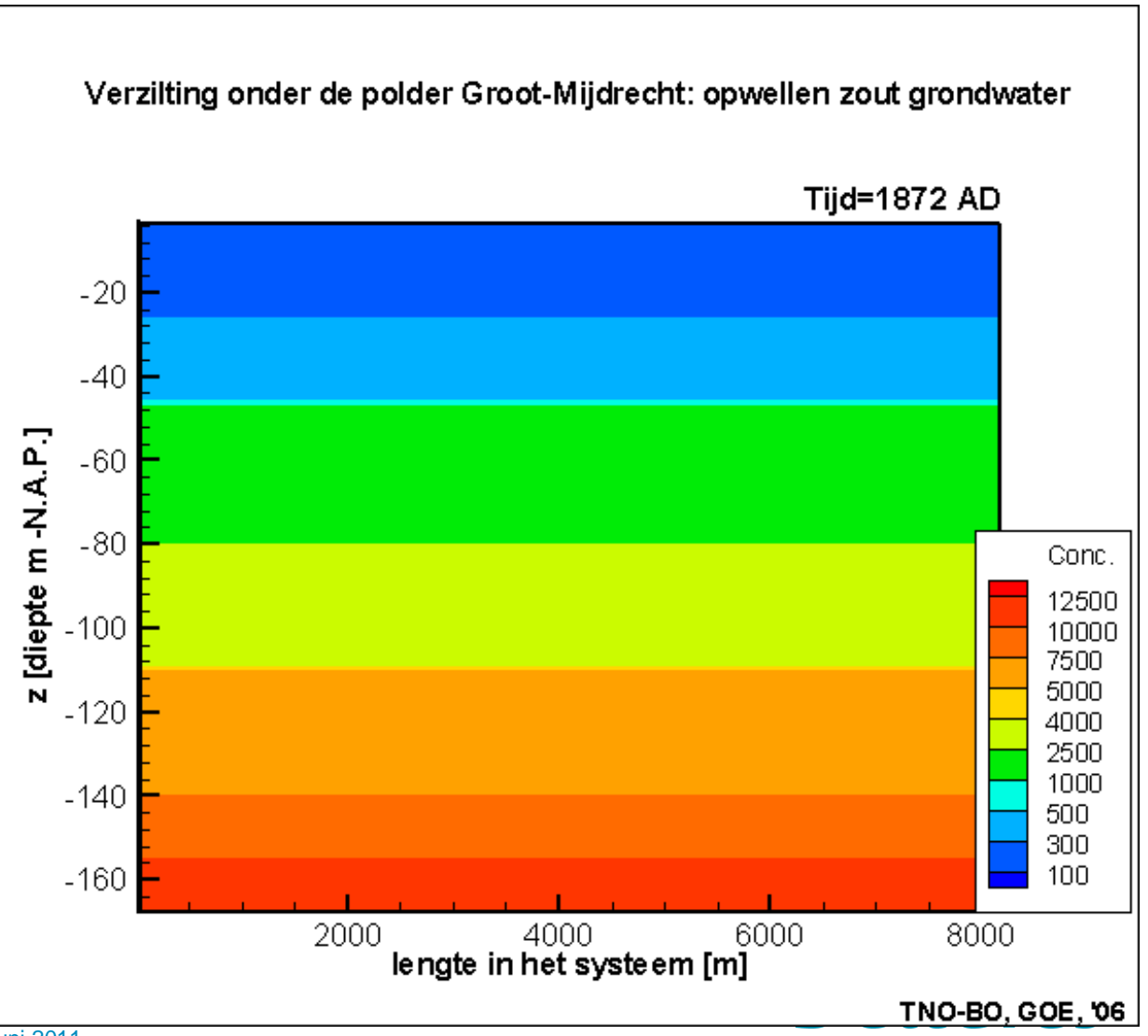
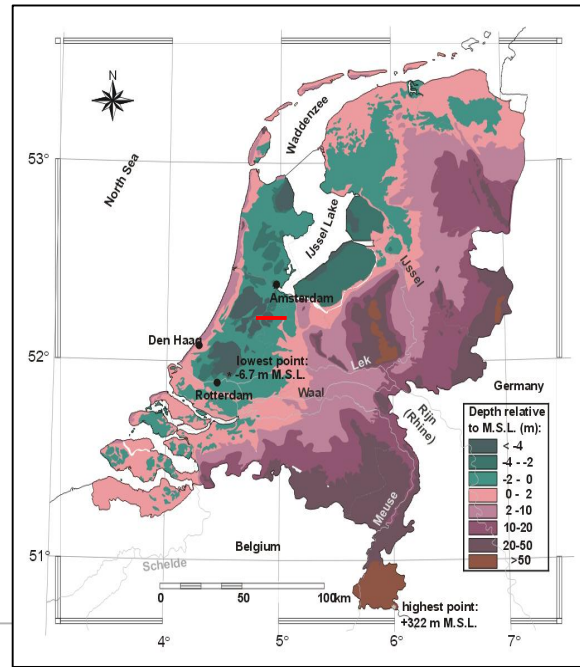
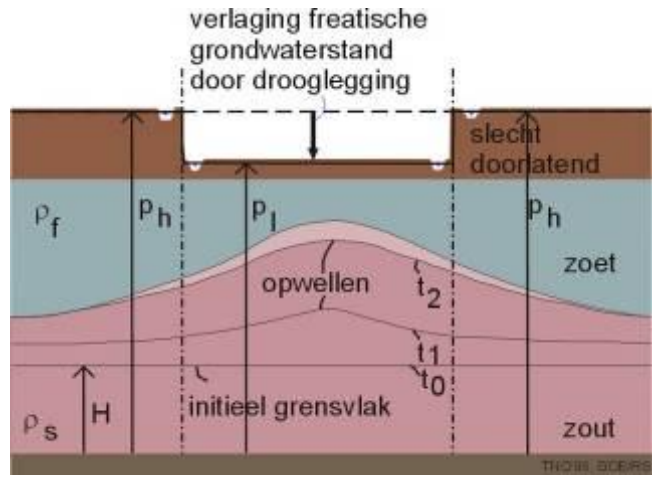
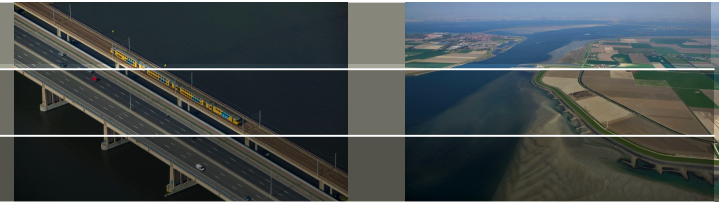
'Solutions': reduce extraction rate, abandon well, inundate polder

Upconing under a low-lying polder

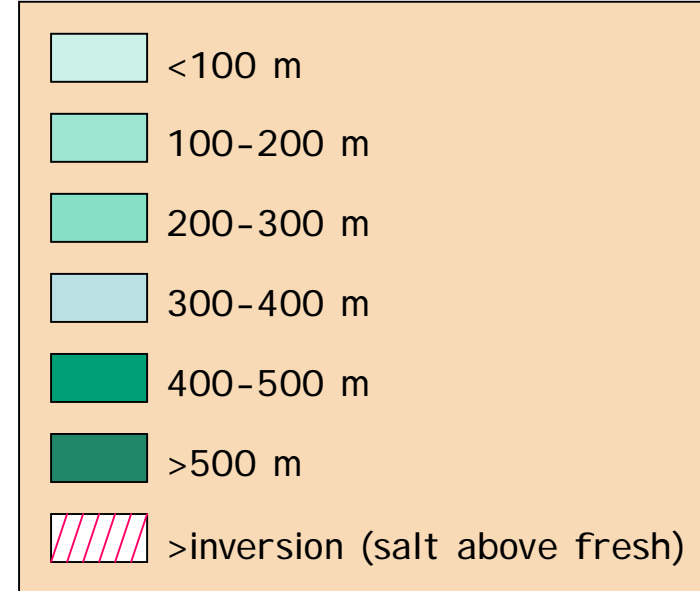
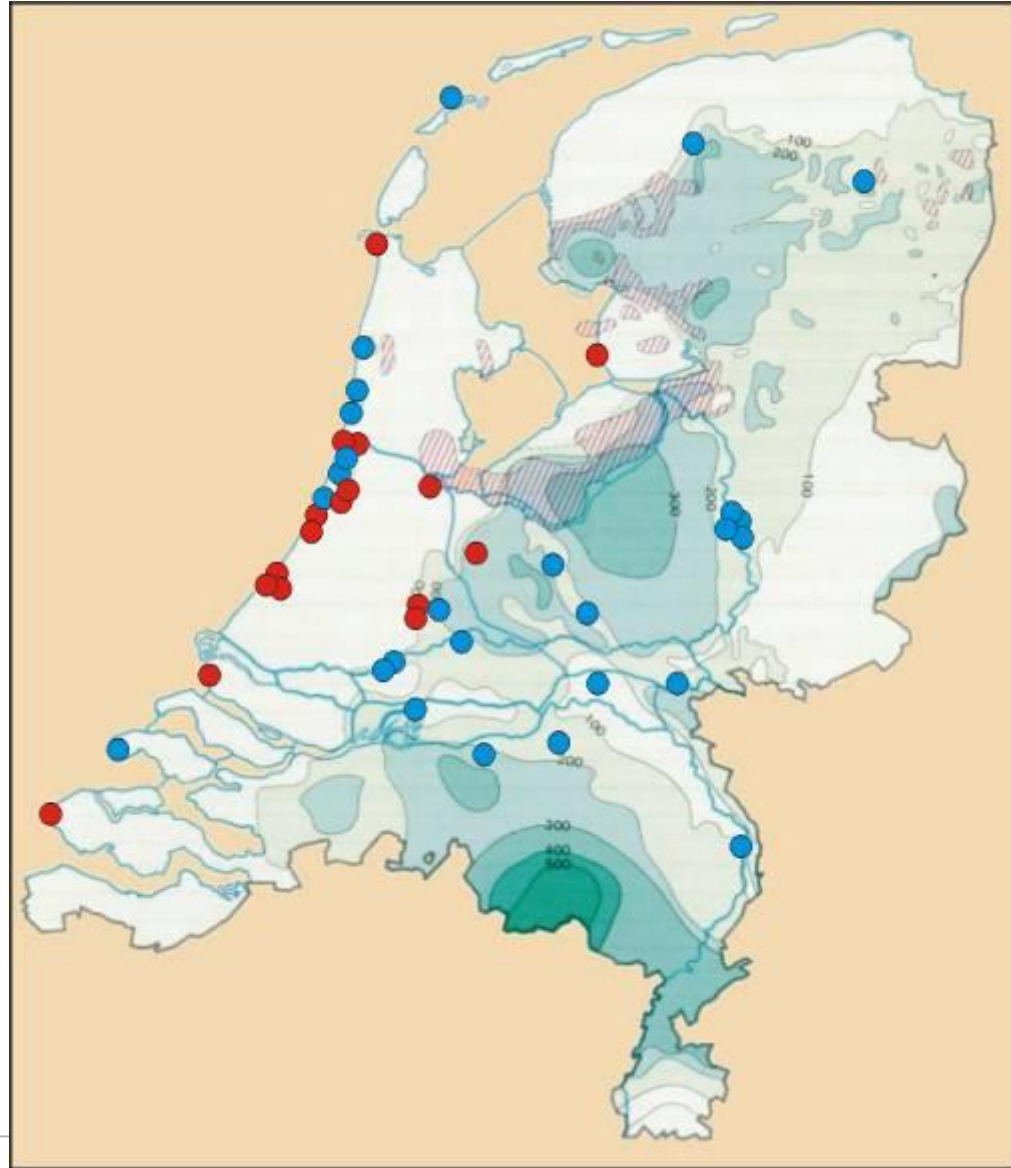


zo juni 2011

Upconing under a low-lying polder



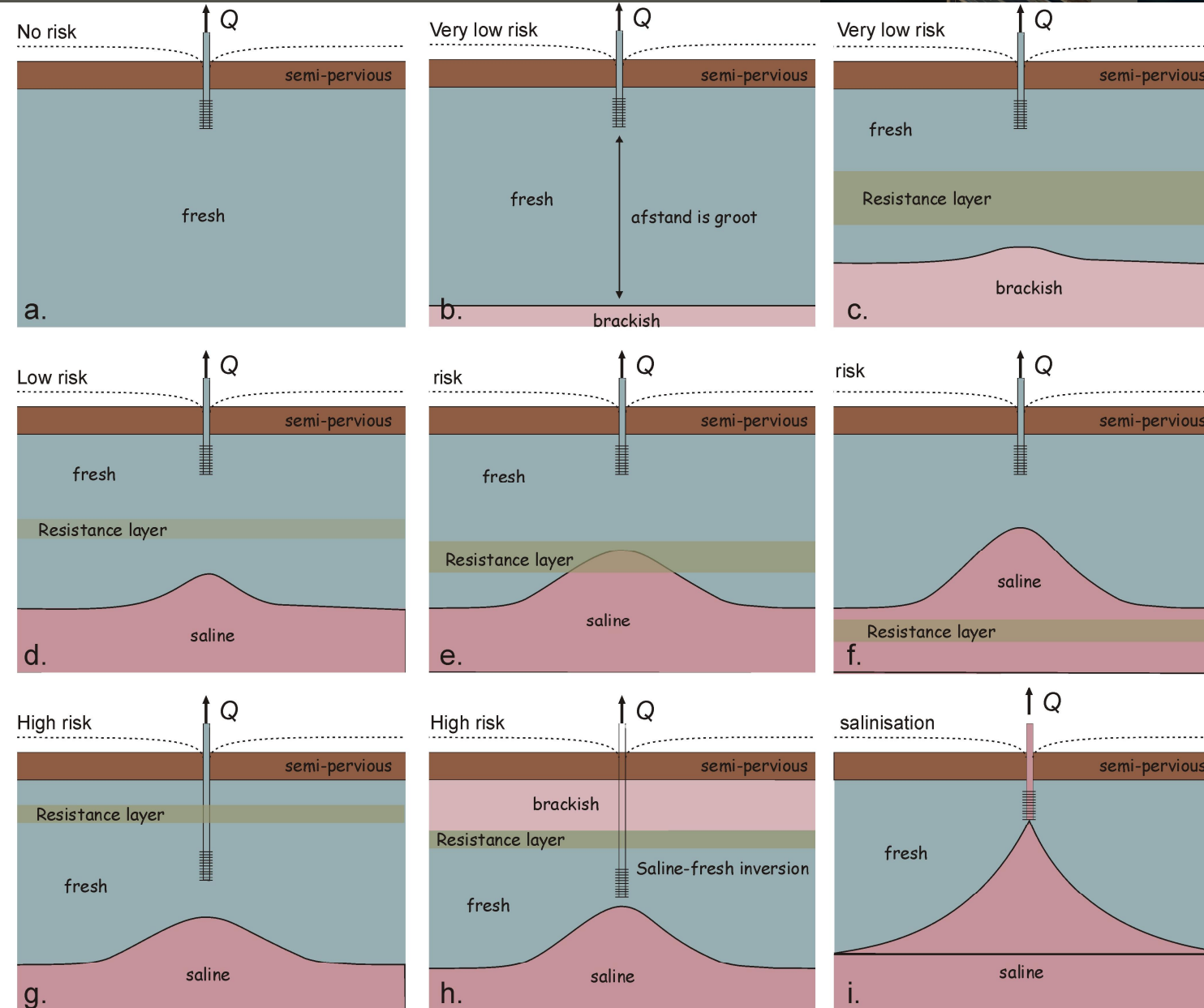
Availability of fresh groundwater for drinking water

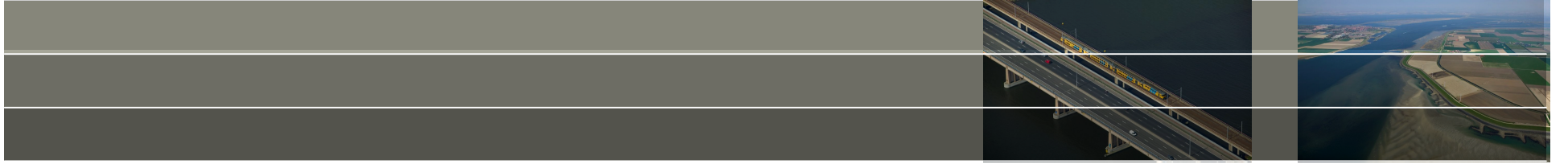


- **Pumping stations with salinisation**
- **Pumping stations closed due to salinisation (20% = 100 stations)**

Deltawerken

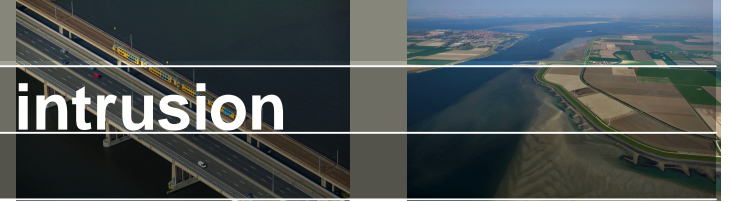
Different risks of upconing saline groundwater





Technische maatregelen

Measures to compensate salt water intrusion



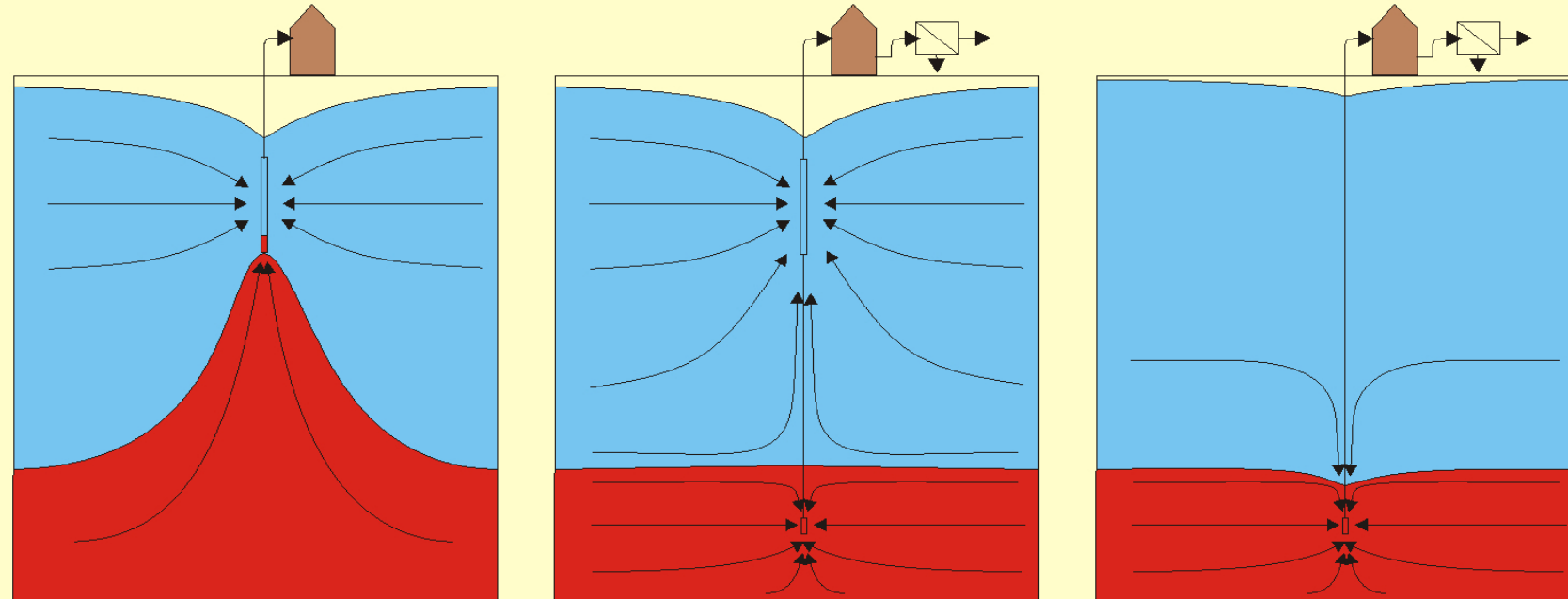
- 'The Fresh Holder'
 - Extraction of saline/brackish groundwater
 - Infiltration of fresh surface water
 - Modifying pumping rates
 - Land reclamation in front of the coast
 - Creating physical barriers (crystallisation or biosealing)

Solution: The Fresh Holder



Solutions

Reverse osmosis



KIWA

Upconing can be prevented by the extraction of brackish groundwater

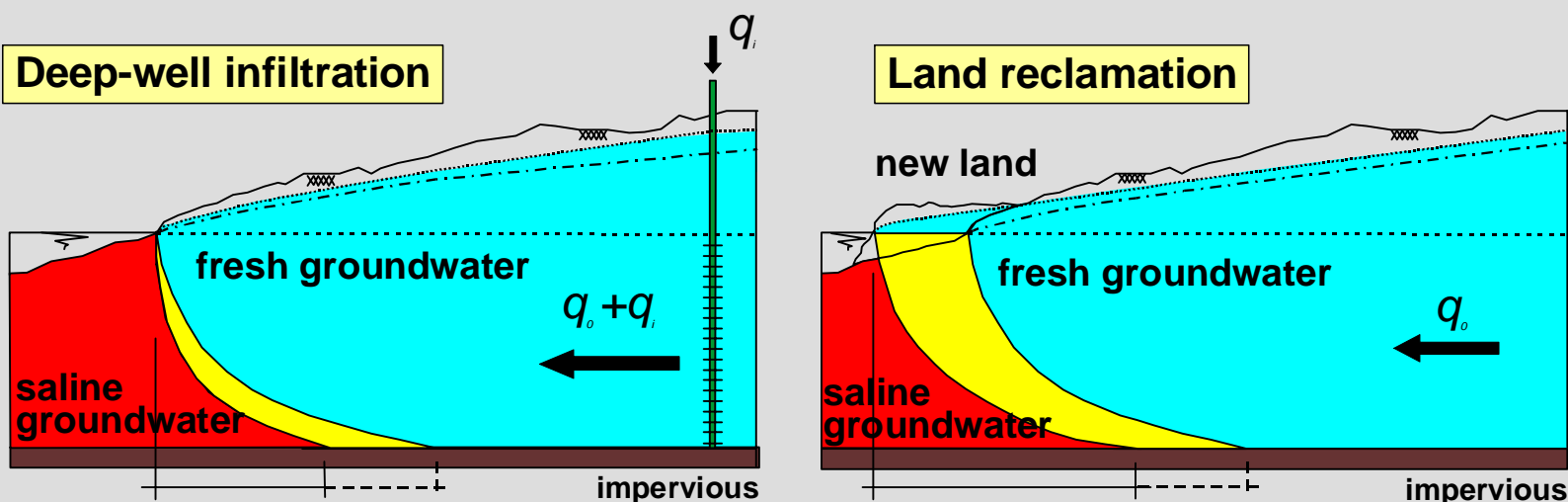
This brackish groundwater can be transformed to water of agricultural water quality by using the membrane filtration technique

Deltadres

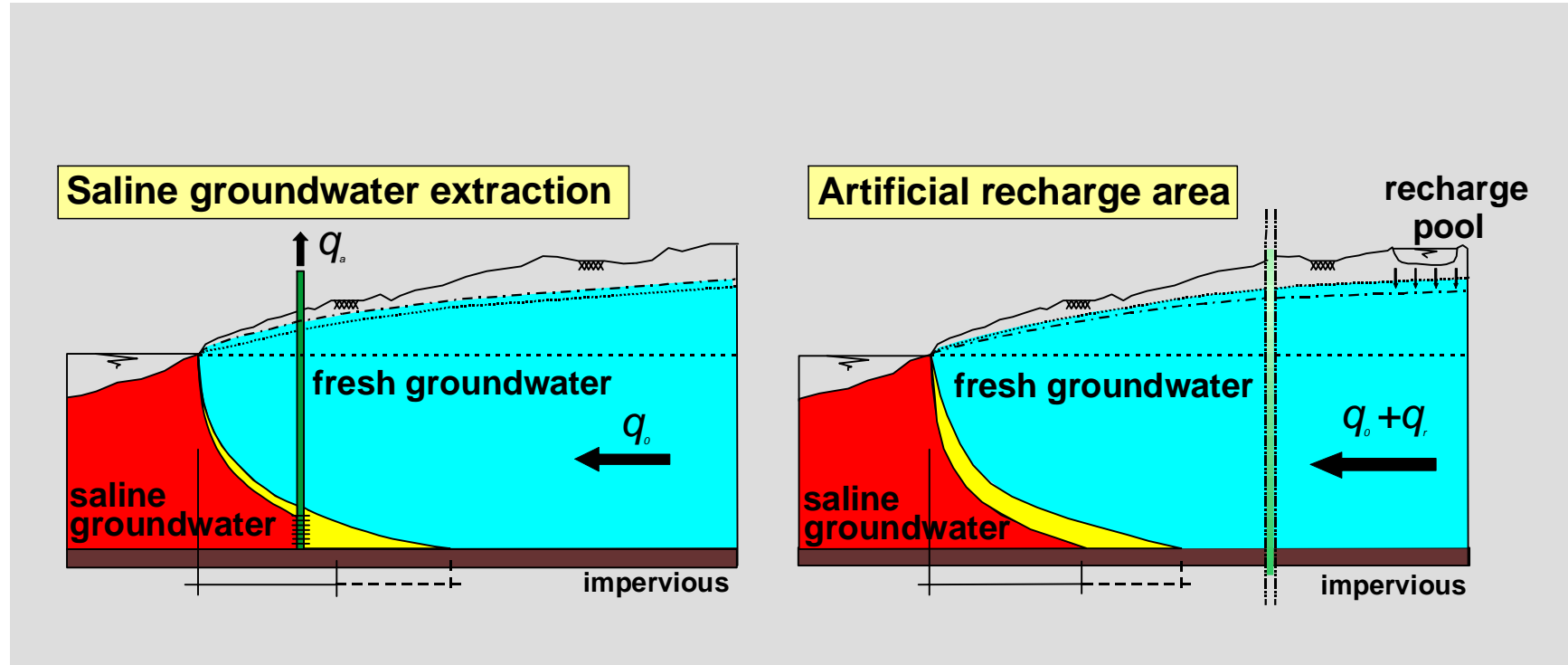
Countermeasures of salt water intrusion (1)



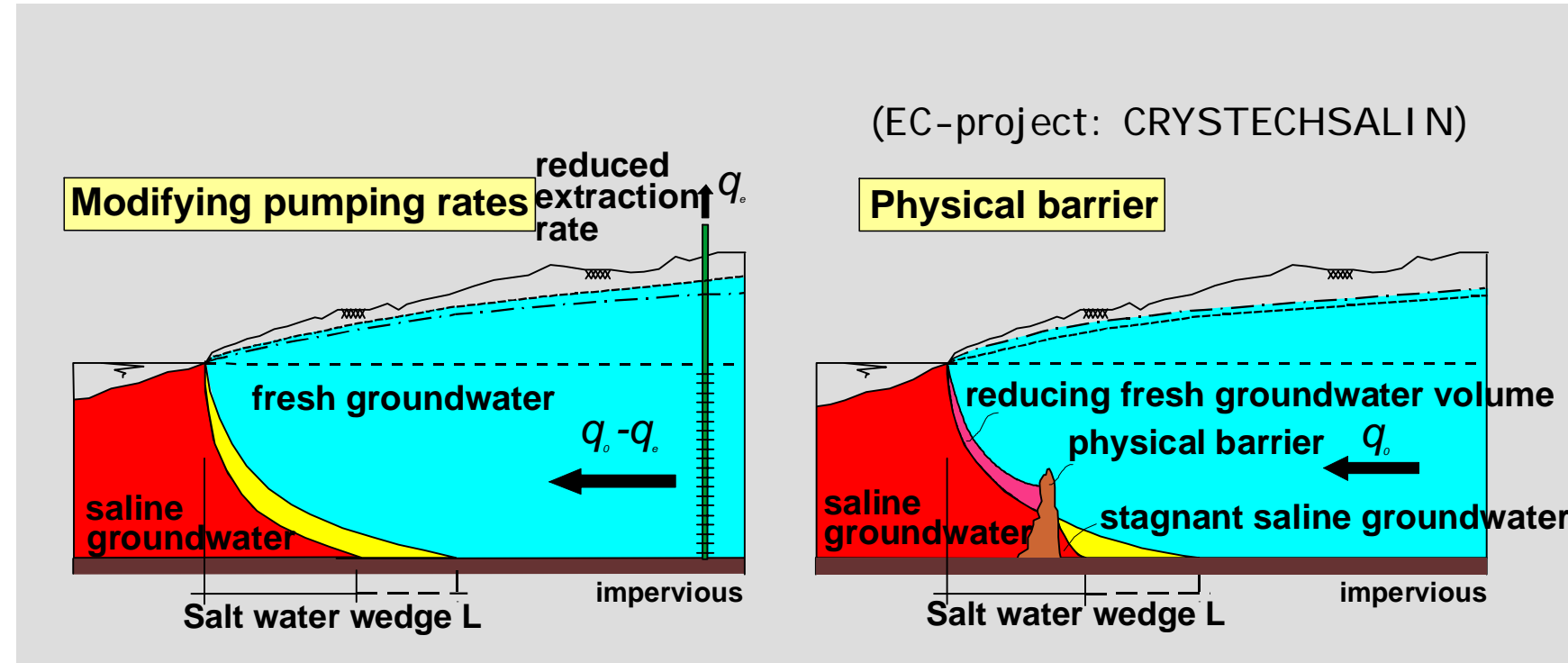
increase of fresh groundwater volume due to countermeasure



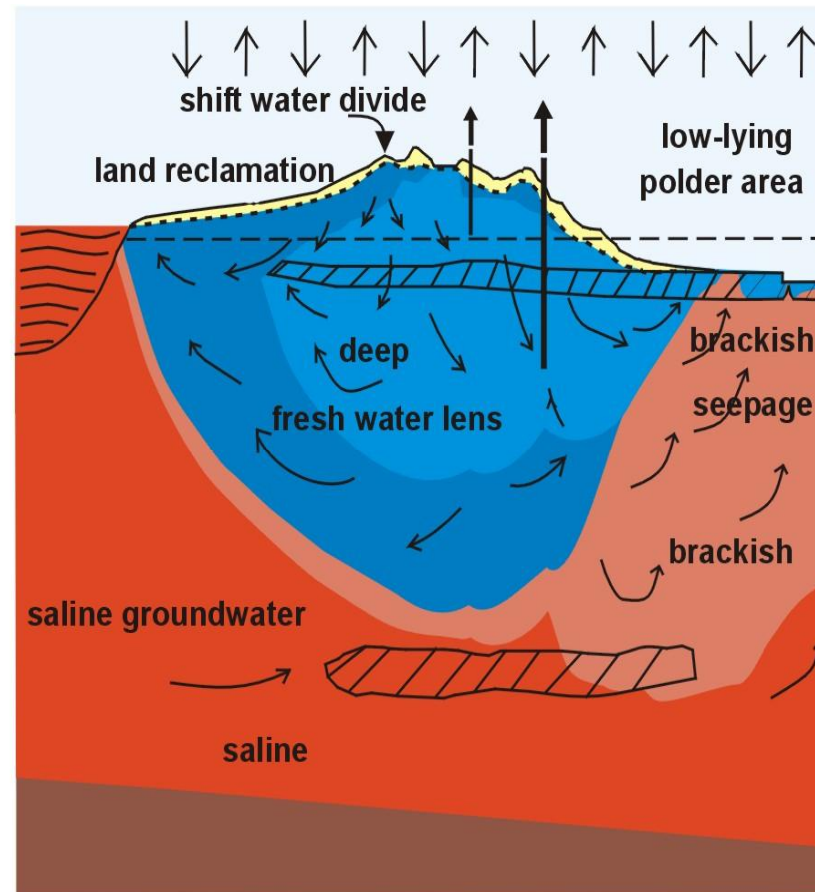
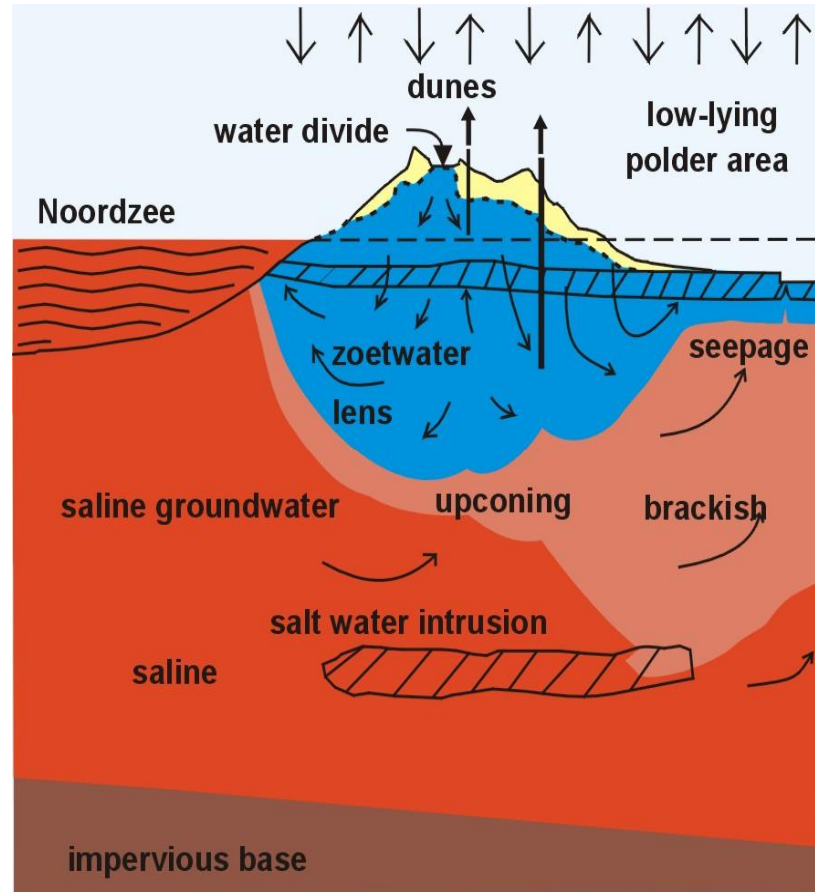
Countermeasures of salt water intrusion (2)

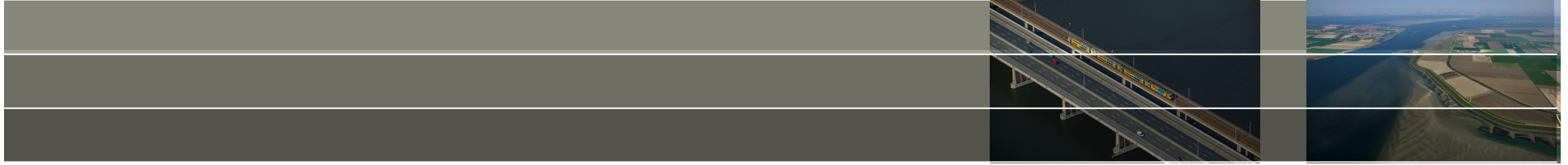


Countermeasures of salt water intrusion (3)



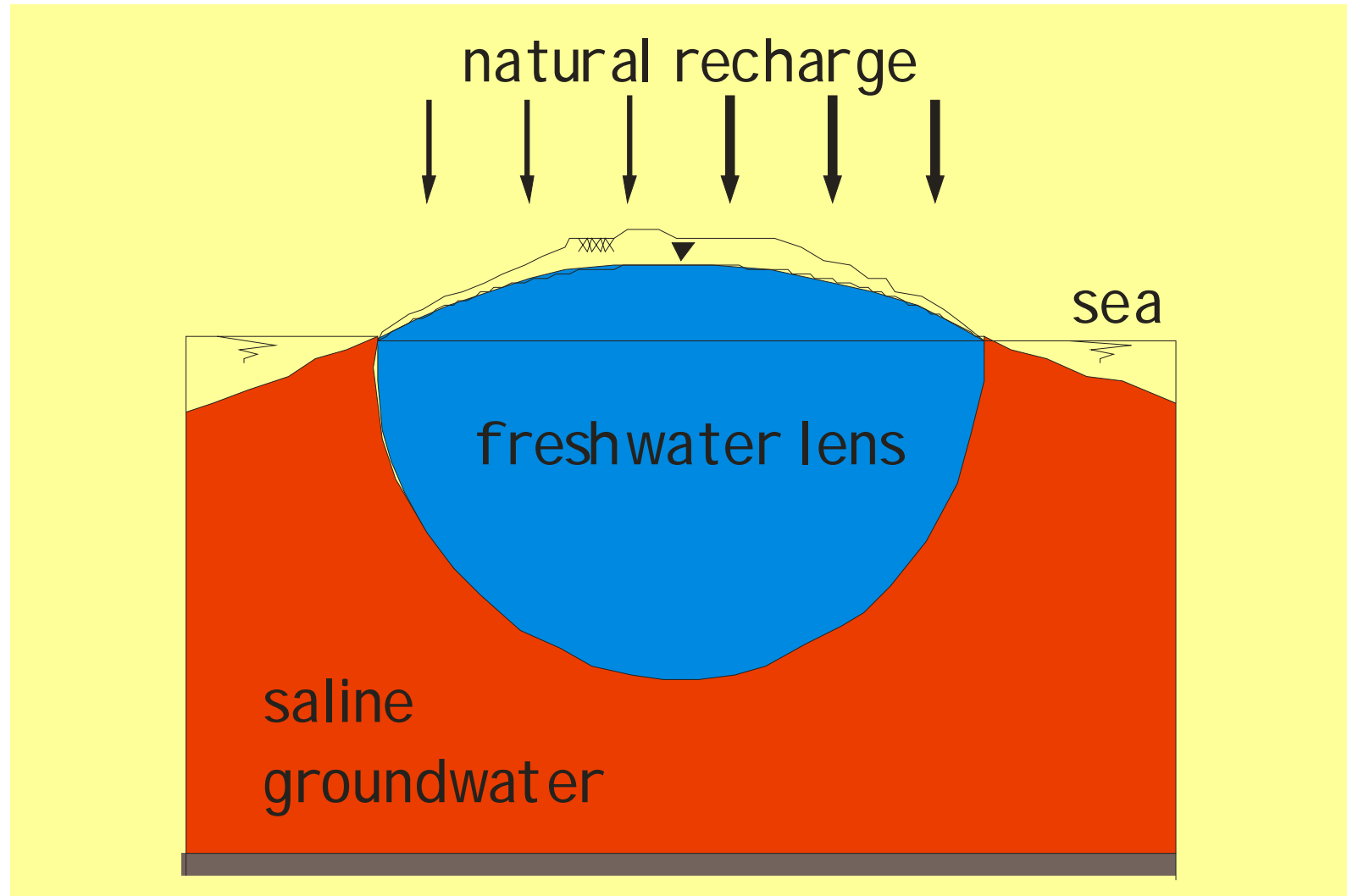
Landaanwinning en de zoetwaterlens



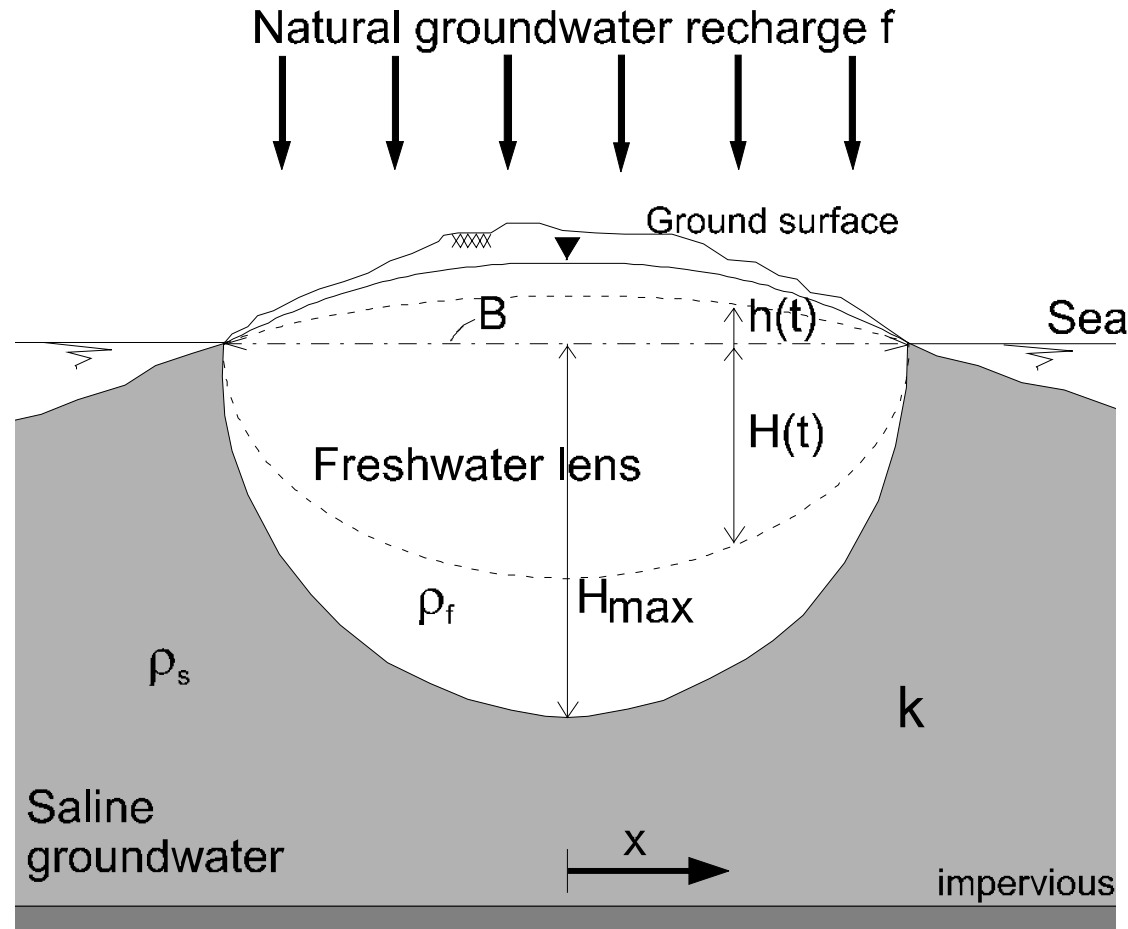


Voorbeelden zoet-zout grondwater

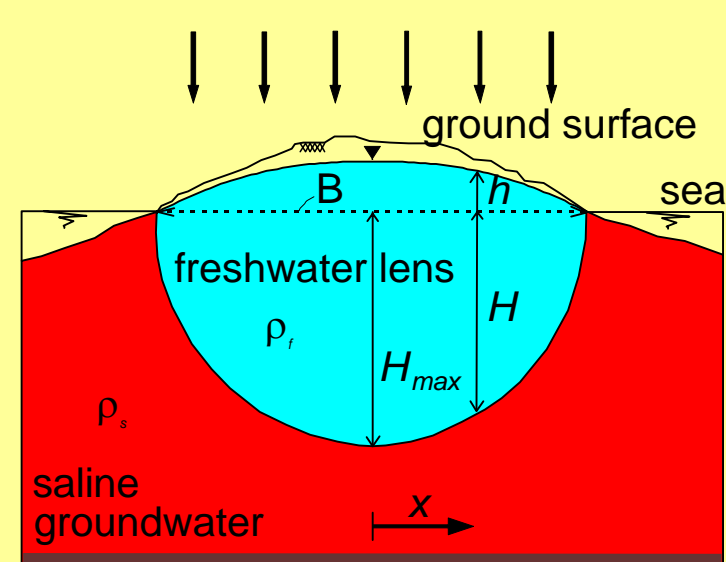
Evolution of a freshwater lens



Development of a freshwater lens



Zoetwaterlens duingebied: analytische vergelijking

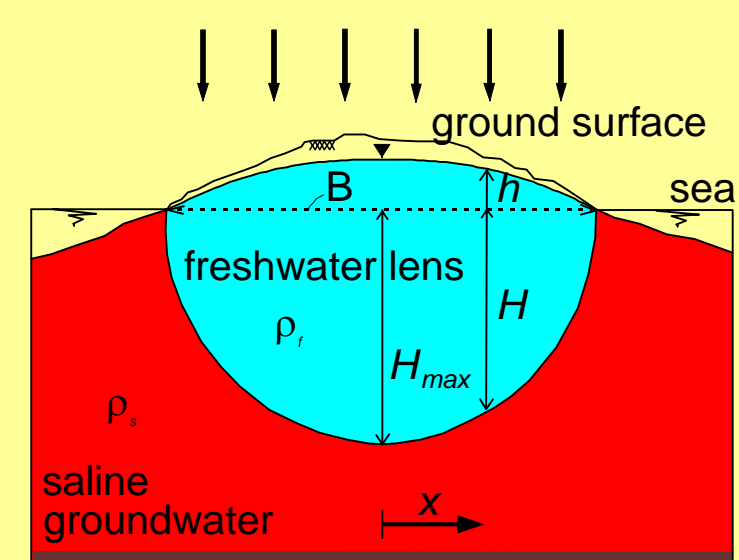


Depth of fresh-saline interface H

$$H = \sqrt{\frac{f(0.25B^2 - x^2)}{k\alpha(1+\alpha)}}$$

$$h = \alpha H$$

Zoetwaterlens duingebied: analytische vergelijking



Depth of fresh-saline interface H

$$B = 2000\text{m}, f = 0.001\text{m/day}$$

$$k = 10\text{m/day}, \alpha = 0.025$$

$$n_e = 0.35$$

Maximal thickness lens

$$H_{max} = 62.5\text{m}, h_{max} = 1.56\text{m}$$

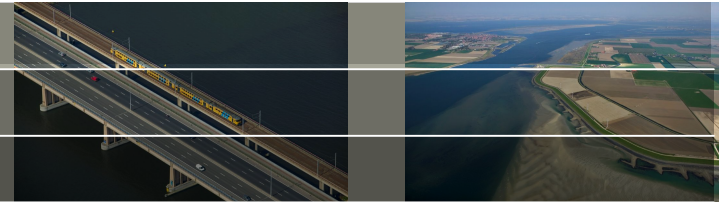
Volume lens (wrong in lectures notes)

$$V = 35203\text{m}^3/\text{m}'$$

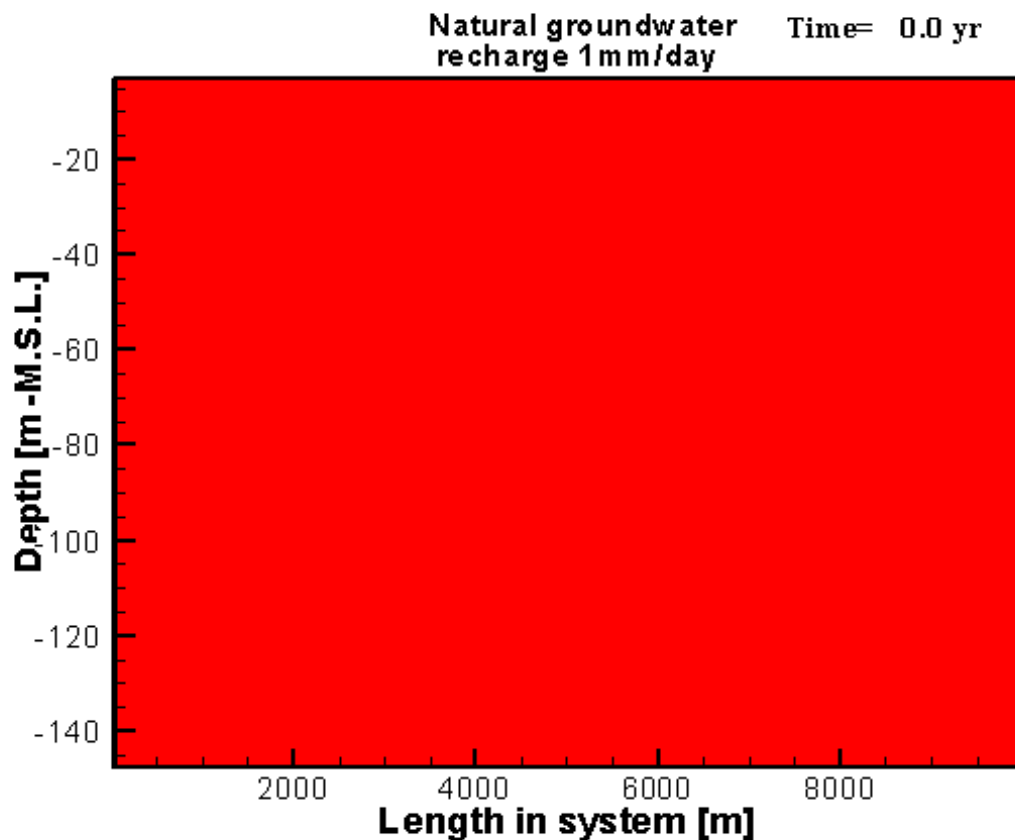
Characteristic time

$$T = \frac{35203}{2}\text{days} = 48.2\text{years}$$

Ontwikkeling van een zoetwaterlens



Evolution of a freshwater lens



T = karakteristieke tijdschaal

T = tijdsduur voordat lens 95% van zijn uiteindelijke vorm heeft

In Nederland: T = 75-200 jaar,

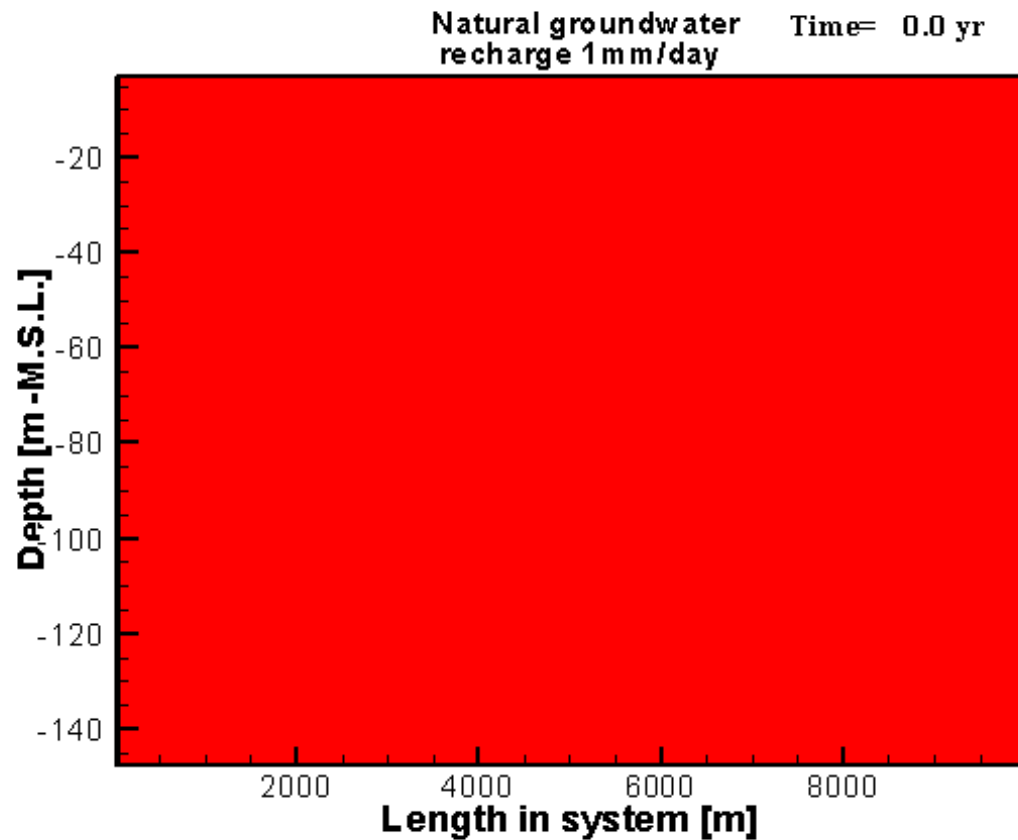
afhankelijk van:

- breedte duingebied
- neerslag
- doorlatendheid bodem

Ontwikkeling van een zoetwaterlens



Evolution of a freshwater lens



T = karakteristieke tijdschaal

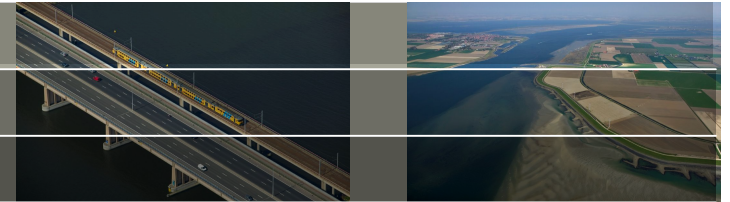
T = tijdsduur voordat lens 95% van zijn uiteindelijke vorm heeft

In Nederland: T = 75-200 jaar,

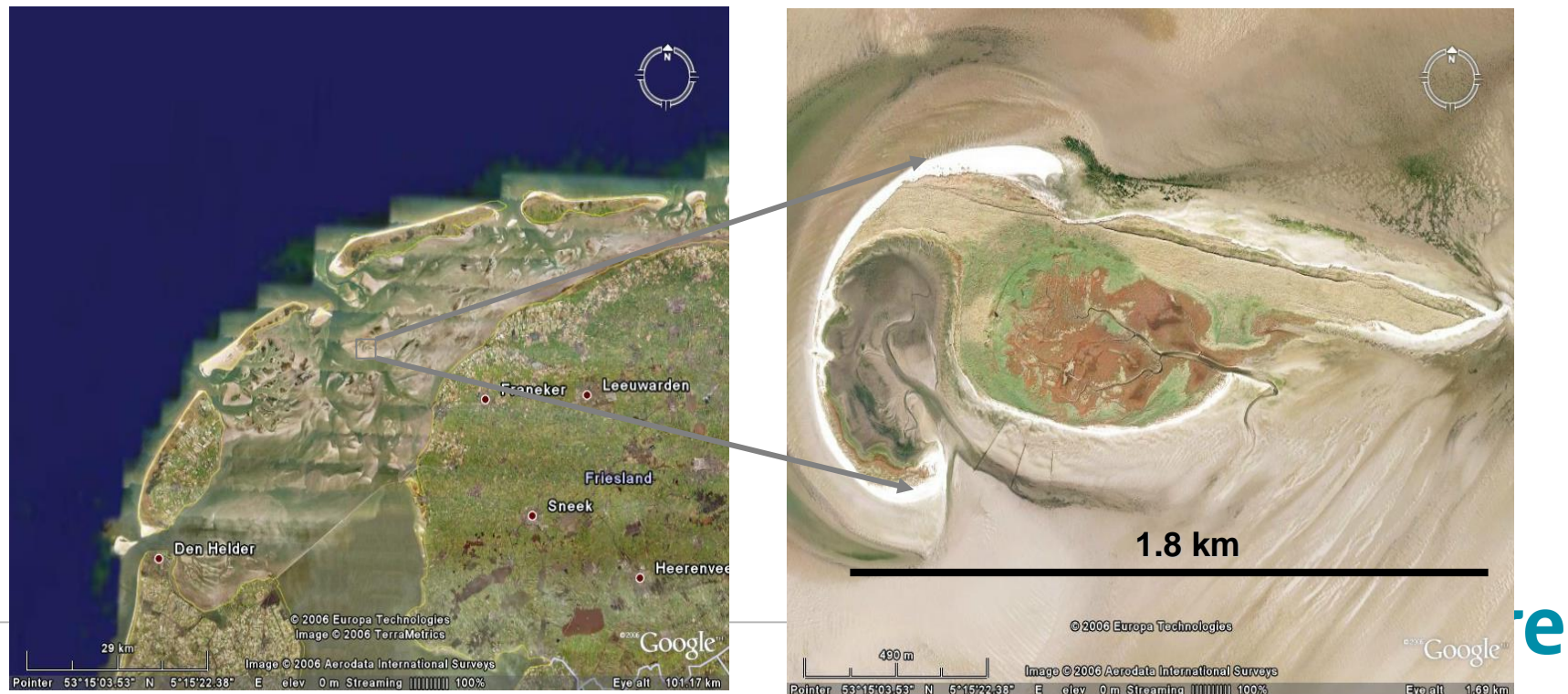
afhankelijk van:

- breedte duingebied
- neerslag
- doorlatendheid bodem

Griend



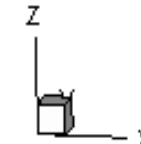
1. Het kleine eiland beweegt ~7.5m per jaar naar het oosten
2. Effect op de zoetwatervoorraad:
 - Kan er een zoetwater lens ontwikkelen?
 - Wat is de dikte van de lens?



Beweging van De Griend en de creatie van de lens

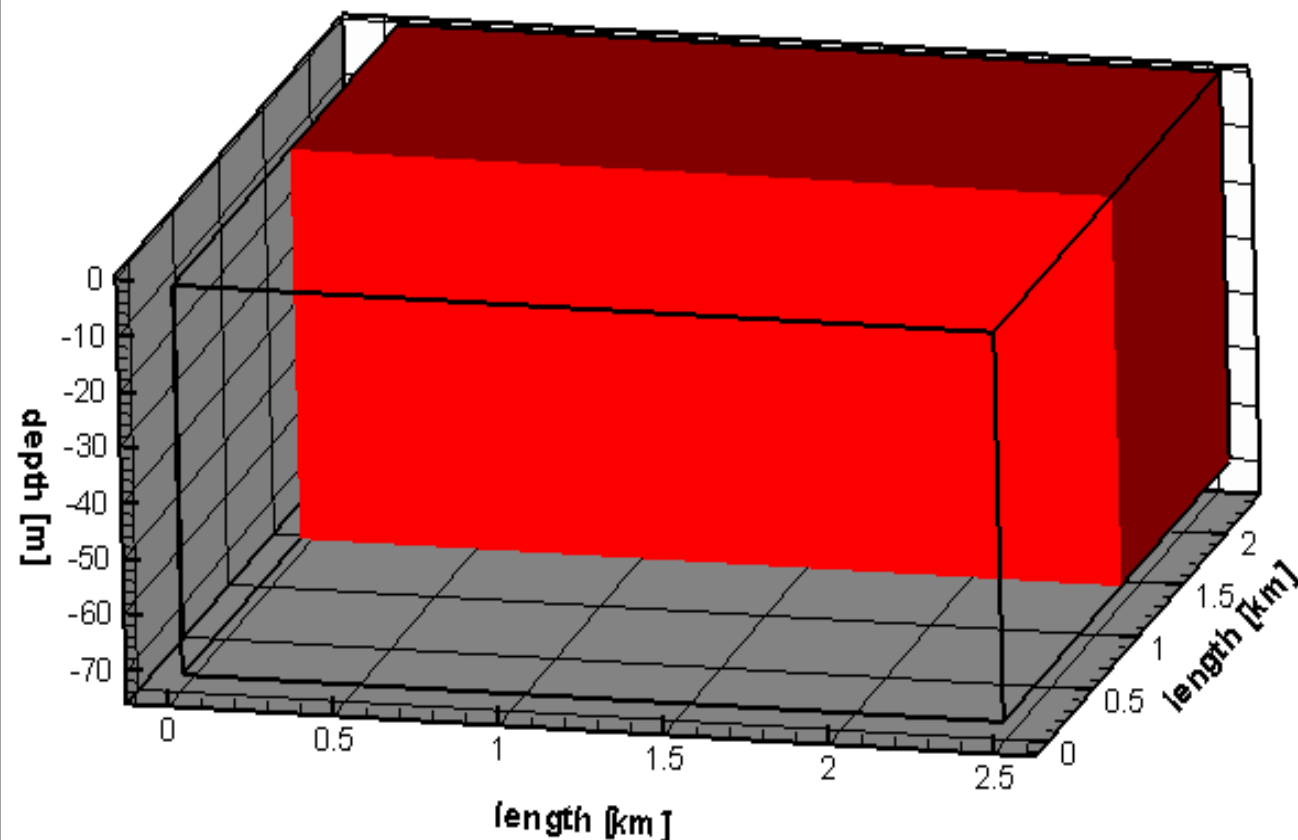


Movement of the island of Griend (Friesland) through the Waddenzee



7.5m/jaart to the east

Time= 0.00 yr



Concentration [TDS mg/l]



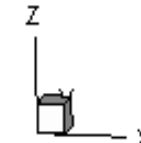
TNO-BO, GOE, '96

tares

Beweging van De Griend en de creatie van de lens

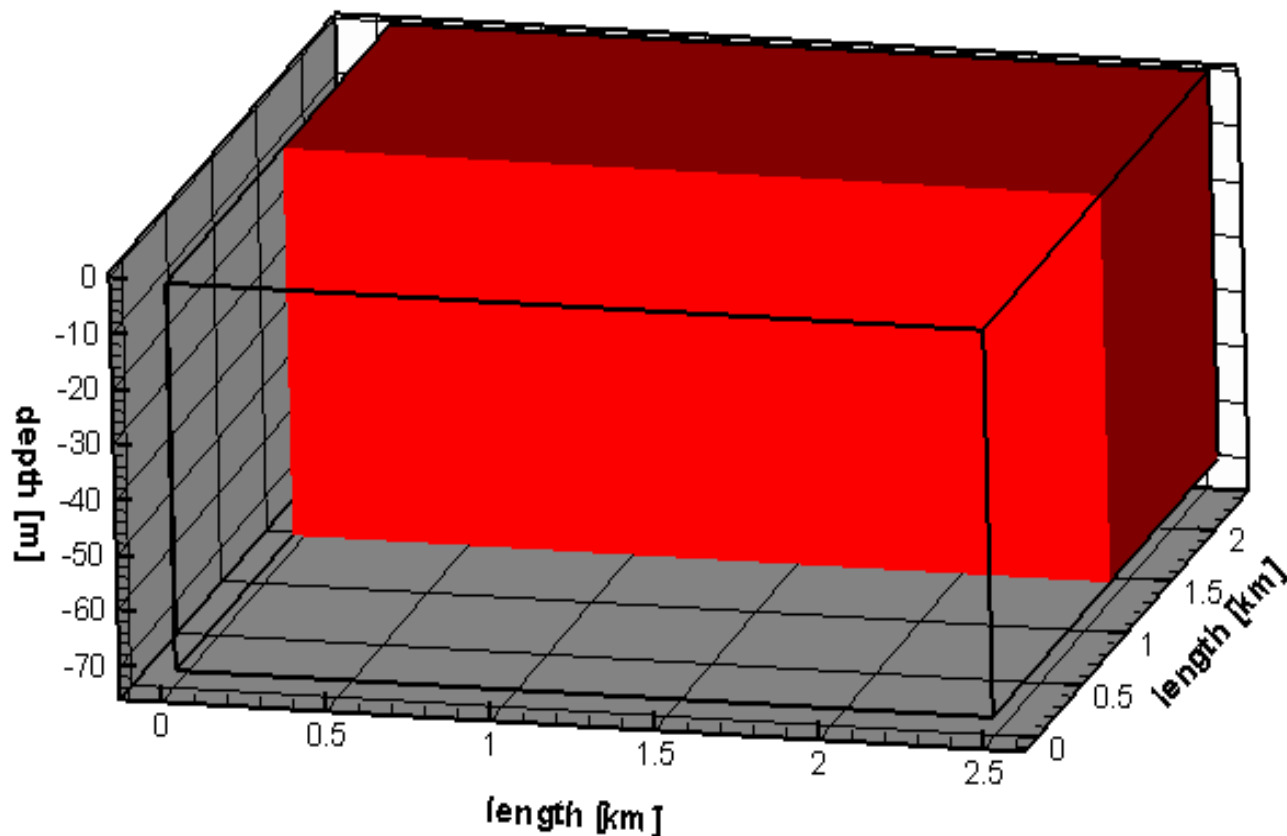


Movement of the island of Griend (Friesland) through the Waddenzee

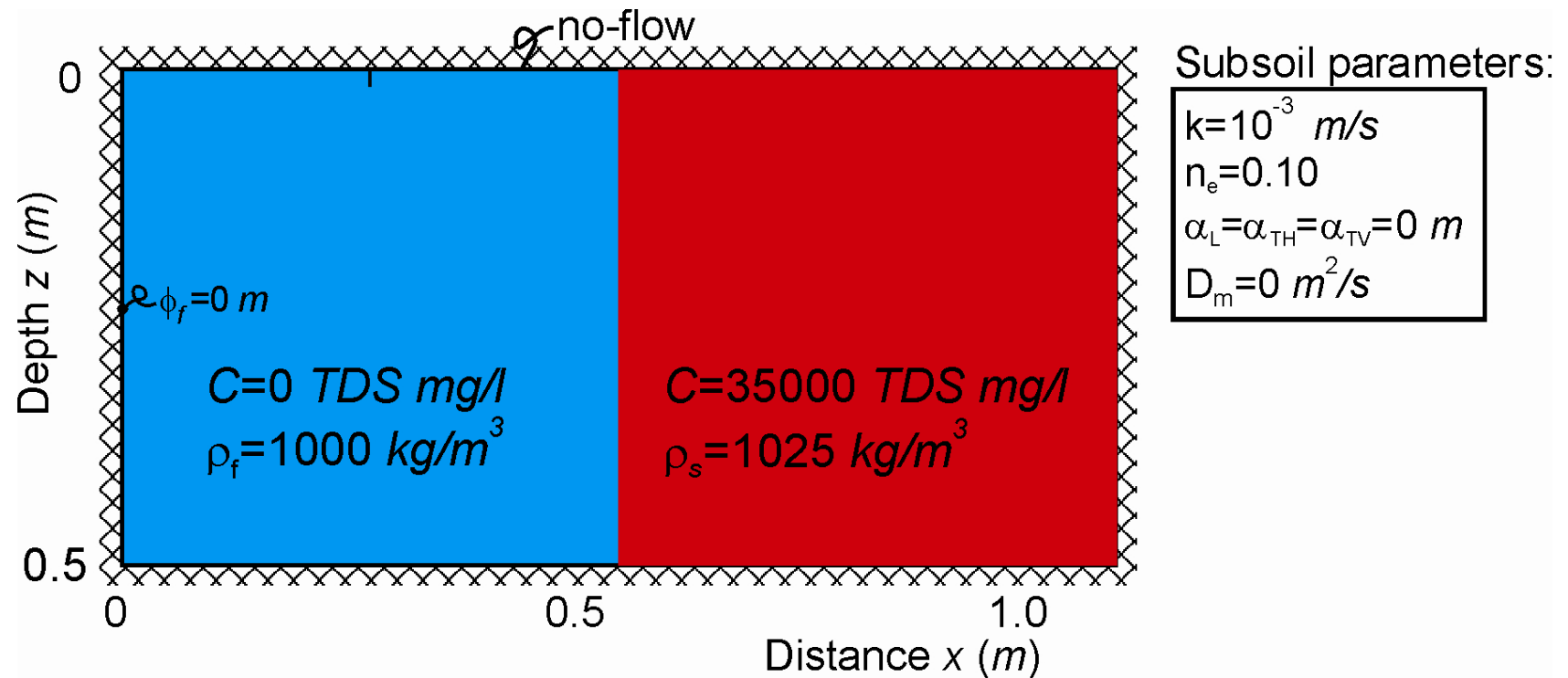


7.5 m/jaart to the east

Time= 0.00 yr



Vertical interface between fresh and saline groundwater



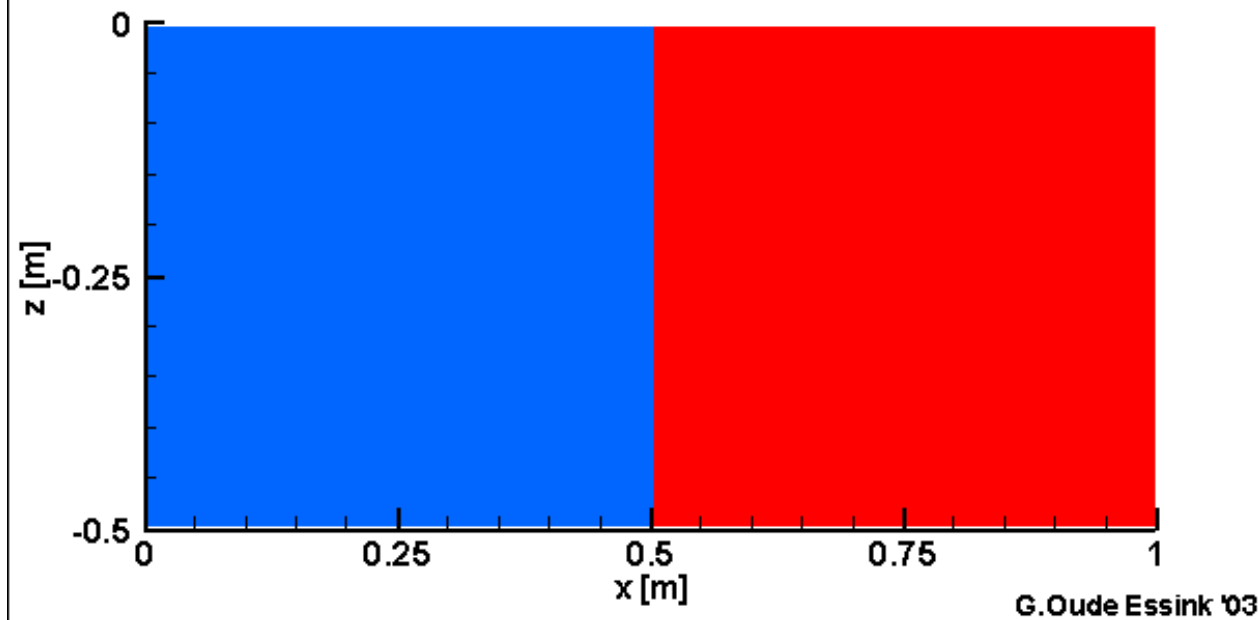
Dichtheidsafhankelijke grondwaterstroming



Fresh-saline vertical interface

160*80 cells

Time= 0 min



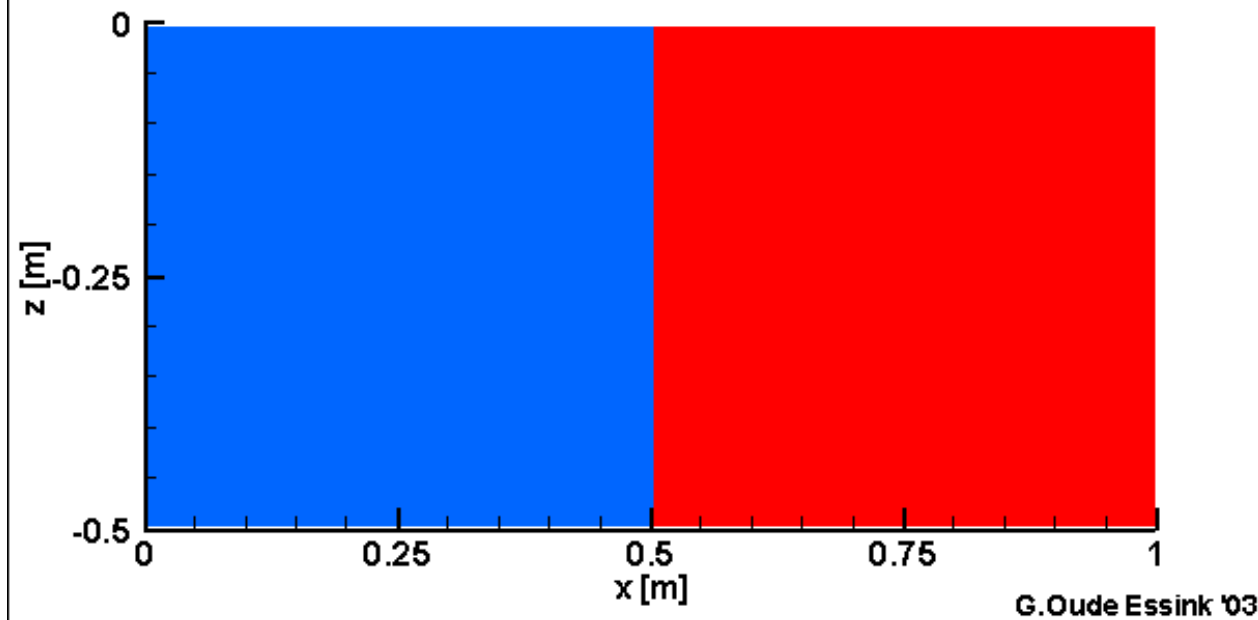
Dichtheidsafhankelijke grondwaterstroming



Fresh-saline vertical interface

160*80 cells

Time= 0 min



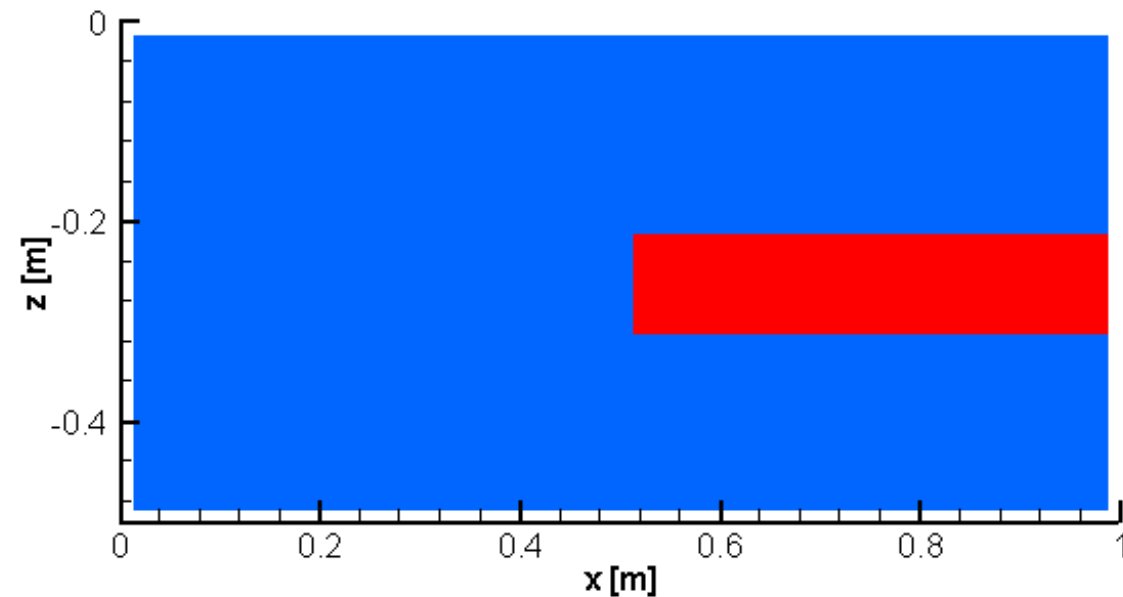
Dichtheidsafhankelijke grondwaterstroming



Saline pocket in fresh groundwater: fingering process

40*20 cells

Time= 0 min



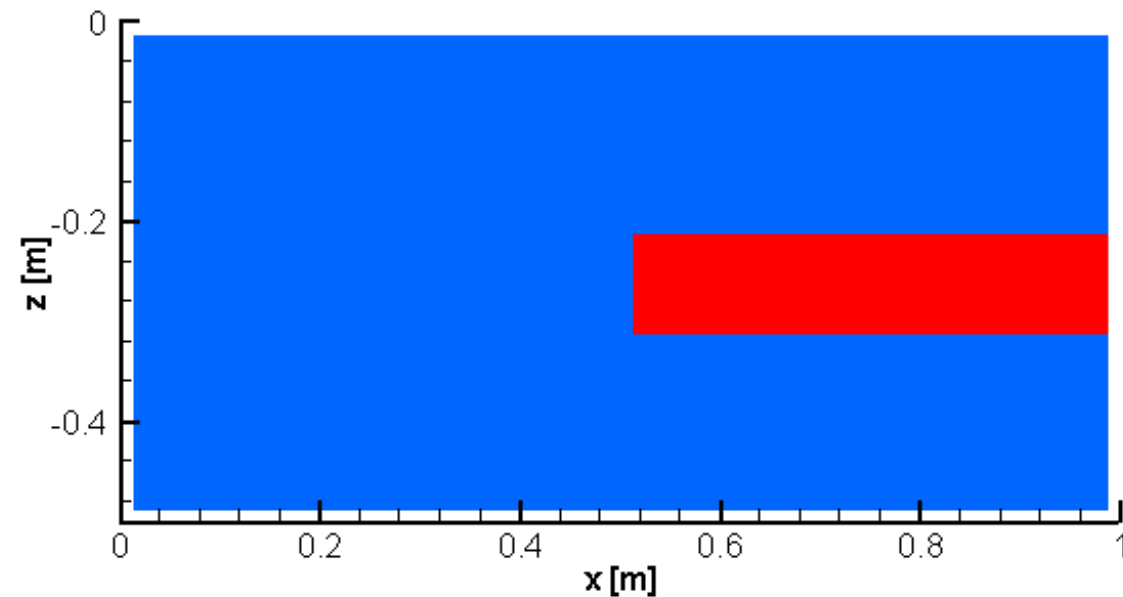
Dichtheidsafhankelijke grondwaterstroming



Saline pocket in fresh groundwater: fingering process

40*20 cells

Time= 0 min

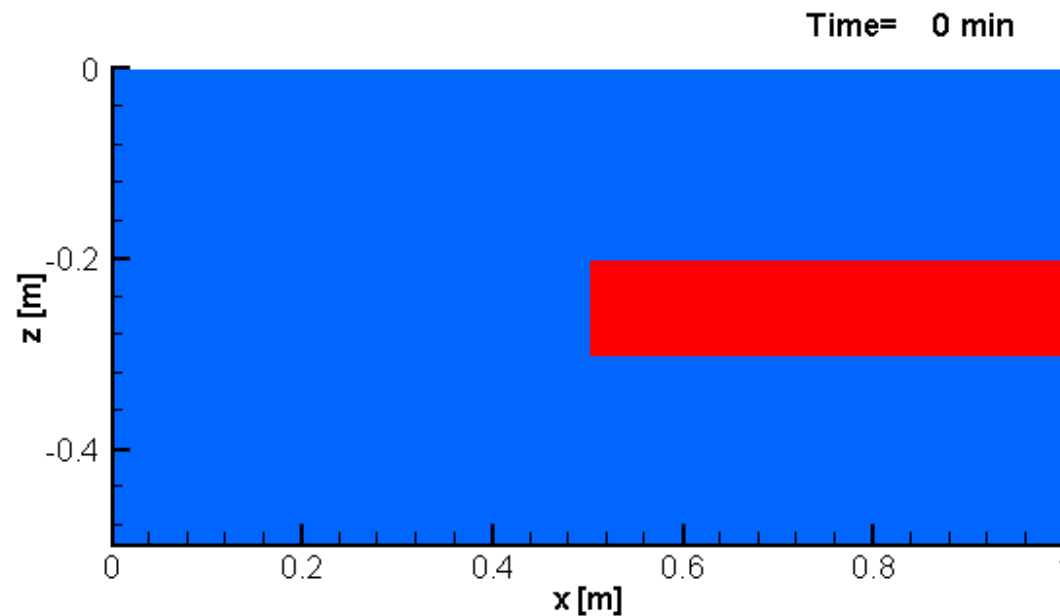


Dichtheidsafhankelijke grondwaterstroming



Saline pocket in fresh groundwater: fingering process

320*160 cells

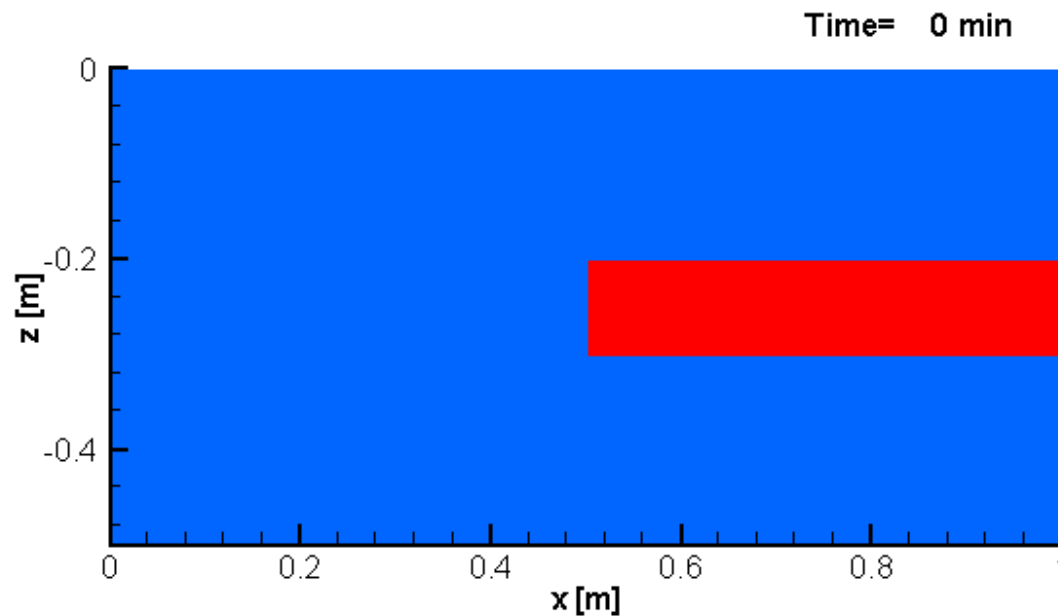


Dichtheidsafhankelijke grondwaterstroming



Saline pocket in fresh groundwater: fingering process

320*160 cells

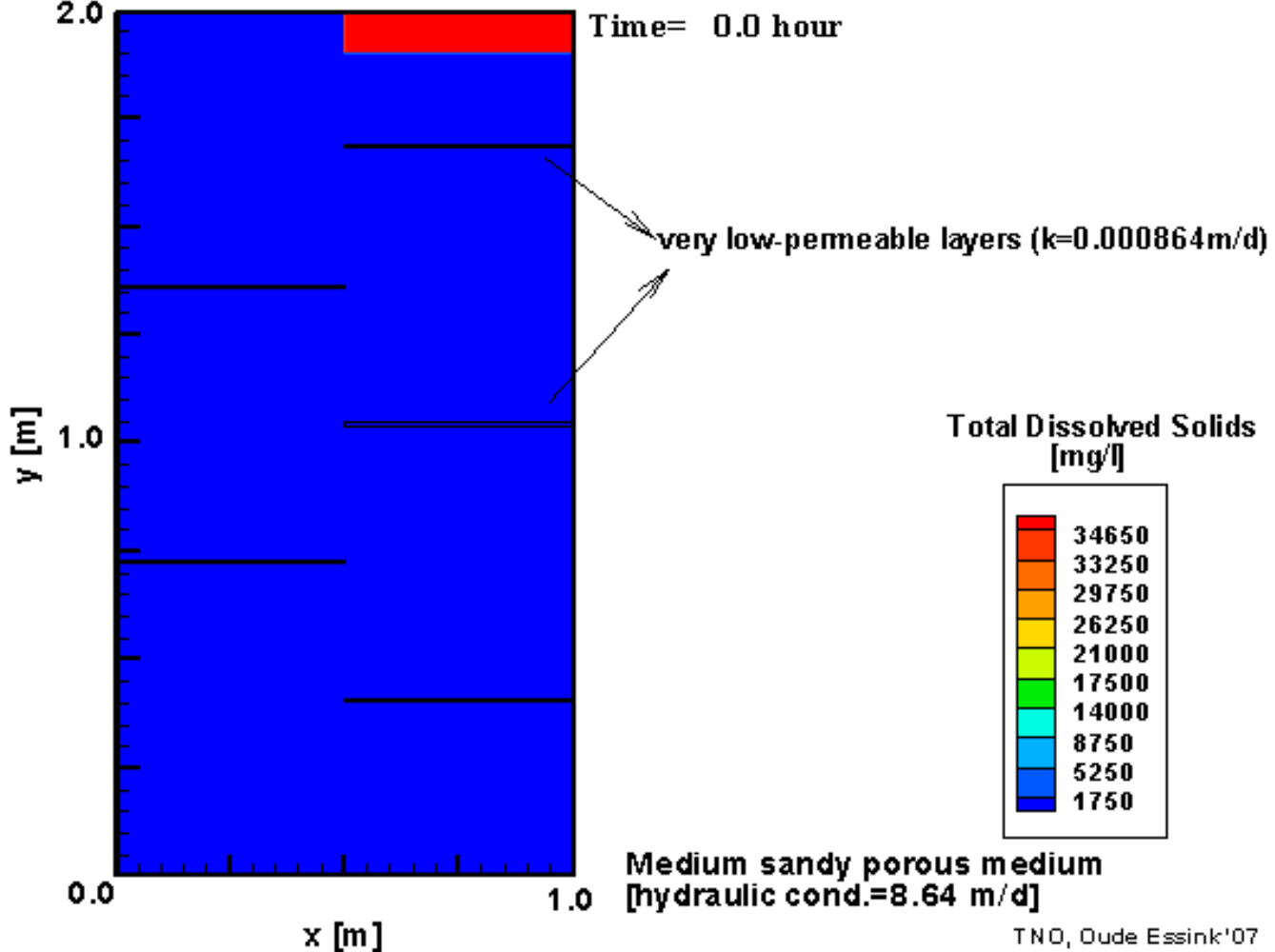


Fingering processen in de ondergrond



Saltwater pocket in a fresh environment: fingering process

$\Delta t=40 \text{ sec}$

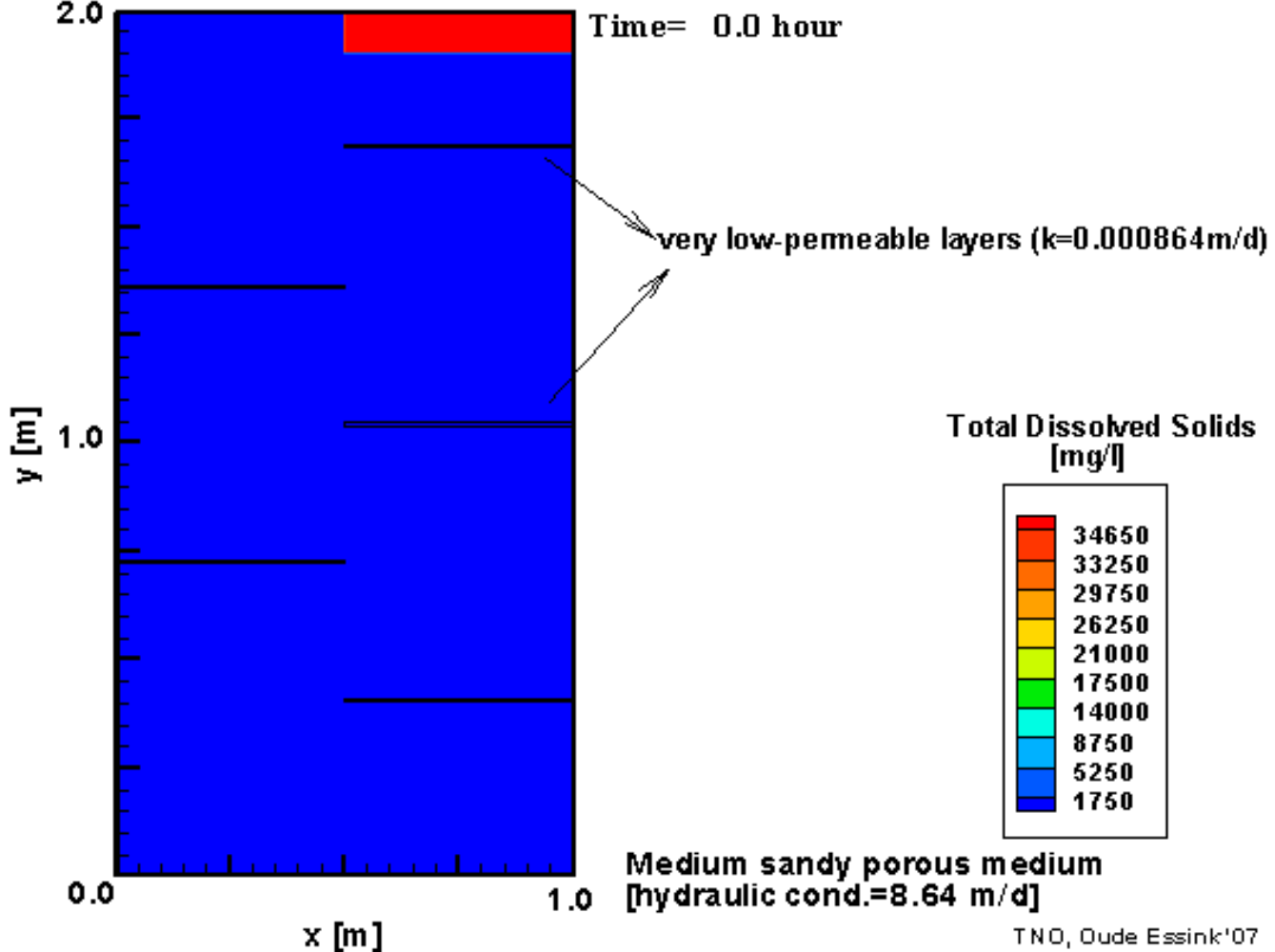


Fingering processen in de ondergrond



Saltwater pocket in a fresh environment: fingering process

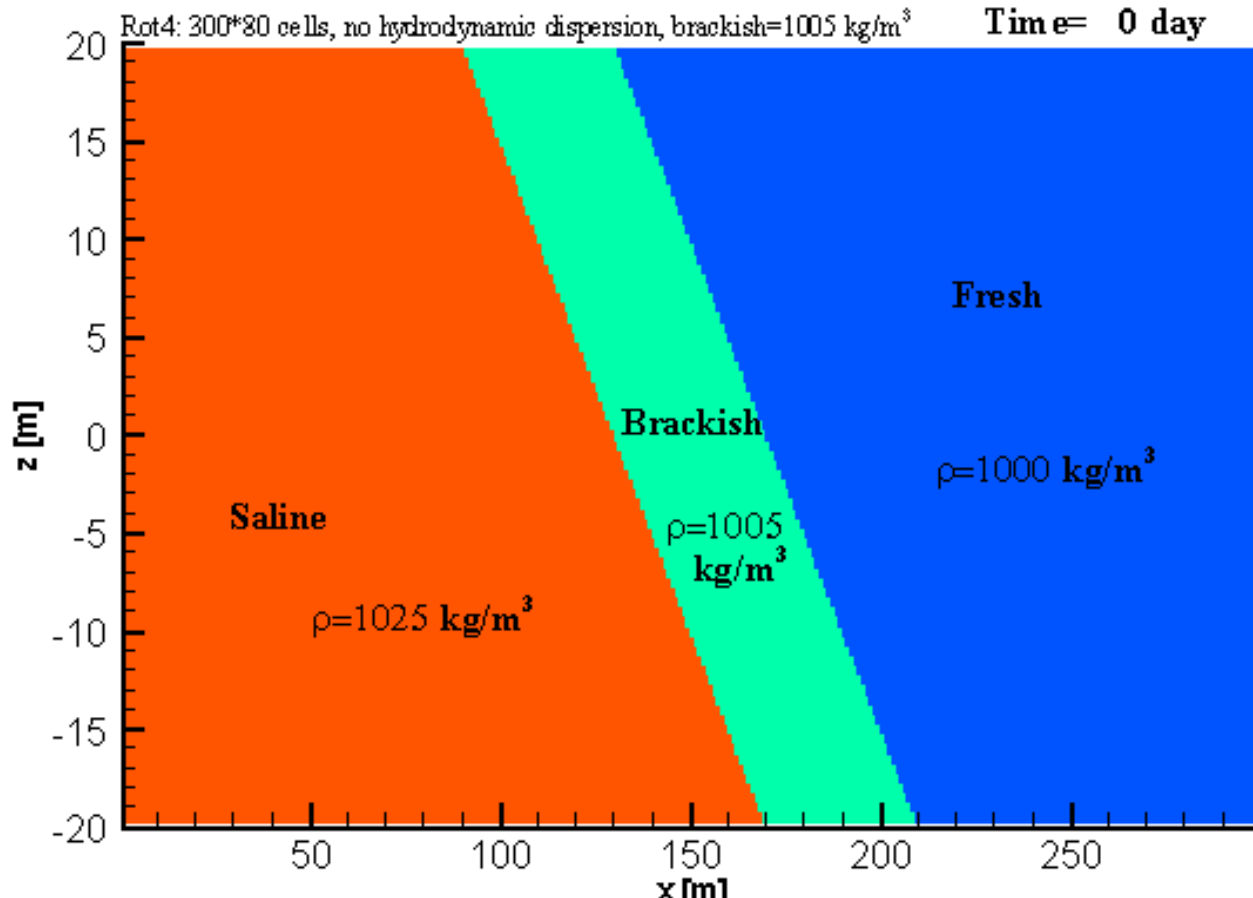
$\Delta t=40 \text{ sec}$



Roterend asymmetrisch scherp grensvlak



Rotating movement of three immiscible fluids (asymmetric case)



J. Hydrology, 2004
nr. 287, pp. 270-278

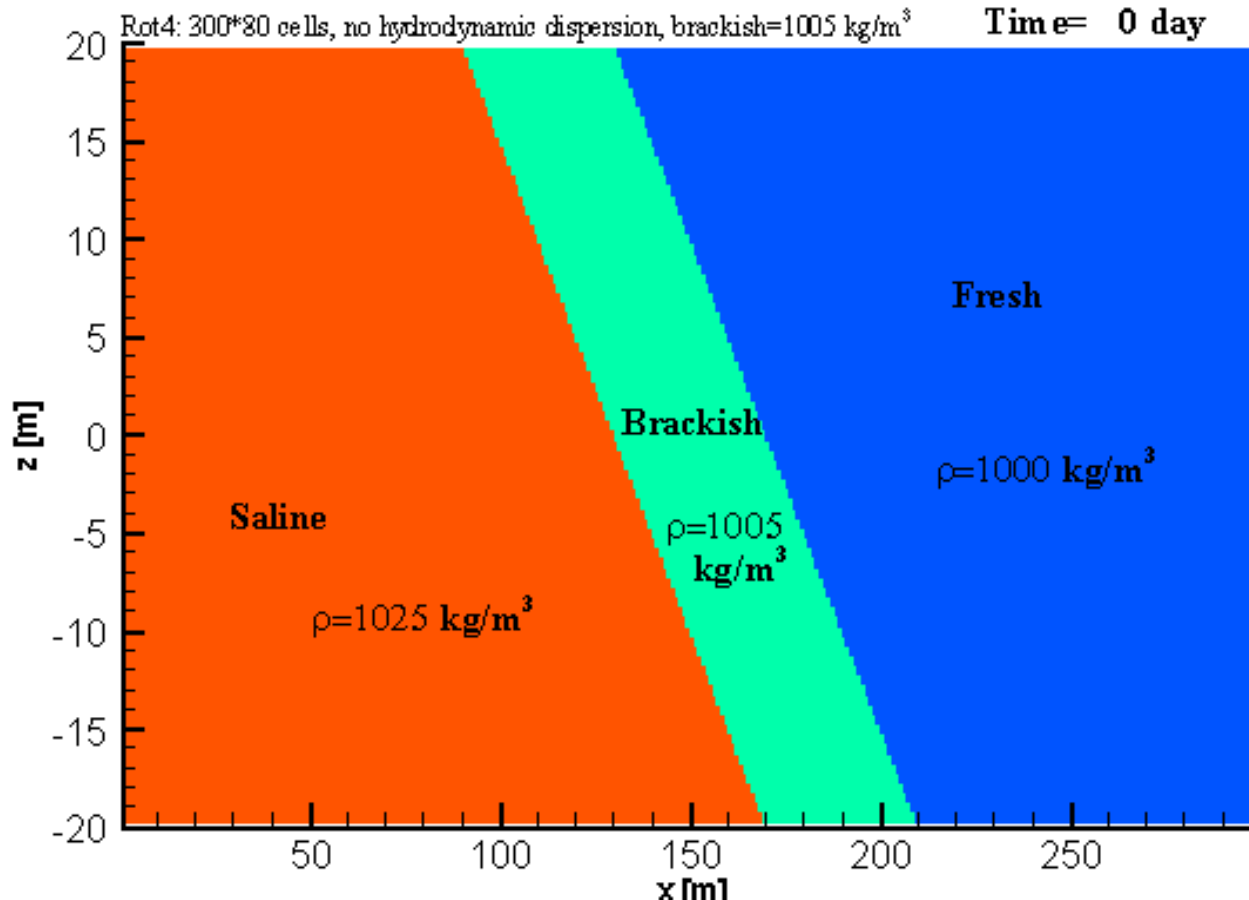
Deltares

GOE

Roterend asymmetrisch scherp grensvlak



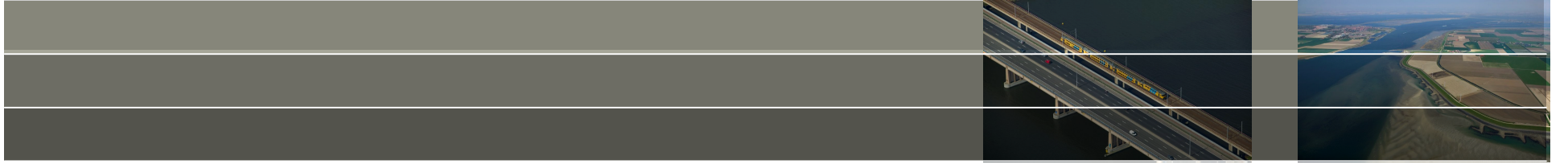
Rotating movement of three immiscible fluids (asymmetric case)



J. Hydrology, 2004
nr. 287, pp. 270-278

Deltares

GOE

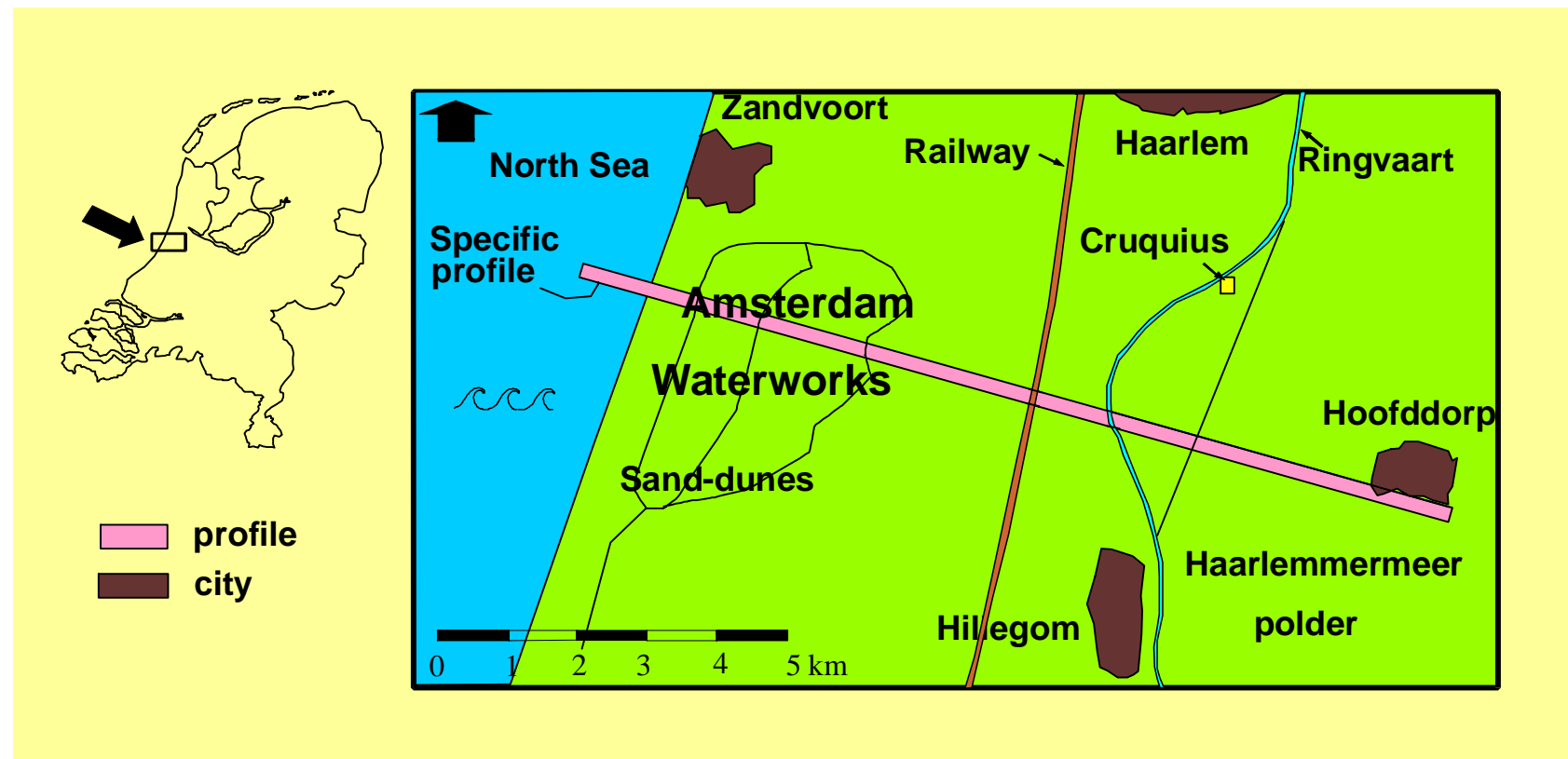


Mijn eerste zoet-zout model



Zoutwaterintrusie in een typisch Hollands profiel

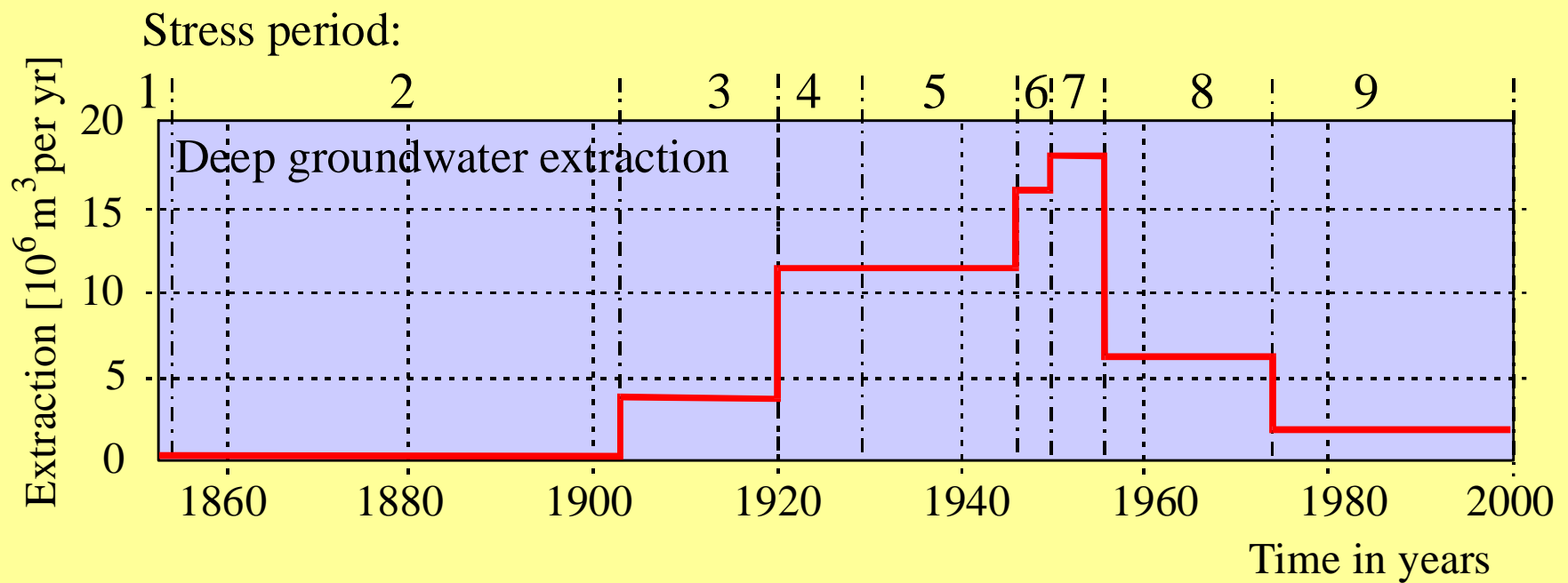
Positie profiel Duingebied Waternet, Rijnland polders
en Haarlemmermeer polder



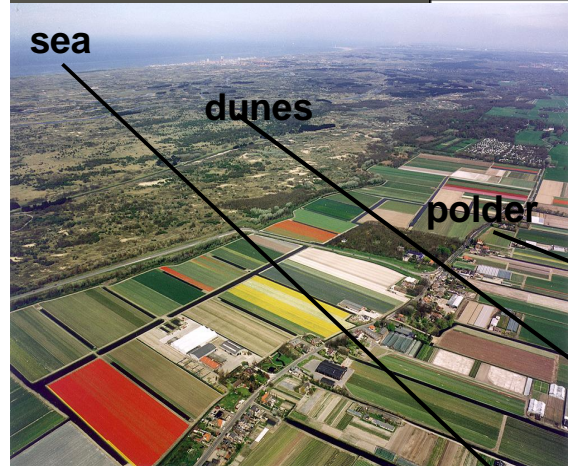
Zoutwaterintrusie in een typisch Hollands profiel



Grondwater onttrekkingen uit het middelste watervoerend pakket uit het duingebied Waternet



Zoutwater intrusie in het Nederlandse kustgebied

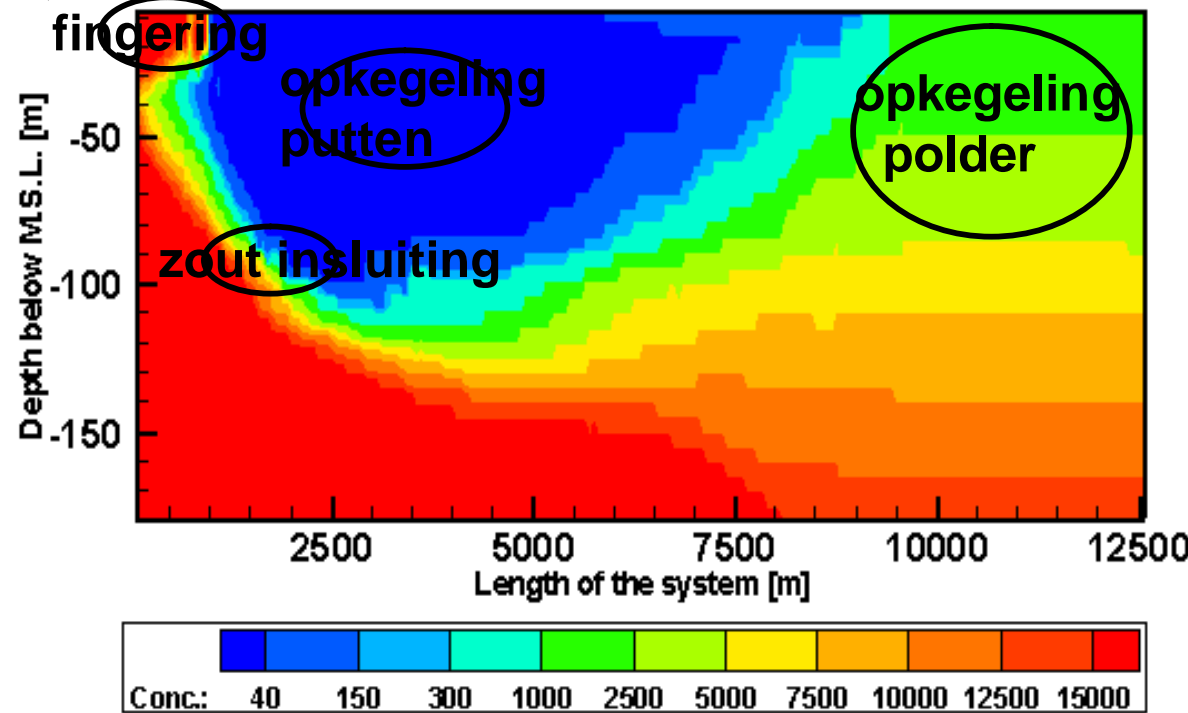


Salinisation of the groundwater flow system

caused due to groundwater extractions and lowering of the ground surface of the Haarlemmermeer polder

Profile Amsterdam Waterworks-Haarlemmermeerpolder

Time= 1854 AD



Zoutwater intrusie in het Nederlandse kustgebied

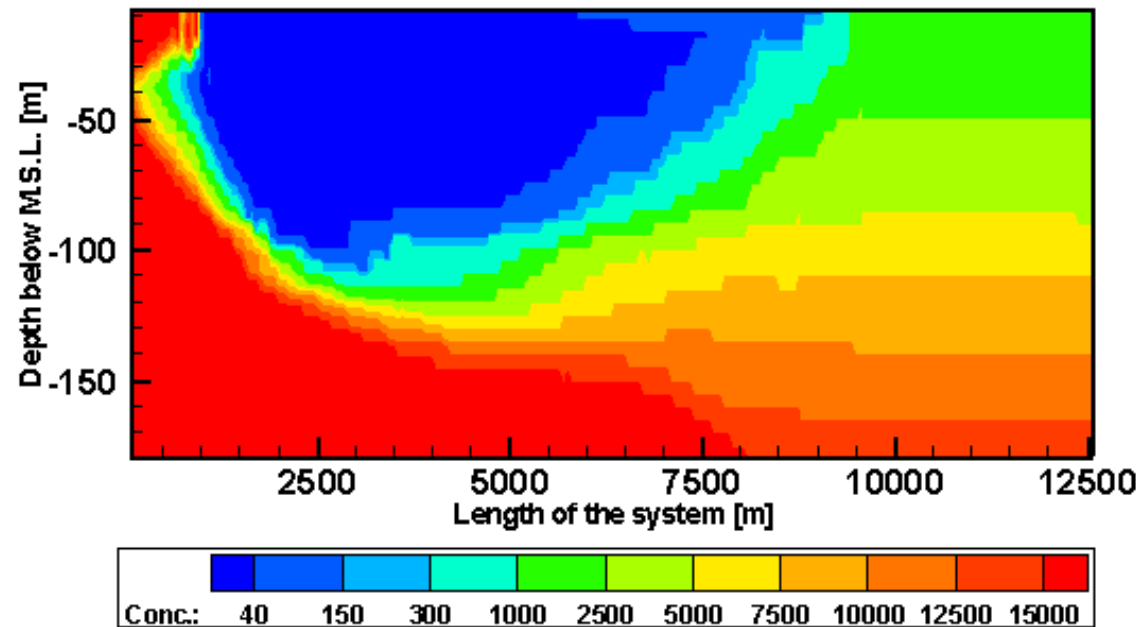


Salinisation of the groundwater flow system

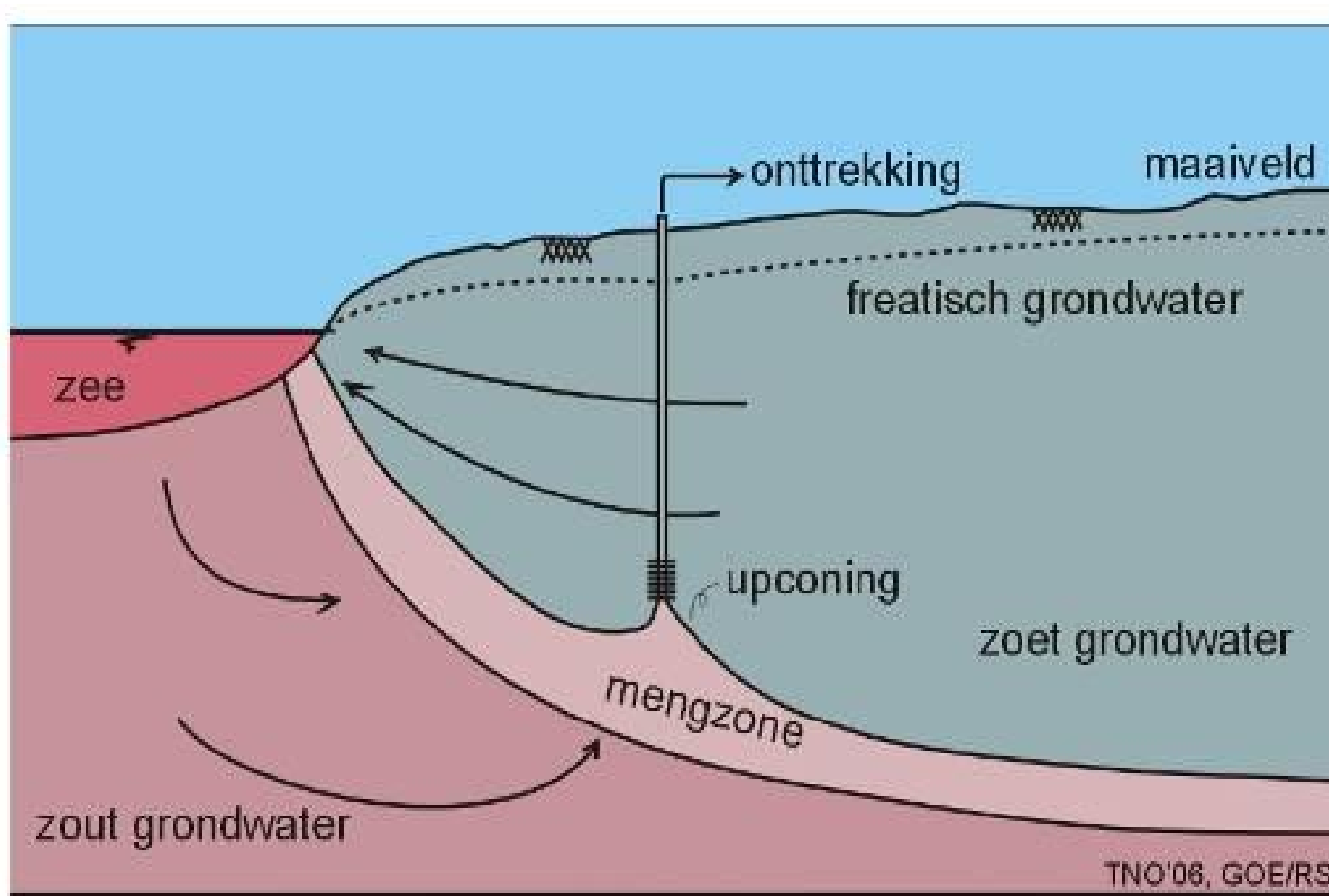
caused due to groundwater extractions and lowering
of the ground surface of the Haarlemmermeer polder

Profile Amsterdam Waterworks-Haarlemmermeer polder

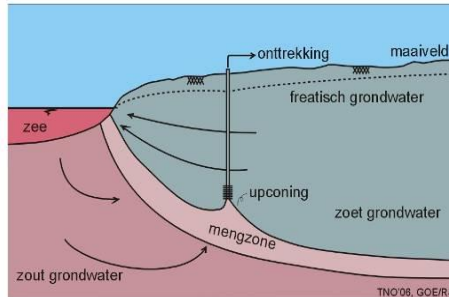
Time= 1854 AD



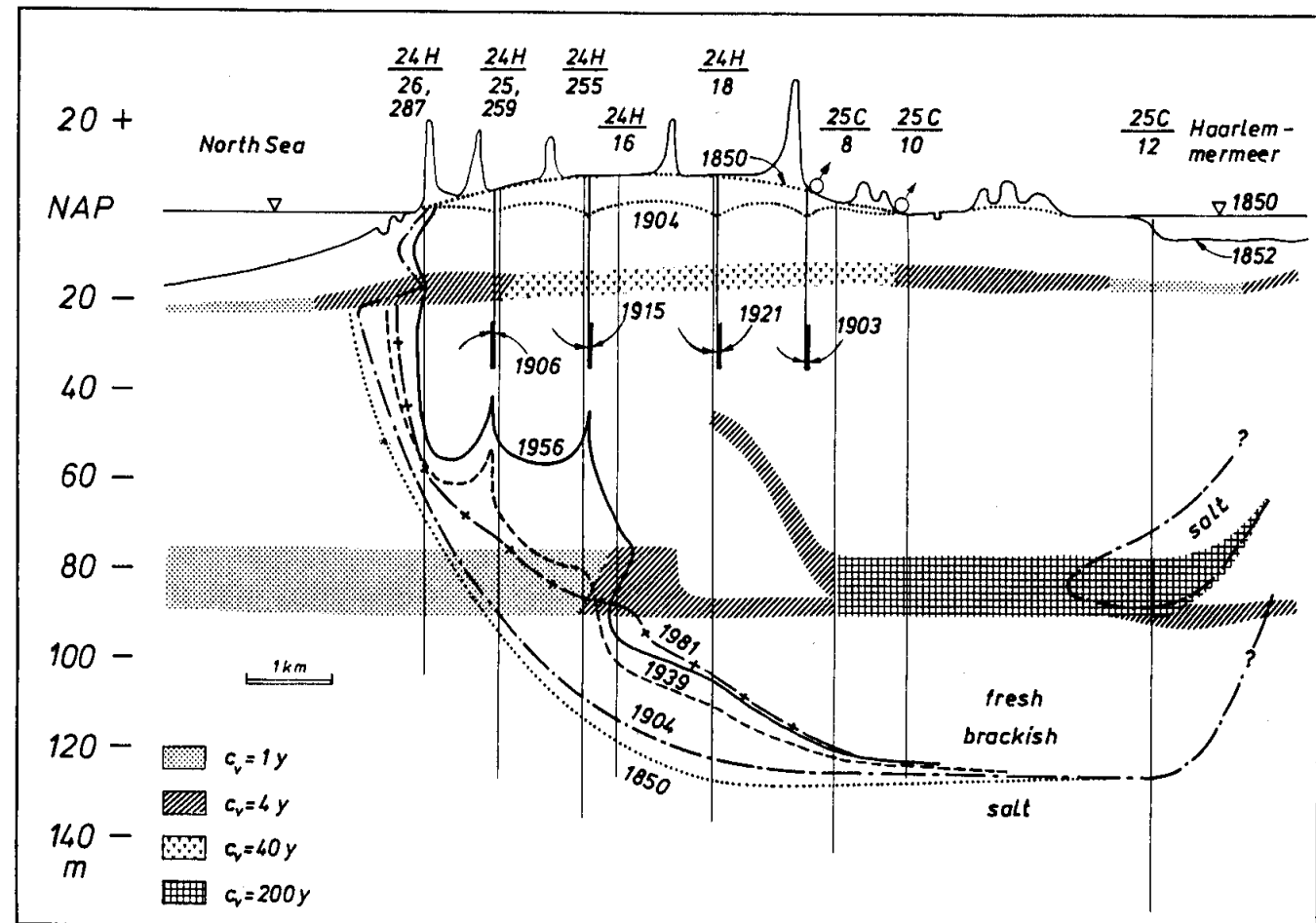
Opkegeling van brak-zout grondwater, voorbeeld



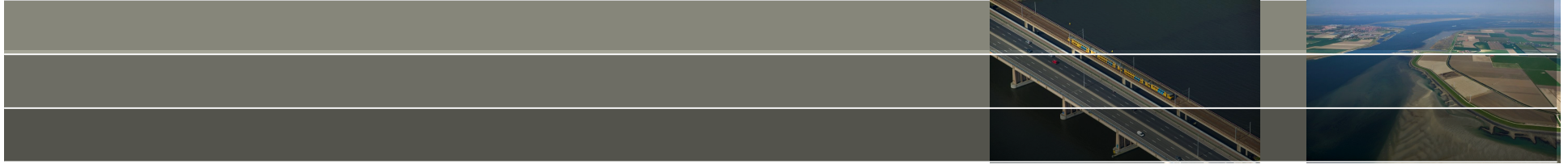
Opkegeling van brak-zout grondwater, voorbeeld



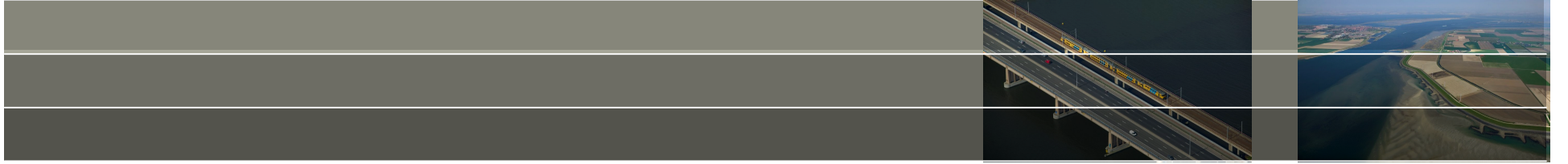
Zandvoort -
Haarlemmermeer



Stuyfzand, '93

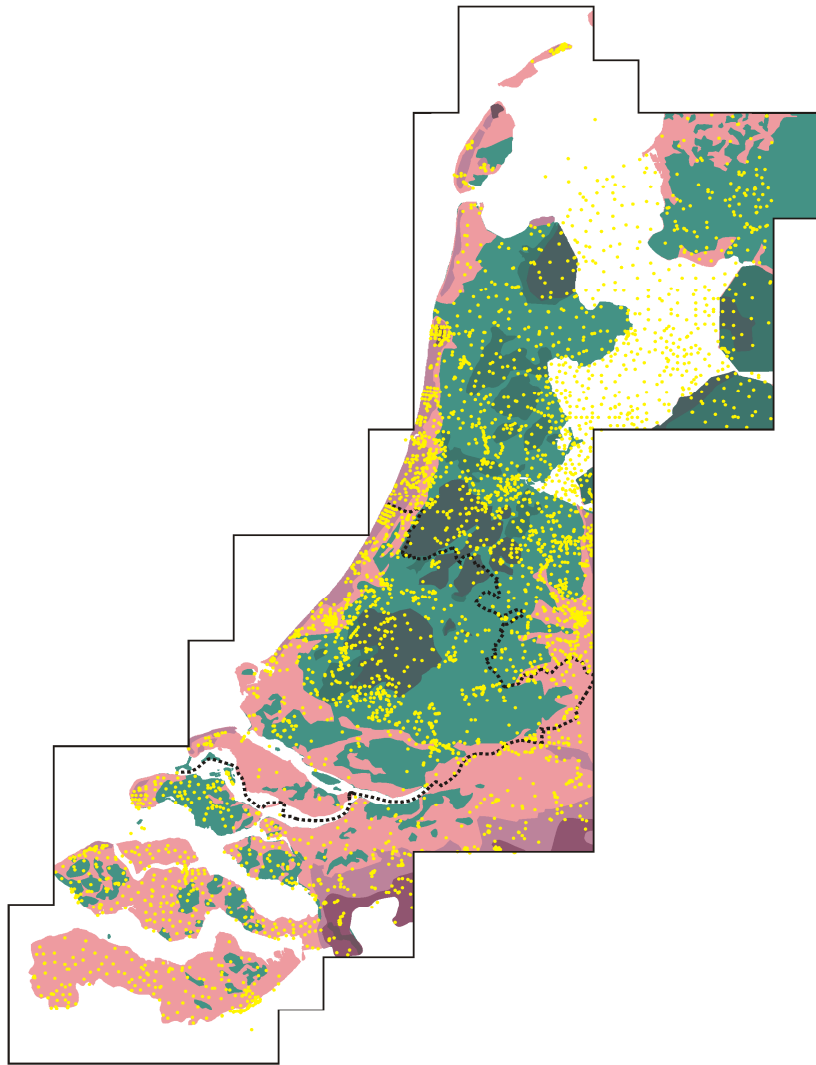


Grondwateronttrekkingen in het kustgebied veroorzaken opkegeling van brak-zout grondwater



Initiele zoet-zout verdeling

Database kustgebied: positie Cl--observatie filters



Data: DINO-Qua

- 17500 Chloride-metingen

• Diepte (m)	Aantal
mv- -5	4135
-5 -10	1095
-10 -25	5287
-25 -50	3678
-50 -75	1438
-75 -100	760
-100 -200	982
-200 -300	110
> -300	16

- Maximaal 64 metingen in 1 put

- Langste tijdreeks in 1 filter: 72 jaar

- Eerste meting op 2 jan 1853

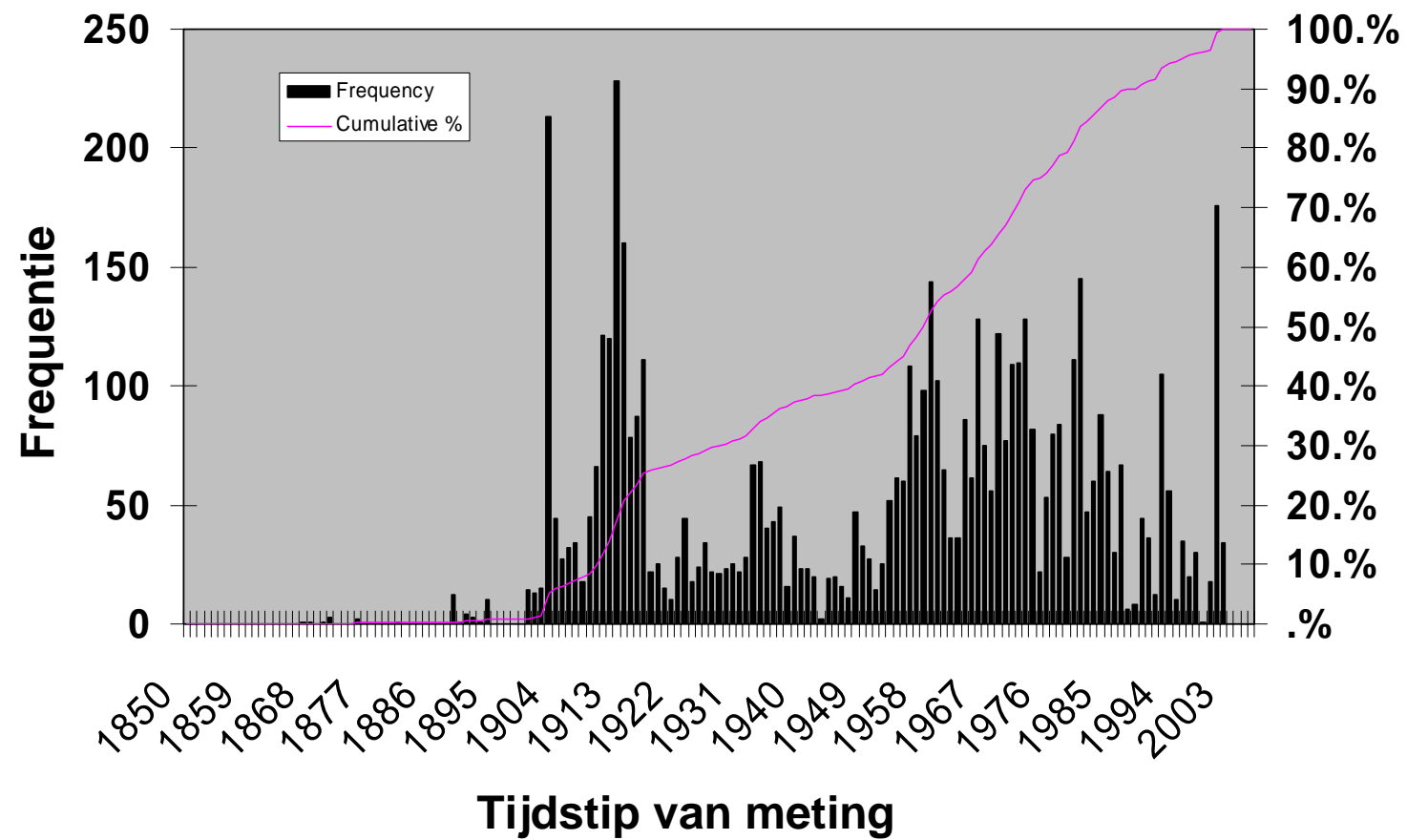
- Aantal tijdreeksen

(minimaal twee metingen in een filter)
2126 (gehele gebied)

Chloride concentraties in Zuid-Holland: ~6000 metingen



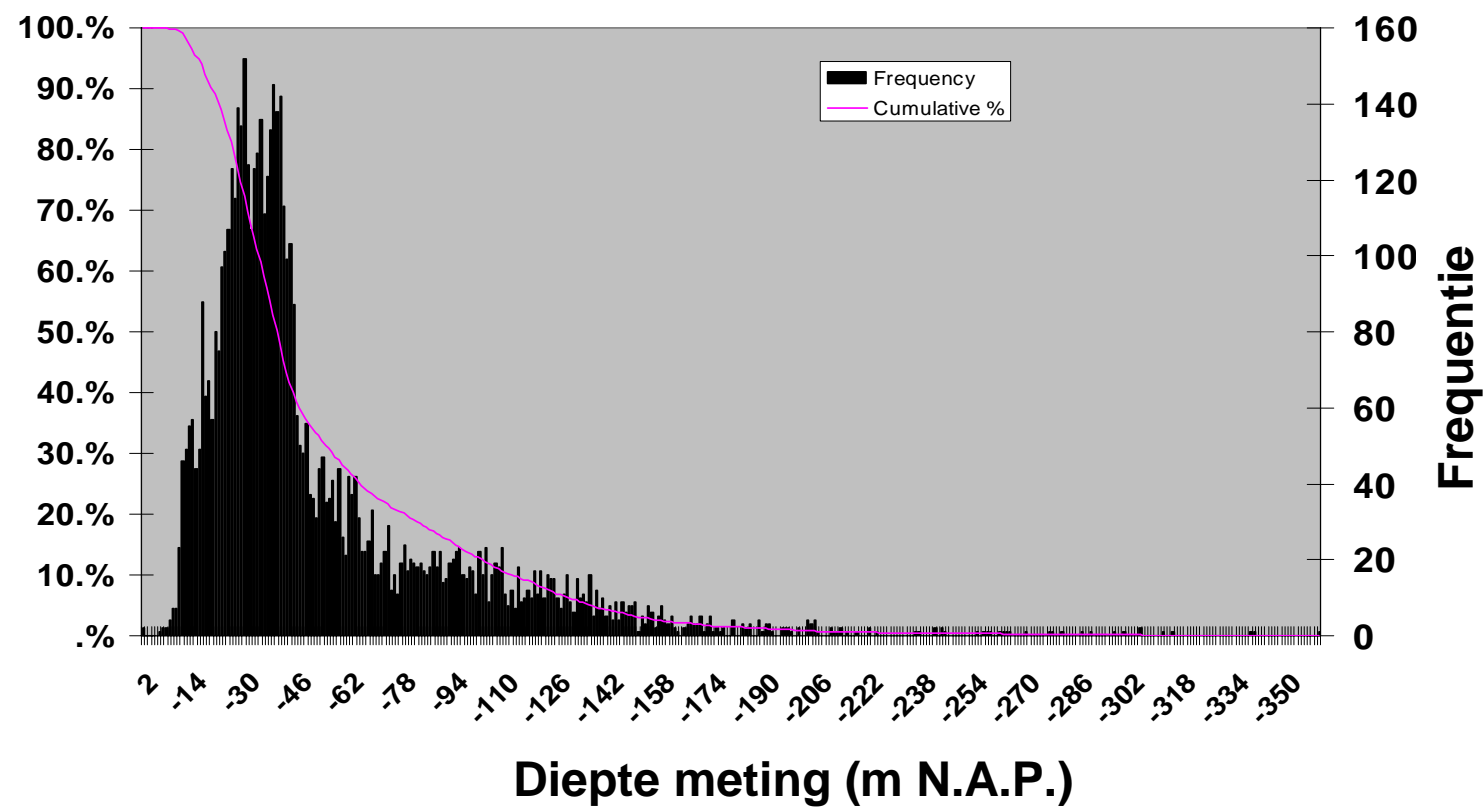
Histogram



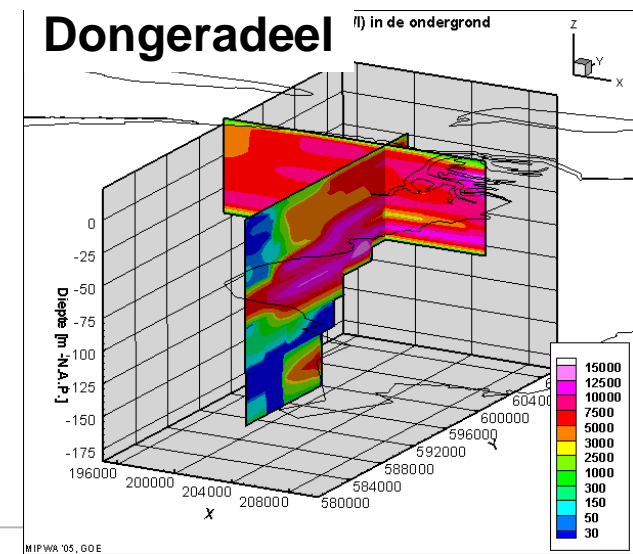
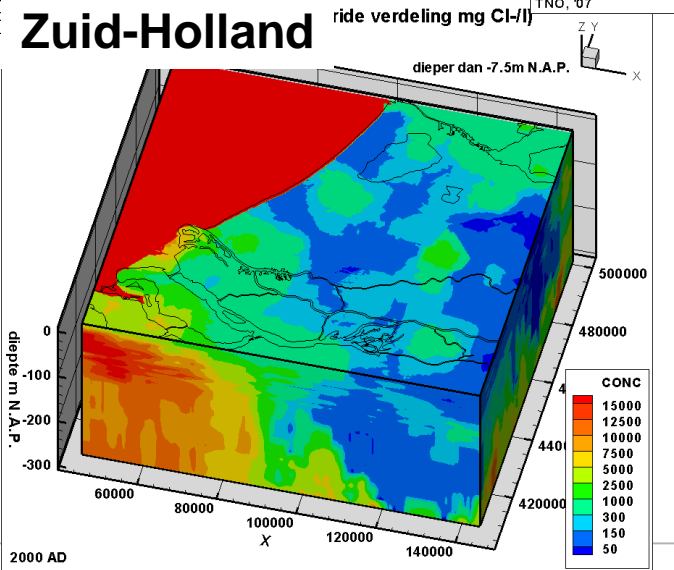
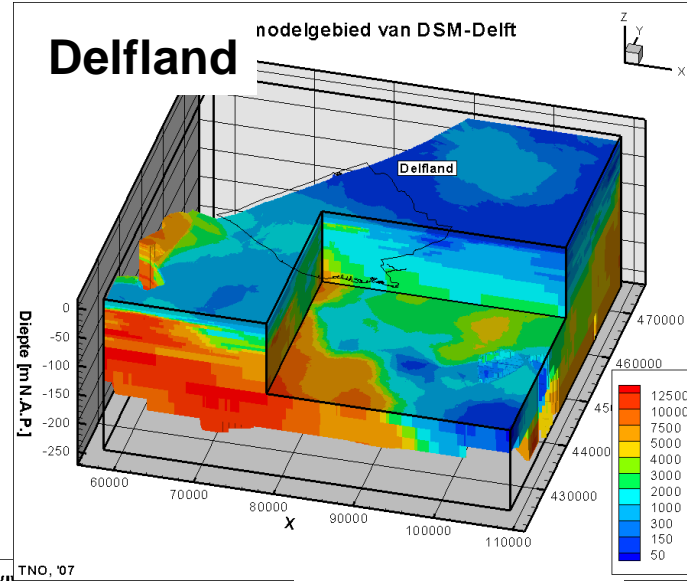
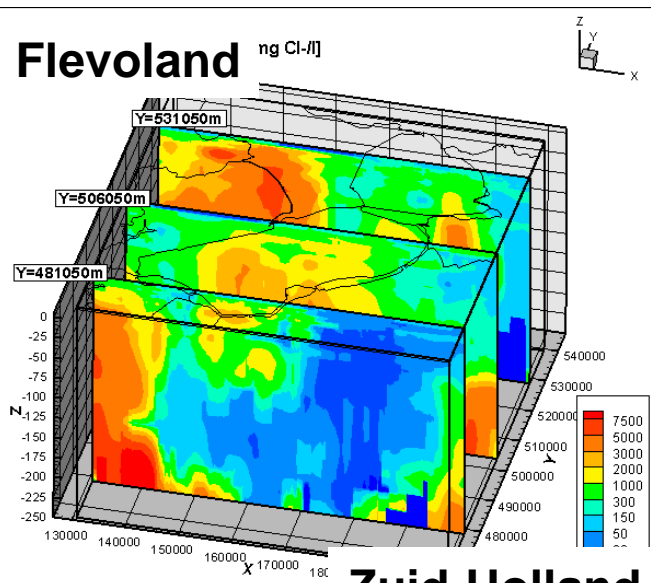
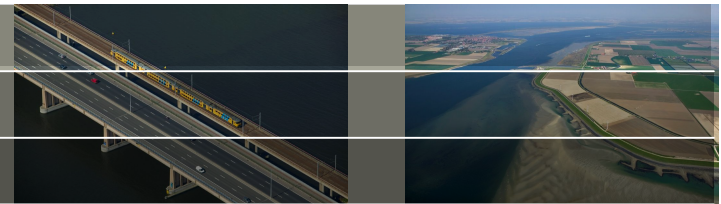
Chloride concentraties in Zuid-Holland : ~6000 metingen



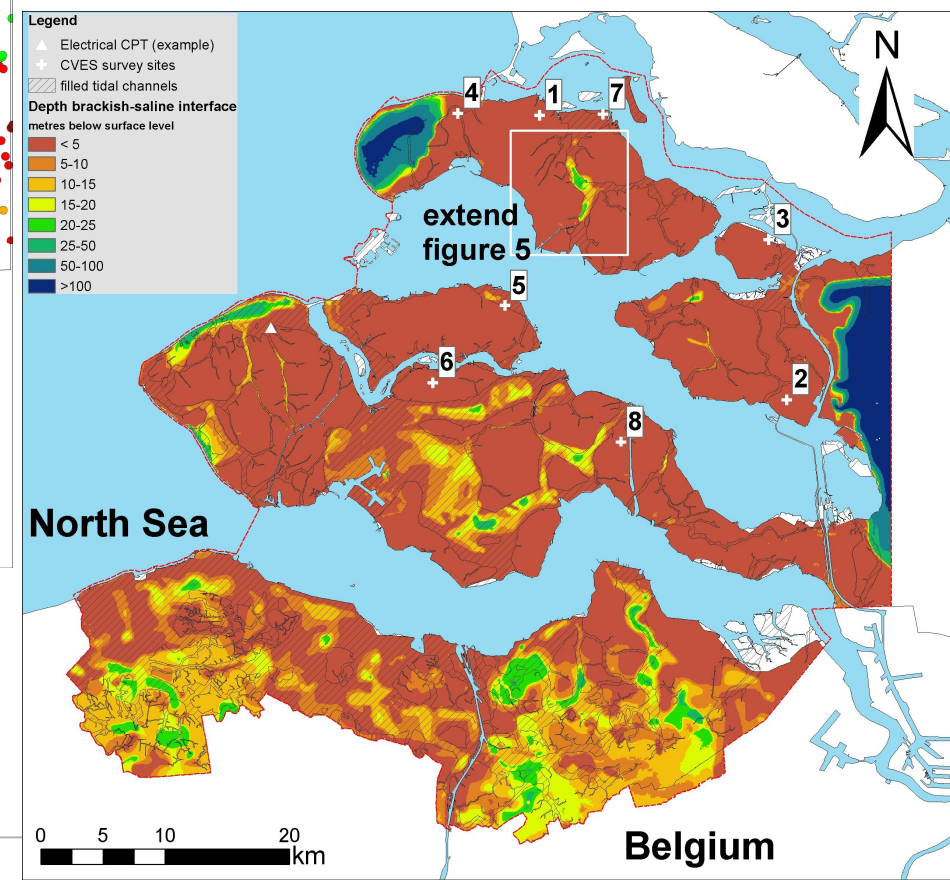
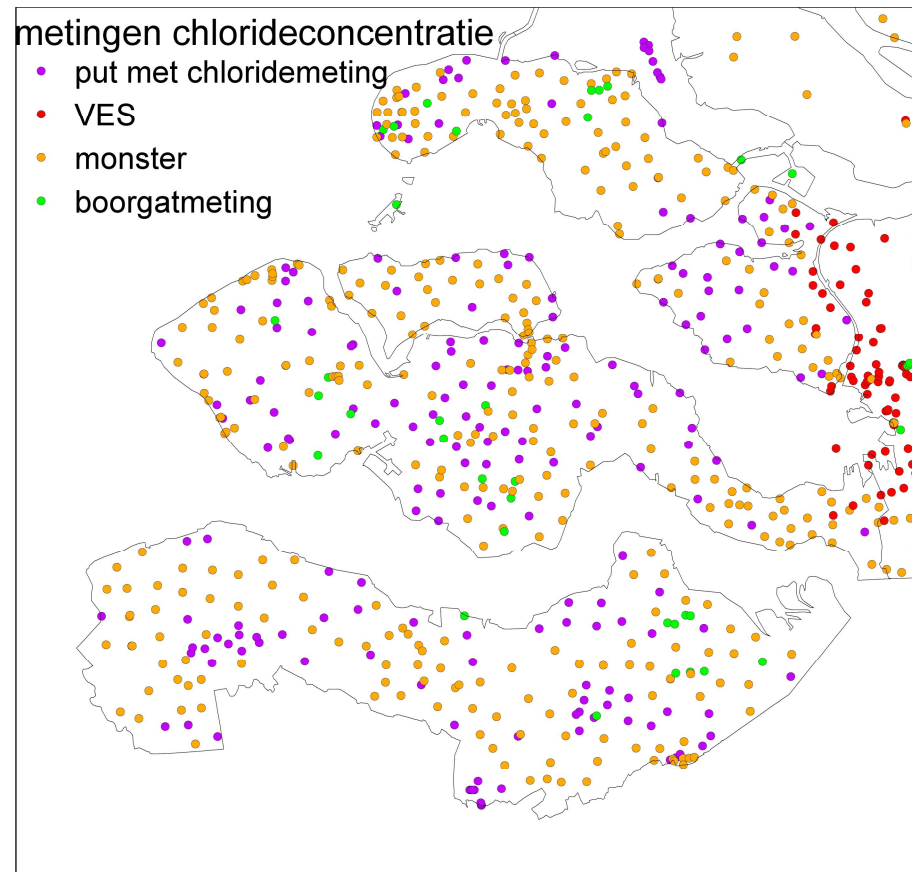
Histogram

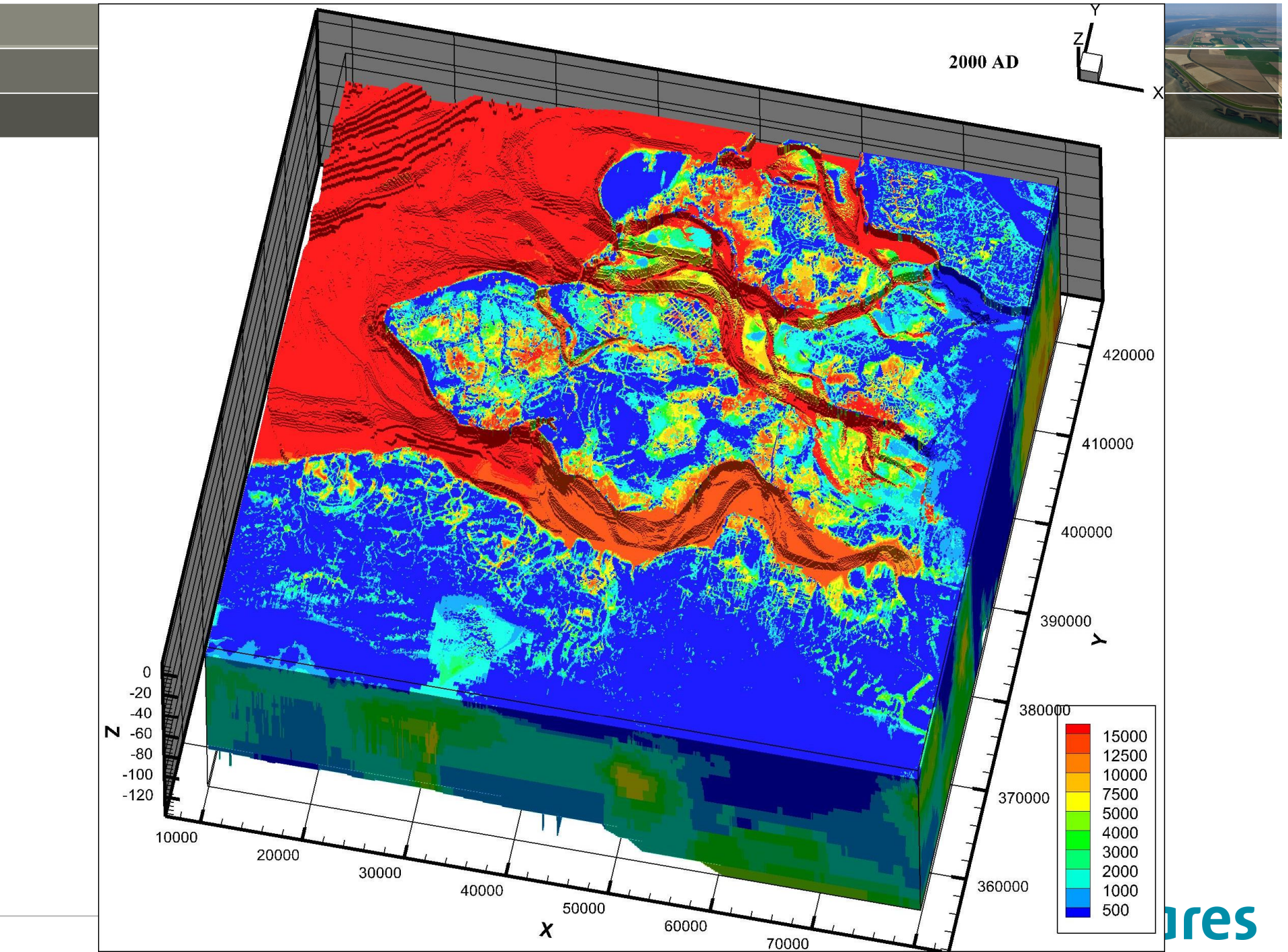


Enkele regionale studies



28 juni 2011





ores

Modelling effect climate change on fresh-salt groundwater



Modelling:

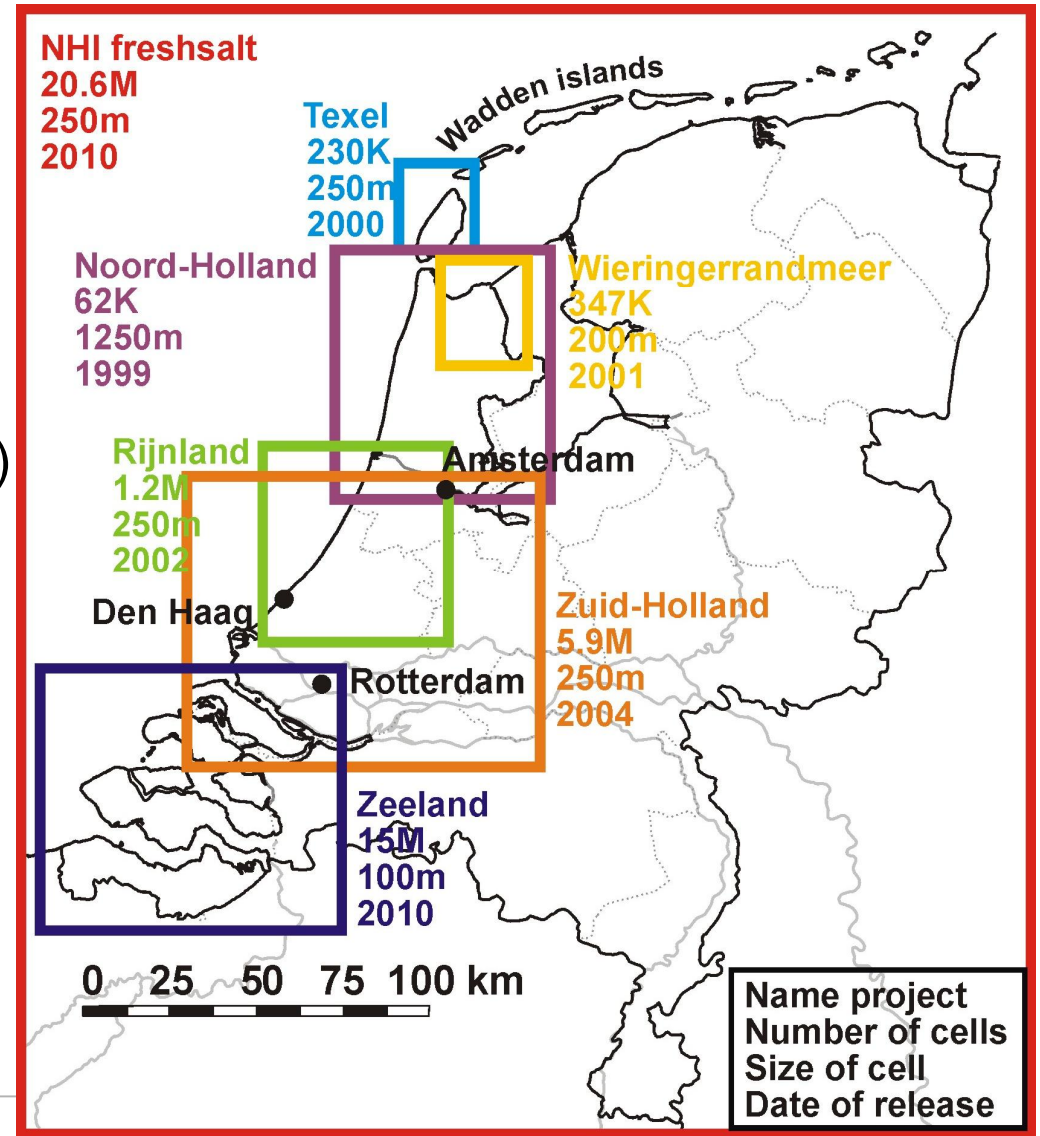
- variable-density
- 3D, non-steady
- groundwater flow
- coupled solute transport

Code:

MOCDENS3D (MODFLOW family)
similar to SEAWAT

Assessing effects:

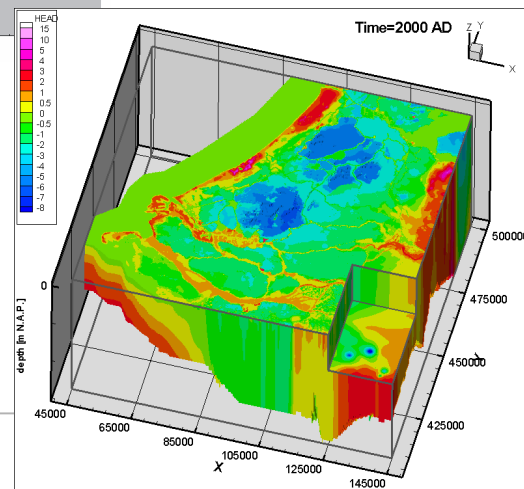
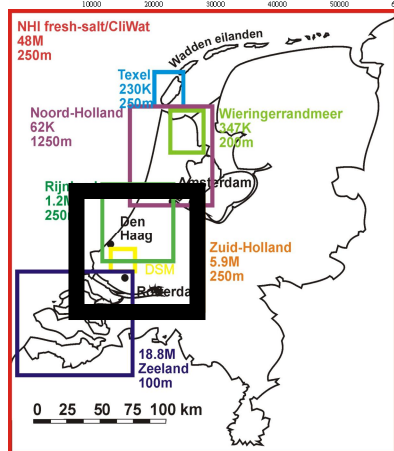
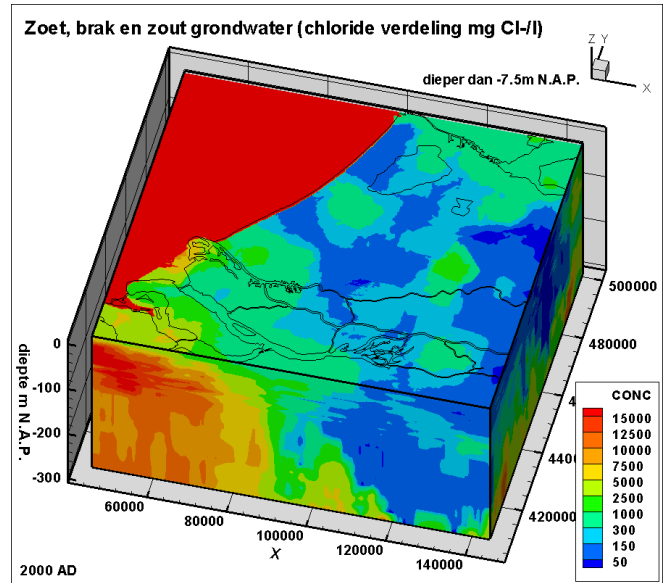
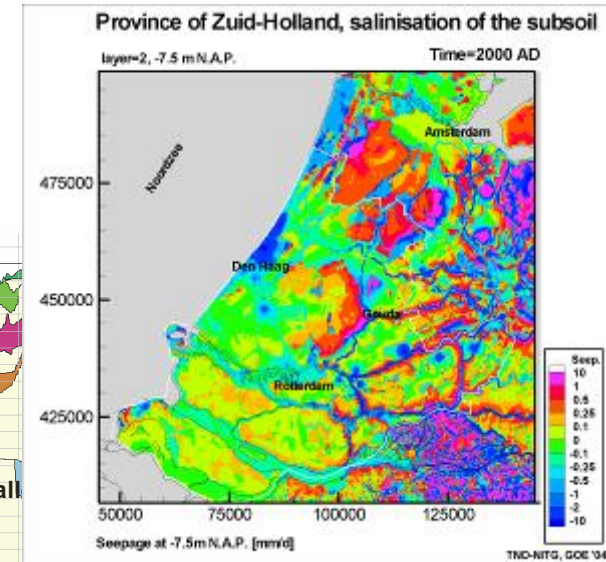
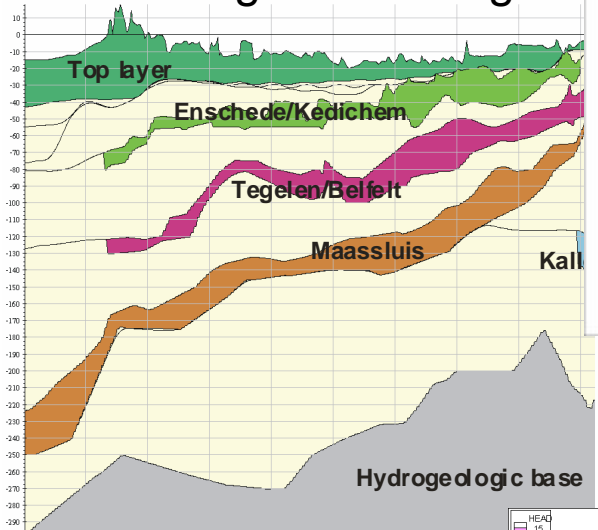
- autonomous salinisation
- sea level rise
- changing recharge pattern
- land subsidence
- changing extraction rates
- adaption measures



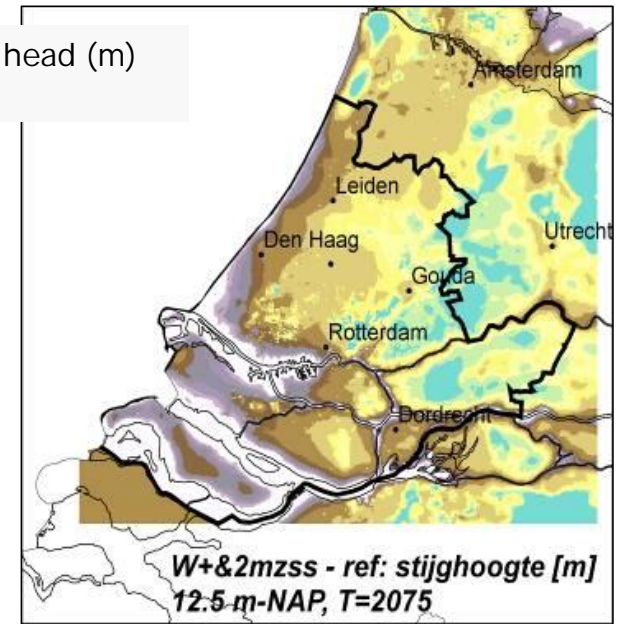
Province Zuid-Holland (2004, update 2008, etc.)



- Land subsidence
- Sea level rise
- Change in recharge



difference in head (m)



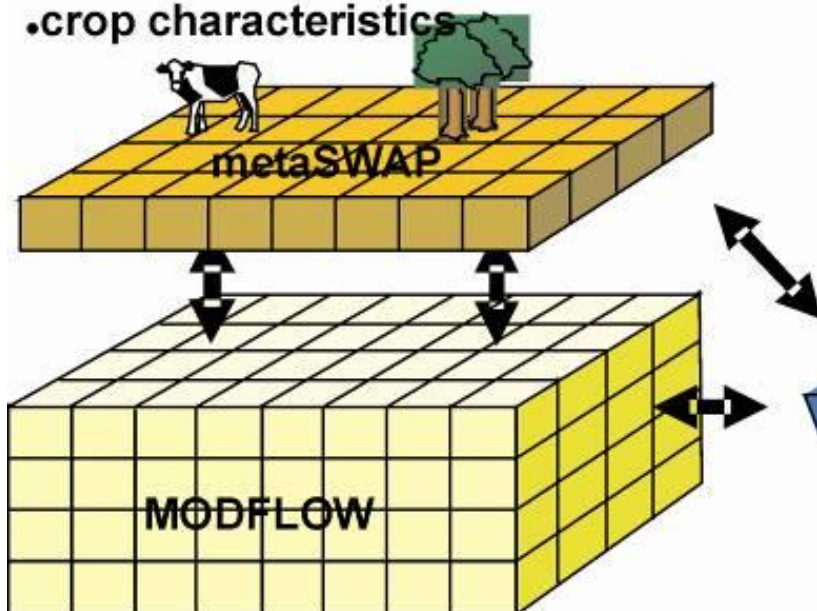
Nationaal Hydrologisch Instrumentarium NHI



539486 UZ-units

data on:

- soil characteristics
- land use
- crop characteristics

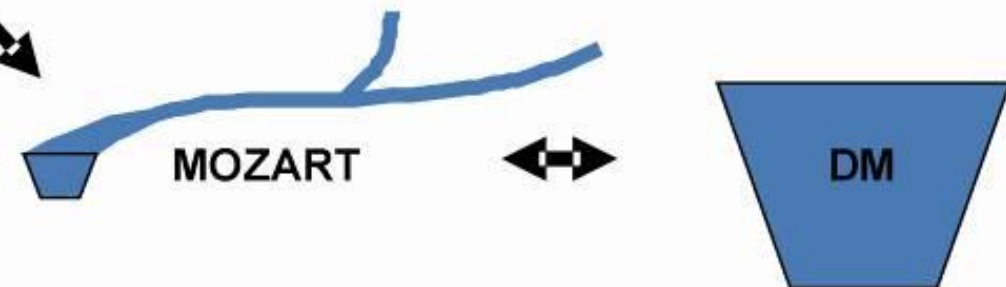


250 x 250 m,
1300 x 1200 x 4 cells
geohydrologic model REGIS

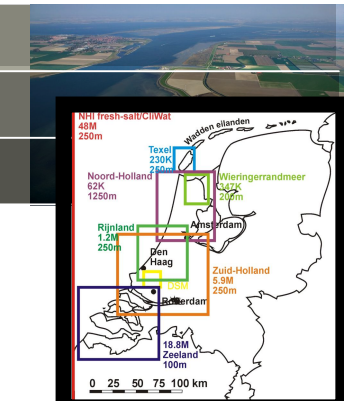
130 main surface water units,
9000 local surface water units,
60000 weir level units

data on:

- water level
- hydraulic capacities
- water management practices



Netherlands Hydrological modelling Instrument for fresh-saline groundwater



Using the national subsoil parametrisation

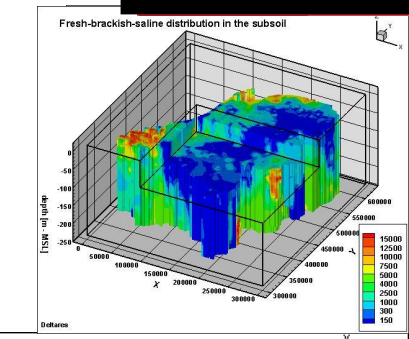
4 layers based on REGIS and NHI

31 model layers with varying thicknesses: 2*5m; 10*2m; 8*5m en 11*20m

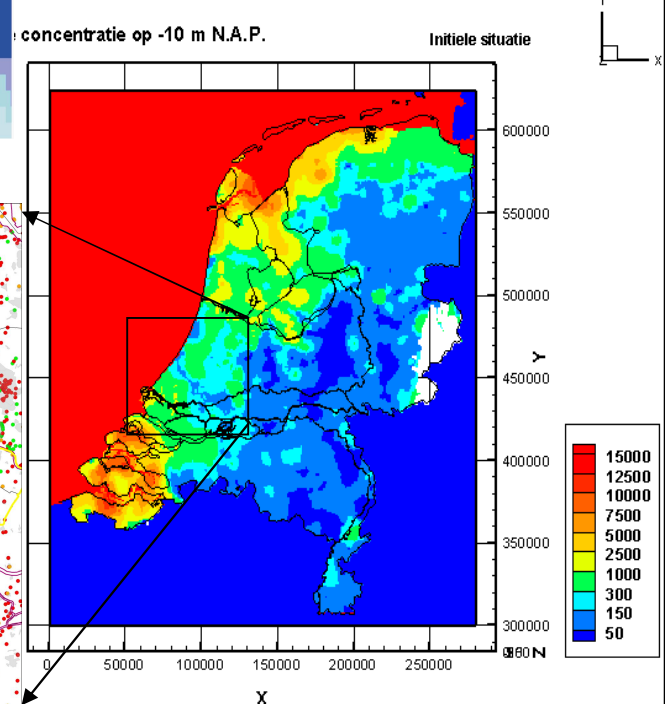
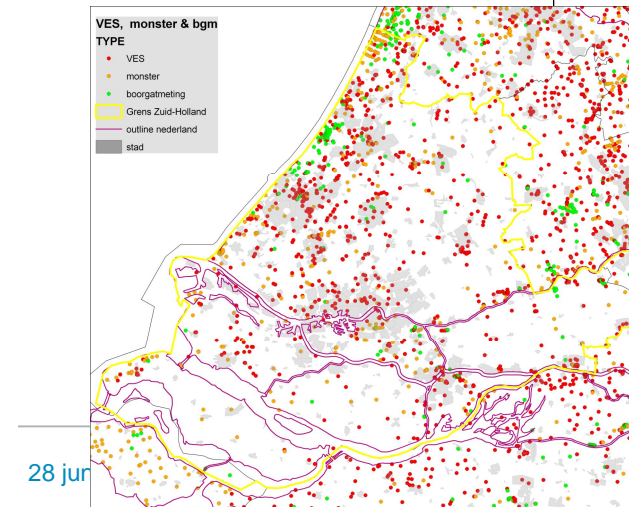
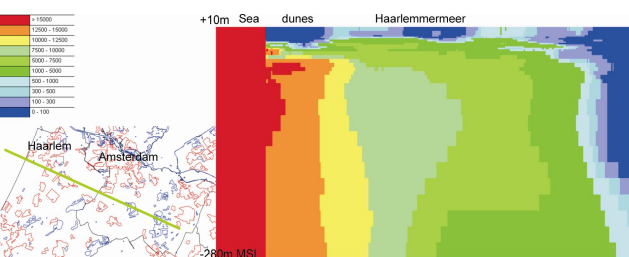
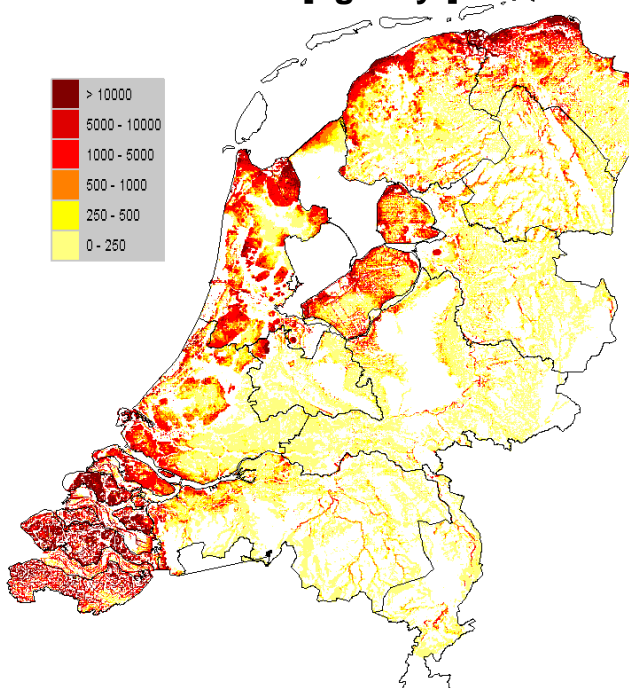
cellsize 250x250m

Using the national 3D salt concentration in groundwater

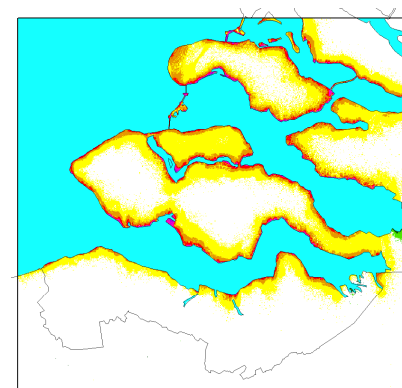
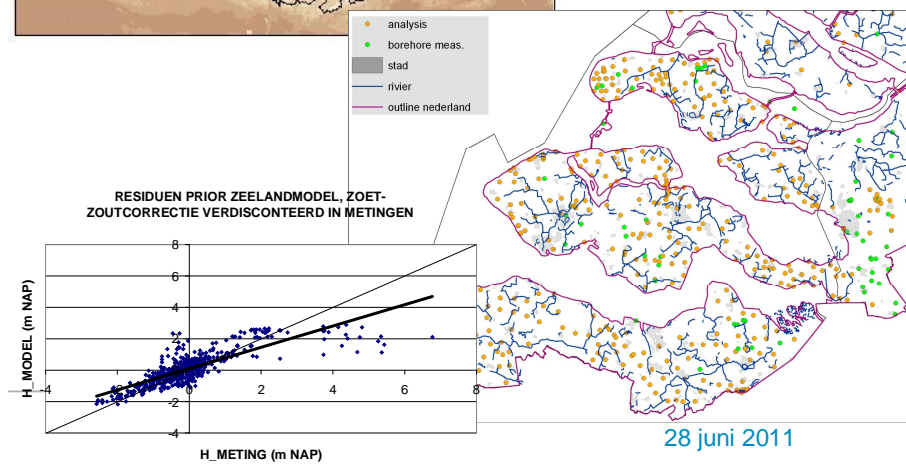
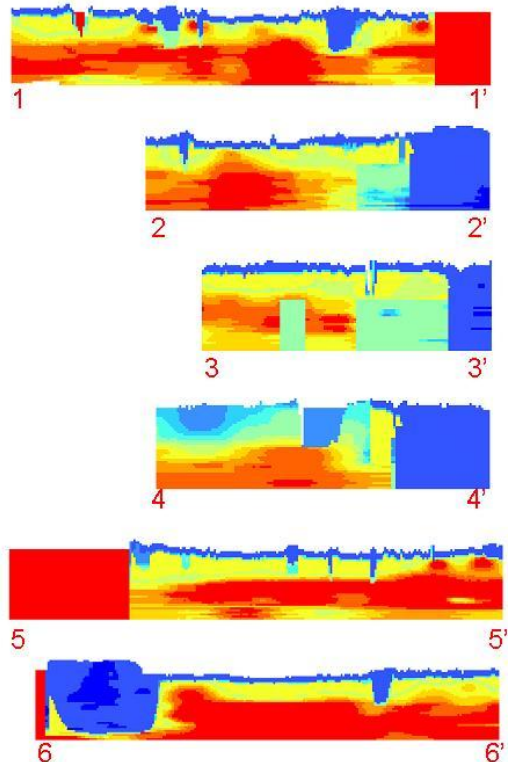
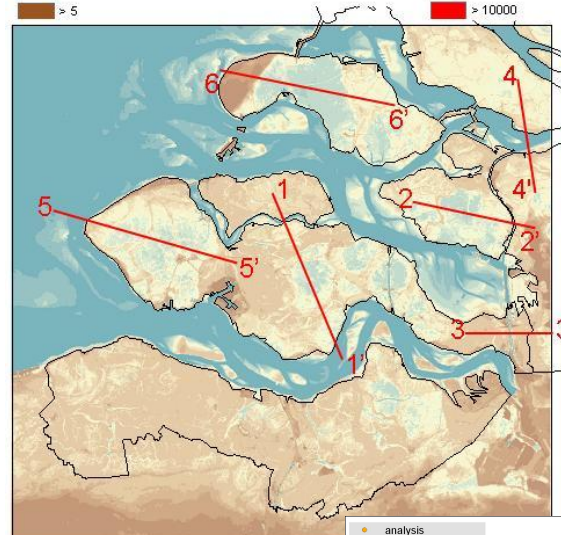
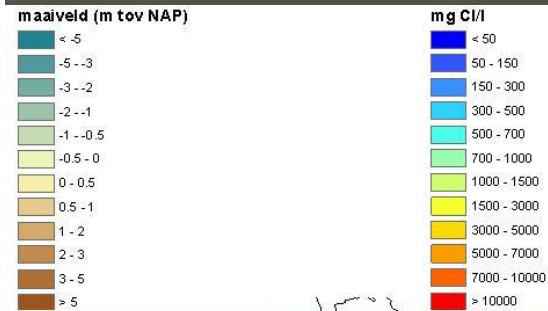
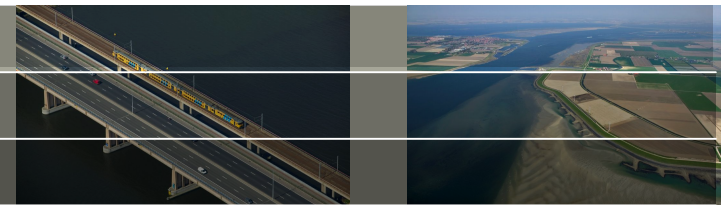
Fresh-saline REGIS: ~65000 measuring points (analyses, VES, Borehole)



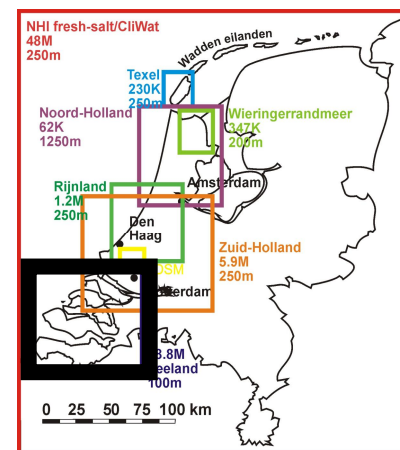
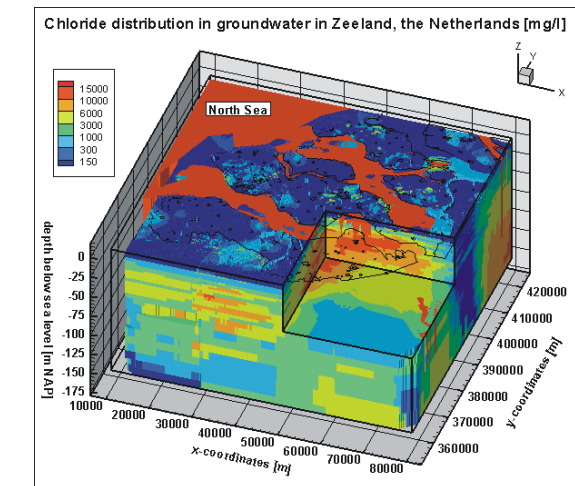
Result: Salt load [kg/ha/yr]



3D model Zeeland



Freshwater head sea level +1m

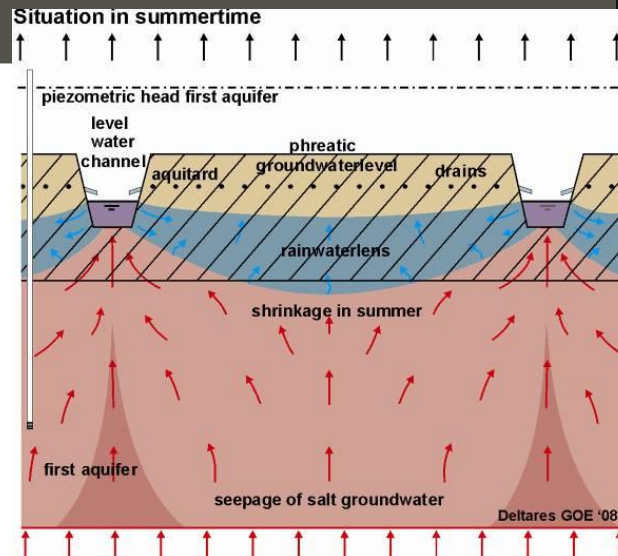


Assessing climate change effect on freshwater lenses



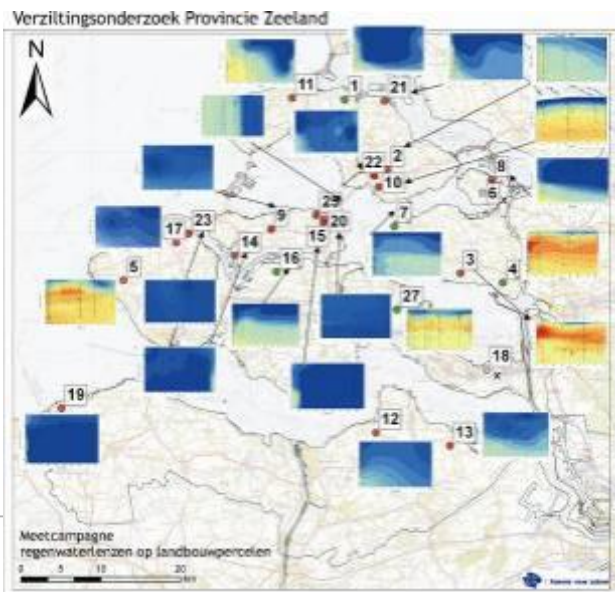
Monitoring:

- Geology
- TEC-probe
- Sampling (head & conc)
- EM31
- CVES
- HEM

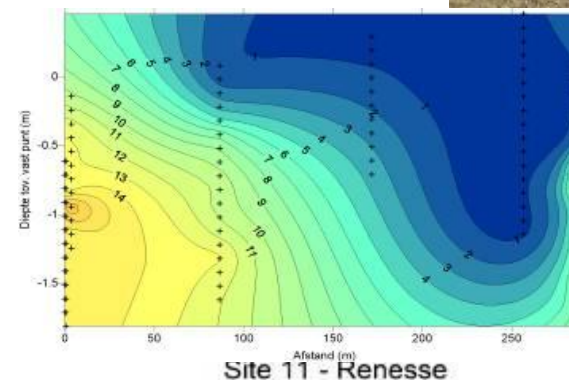


TEC probe

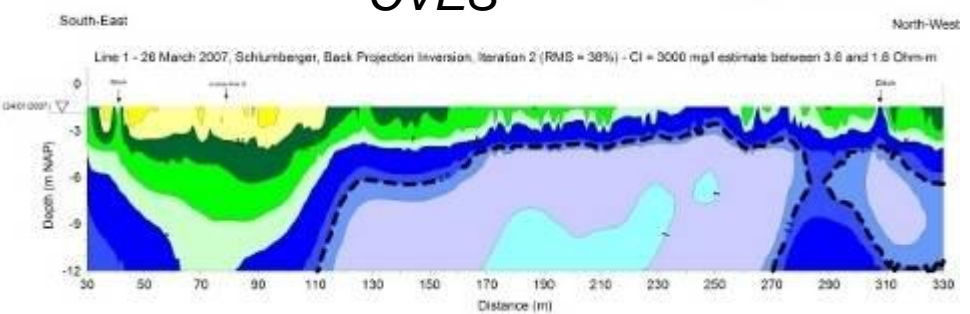
Groundwater modeling

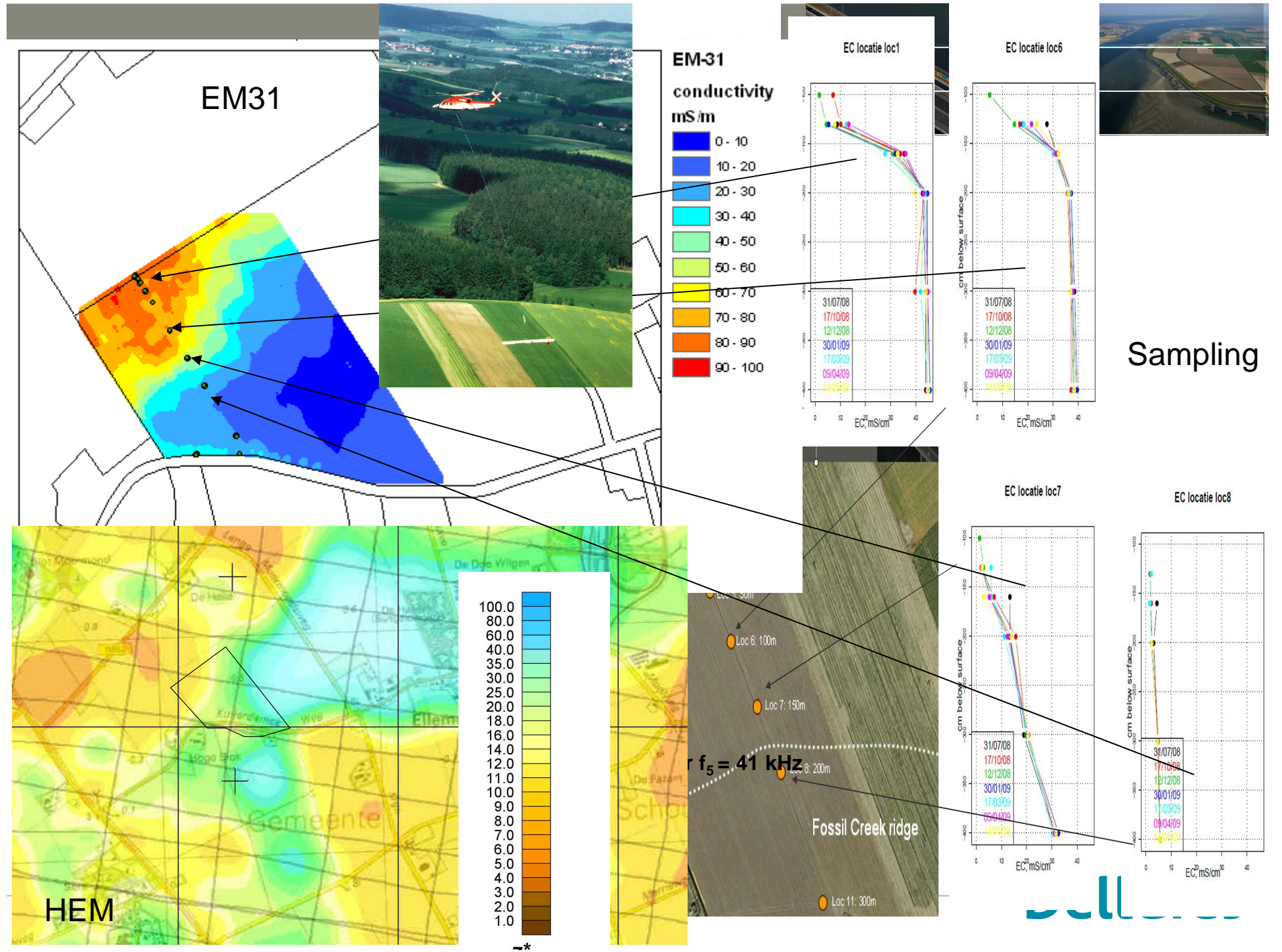


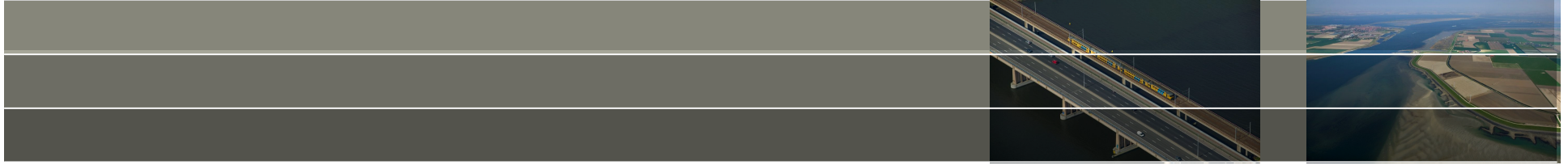
28 juni 2011

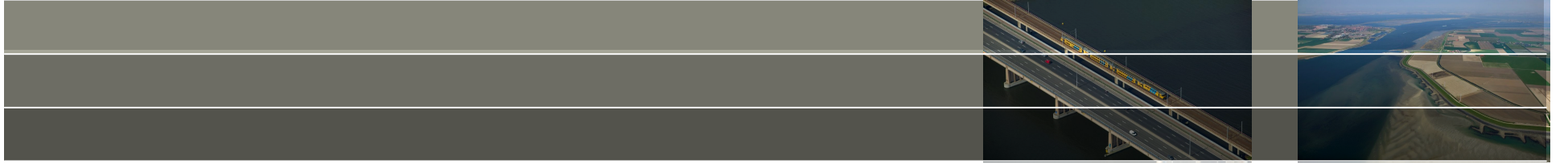


CVES



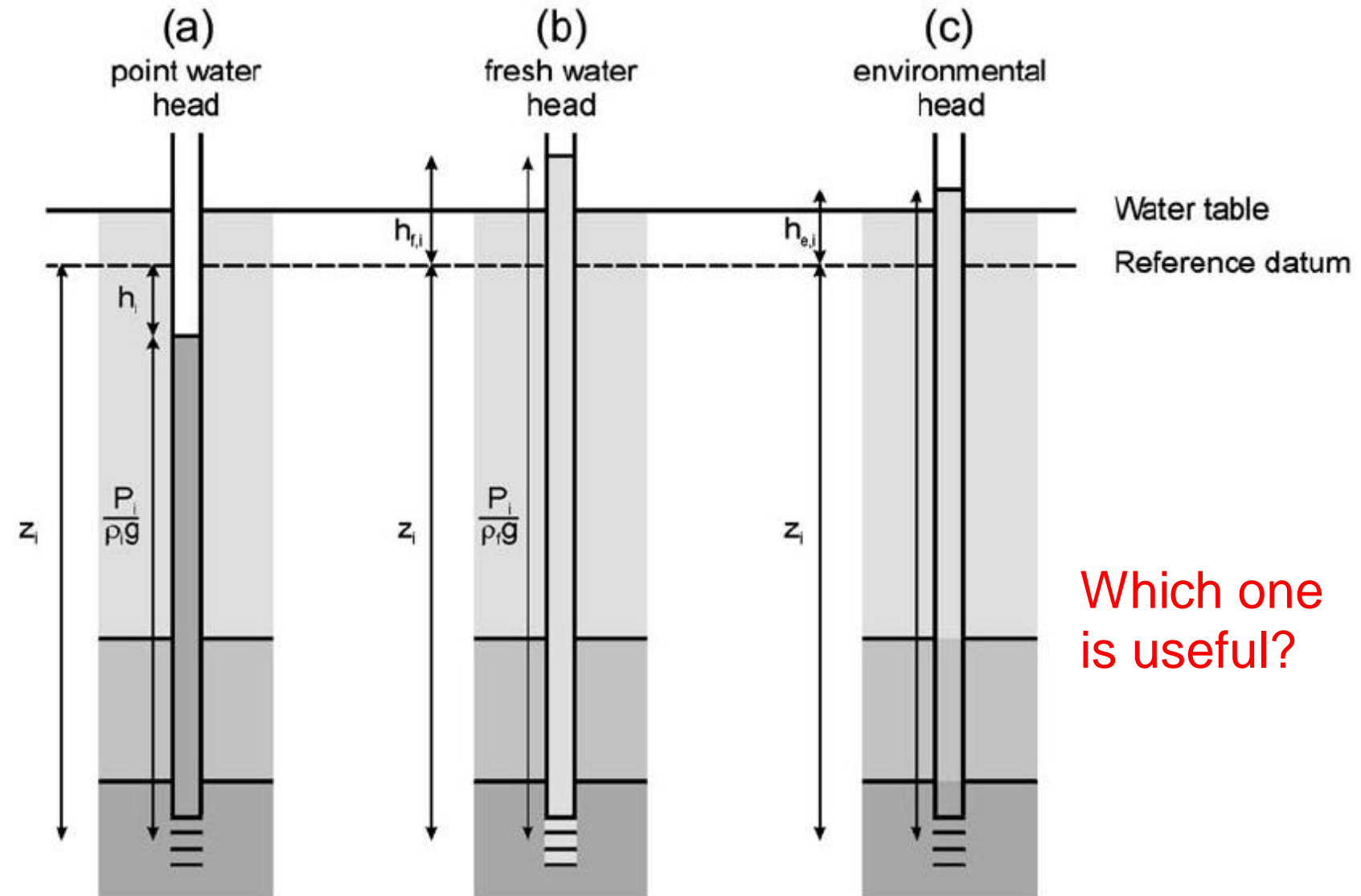




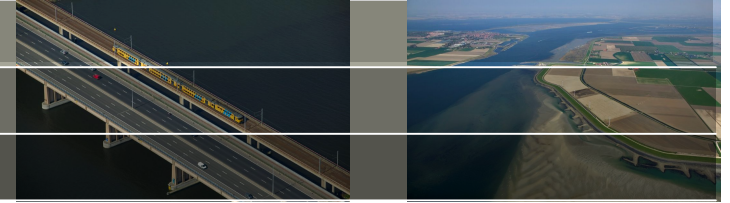


Zoetwaterstijghoogte

There are three common ways to define head

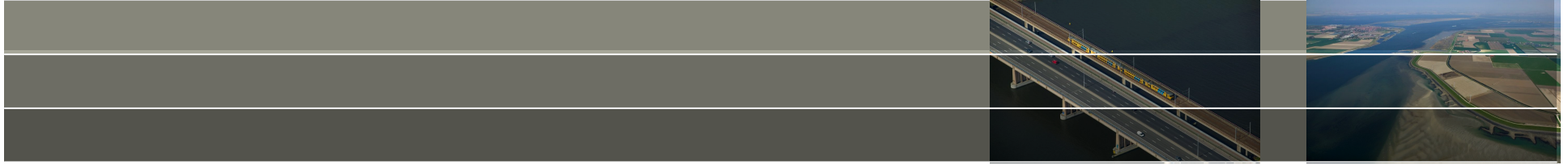


Zoetwaterstijghoogte ϕ_f

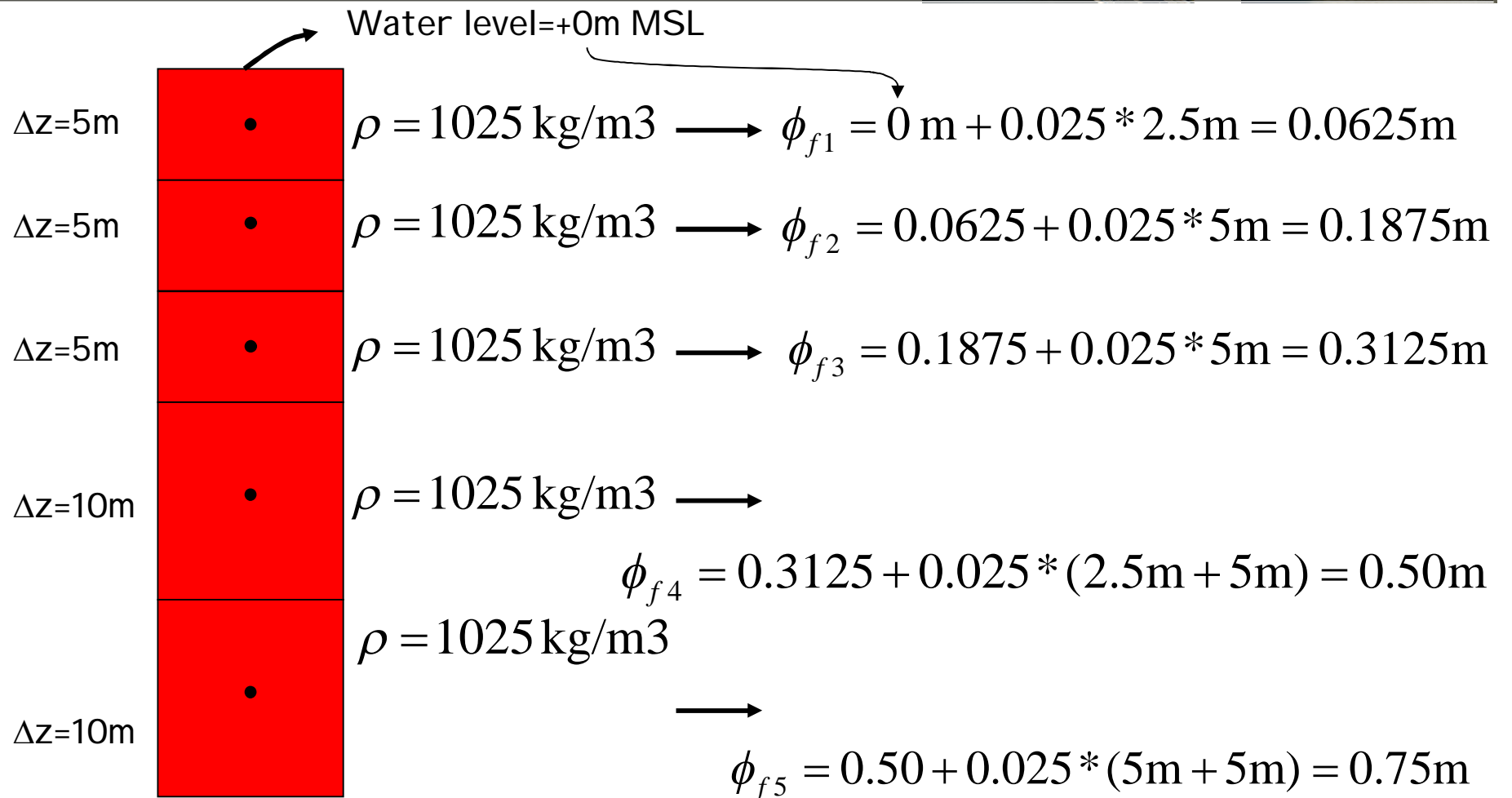


$$\phi_f = \frac{p}{\rho_f g} + z$$

- Vergelijken grondwater met verschillende dichthesden
- Fictieve parameter
- In plaats van drukken
- Verwarrend (zoetwaterstijghoogte staat loodrecht op stroomlijnen)



Hydrostatic boundary condition at the sea

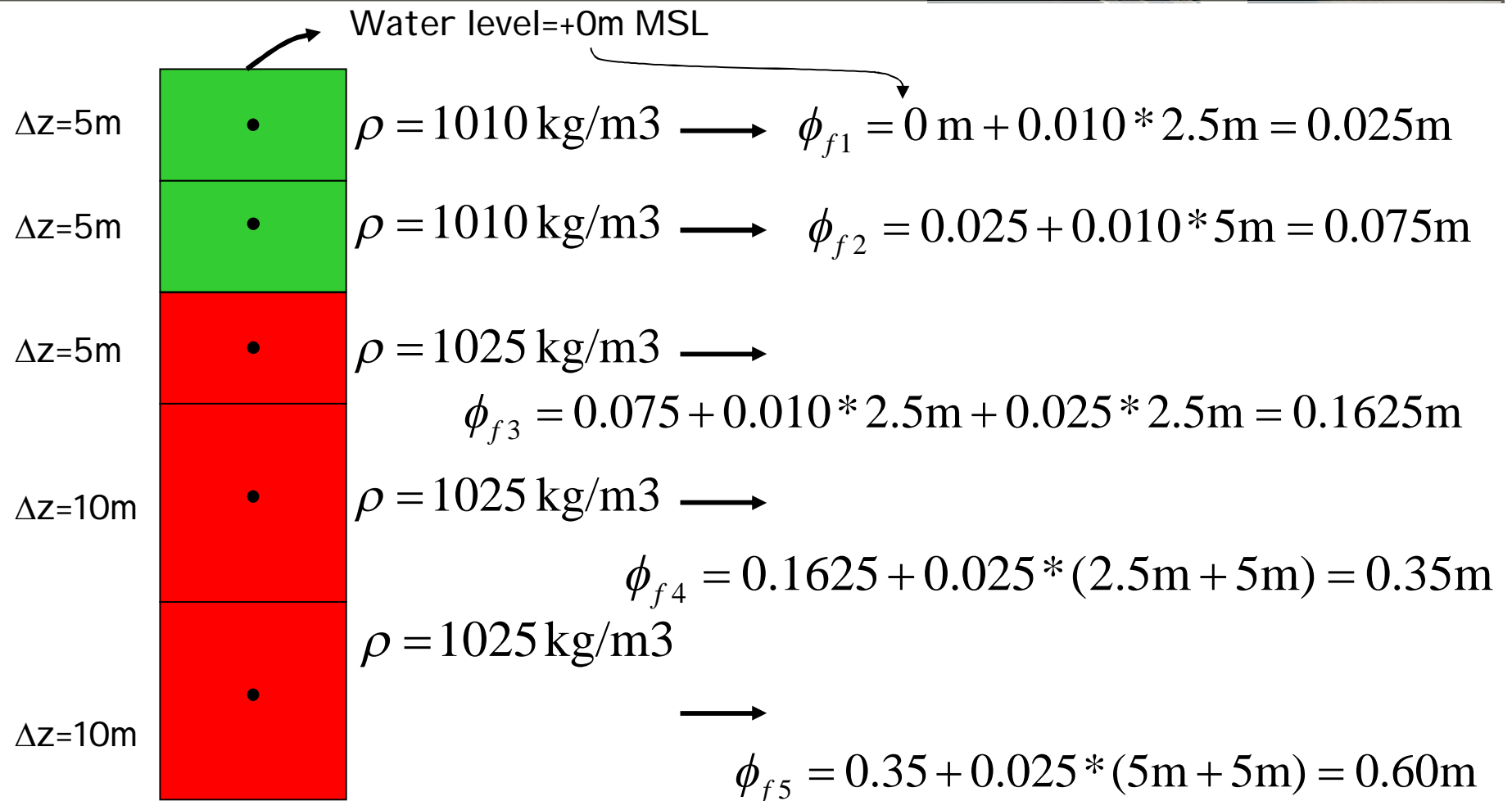


$$\phi_{f2} = \phi_{f1} + \frac{\rho - \rho_f}{\rho_f} (\Delta z)$$

28 juni 2011

Deltares

Hydrostatic boundary condition at an estuary



$$\phi_{f2} = \phi_{f1} + \frac{\rho - \rho_f}{\rho_f} (\Delta z)$$

28 juni 2011

Deltares



$\Delta z = 10m$

$\rho = 1000 \text{ kg/m}^3$

p_1 5m

$\Delta z = 10m$

$\rho = 1000 \text{ kg/m}^3$

p_2 10m

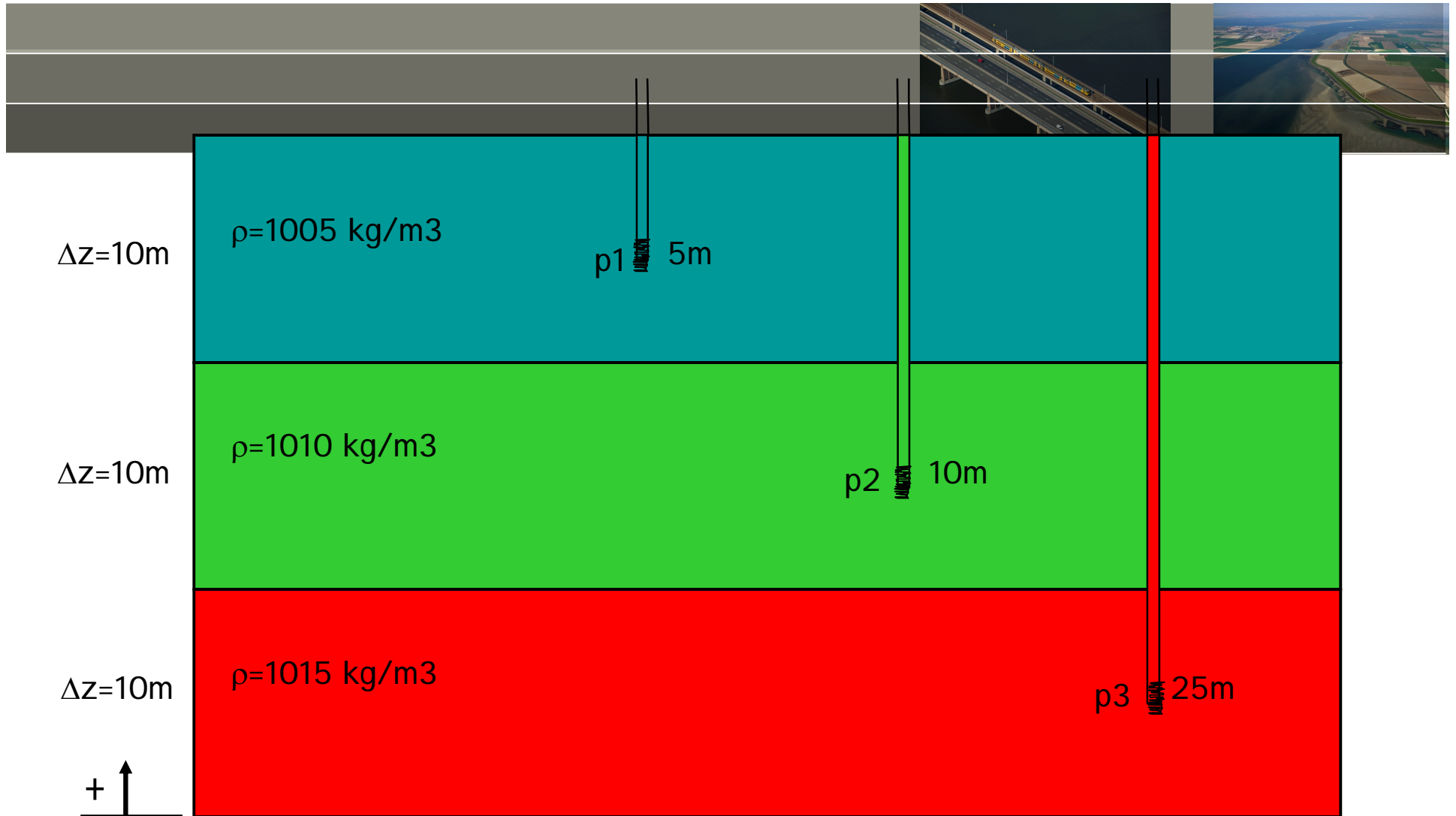
$\Delta z = 10m$

$\rho = 1000 \text{ kg/m}^3$

p_3 25m

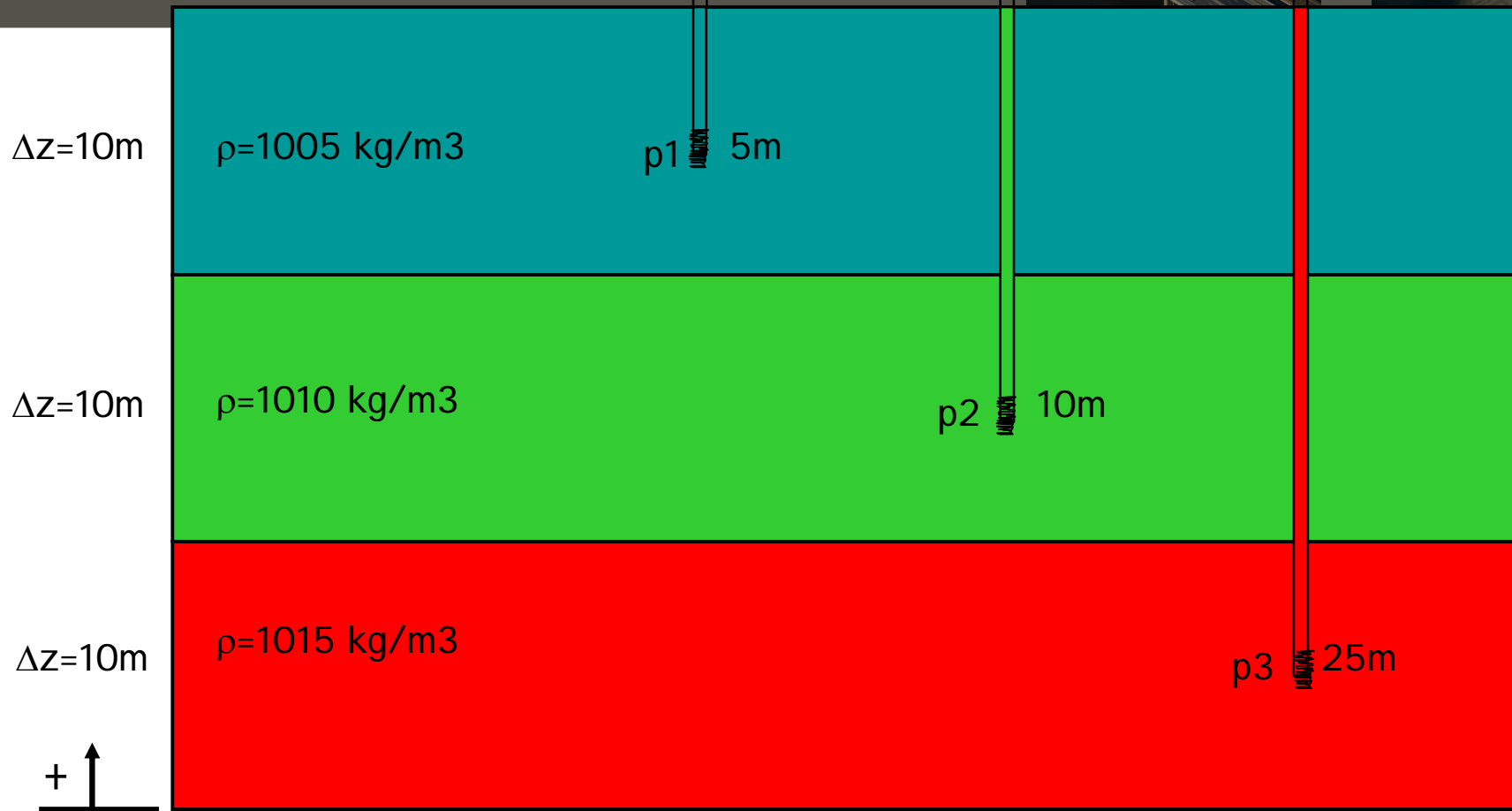


No flow



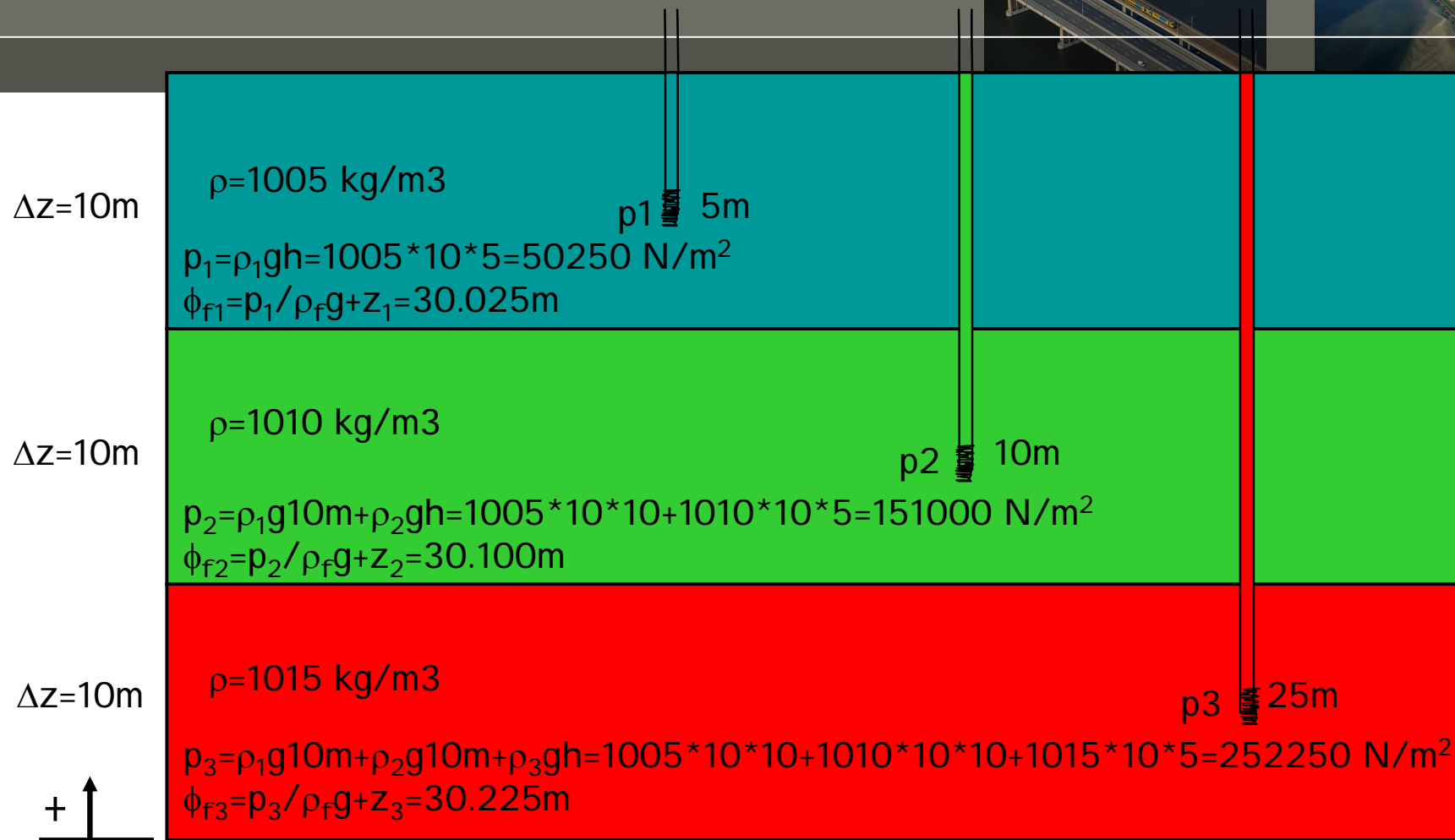
Flow or no flow? (if $p \neq$ hydrostatic than flow)

Calculate to freshwater head!



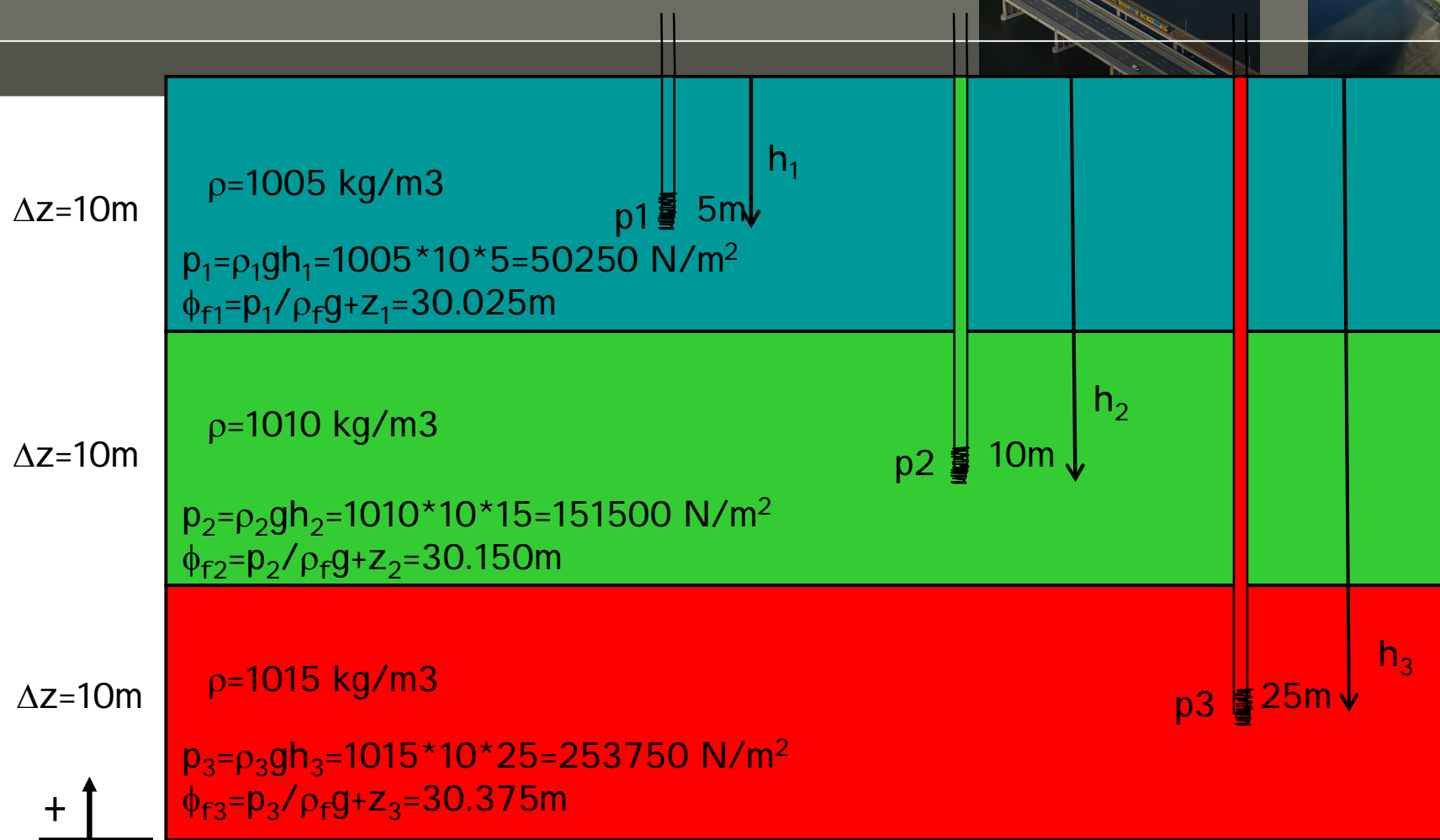
1. Determine hydrostatic pressure (and freshwater head f_f)
2. Determine pressure p in well! (and freshwater head f_f)

1. Determine hydrostatic pressure and fwhead



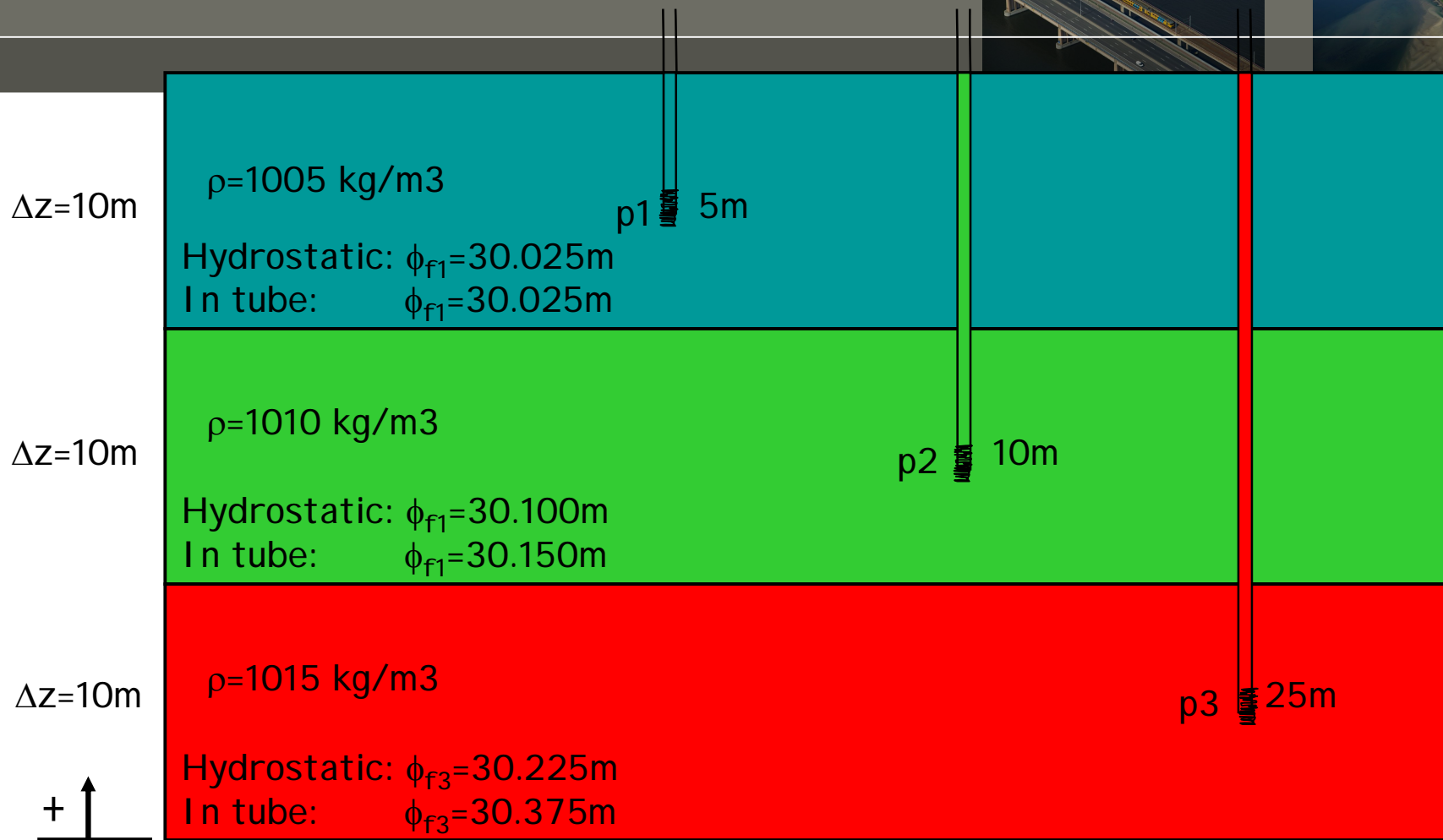
1. Determine hydrostatic pressure (and freshwater head f_f)
2. Determine pressure p in well! (and freshwater head f_f)

2. Determine pressure p in well and fwthead



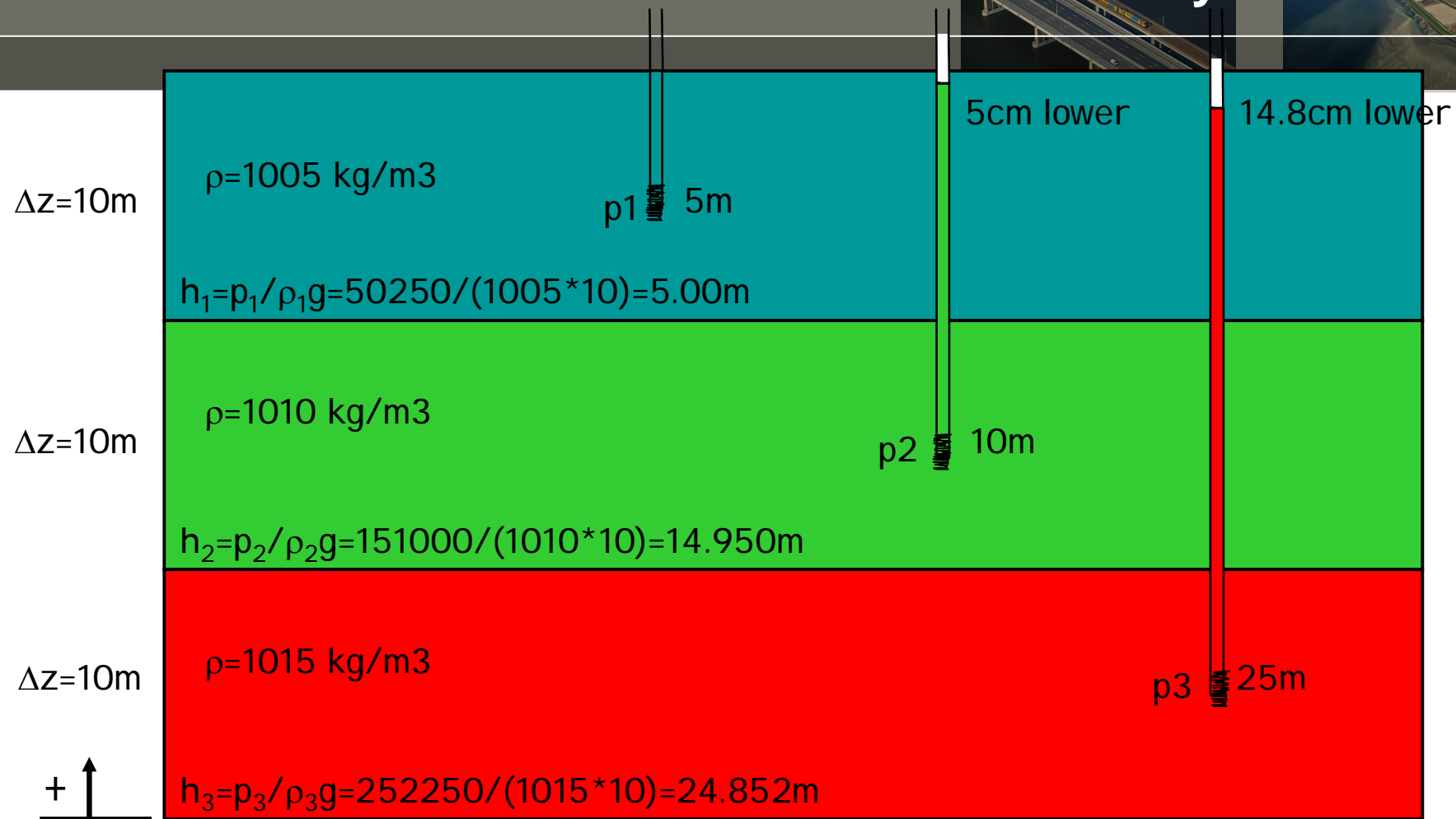
1. Determine hydrostatic pressure (and freshwater head f_f)
2. Determine pressure p in well! (and freshwater head f_f)

Comparison



Conclusion: freshwater head not equal, so vertical upward flow!

What would be the water level in the tube if hydrostatic?



Hydrostatic pressure: $q_z=0$

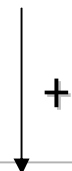


$$q_z = -\frac{\kappa_z \rho_f g}{\mu} \left(\frac{\partial \phi_f}{\partial z} + \frac{\rho - \rho_f}{\rho_f} \right)$$

$$0 = \left(\frac{\partial \phi_f}{\partial z} + \frac{\rho - \rho_f}{\rho_f} \right)$$

$$\partial \phi_f = -\frac{\rho - \rho_f}{\rho_f} \partial z$$

$$\phi_{f2} = \phi_{f1} - \frac{\rho - \rho_f}{\rho_f} (z2 - z1)$$

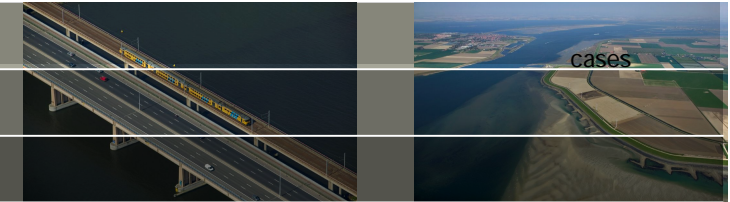


$$\phi_{f2} = \phi_{f1} + \frac{\rho - \rho_f}{\rho_f} (\Delta z)$$

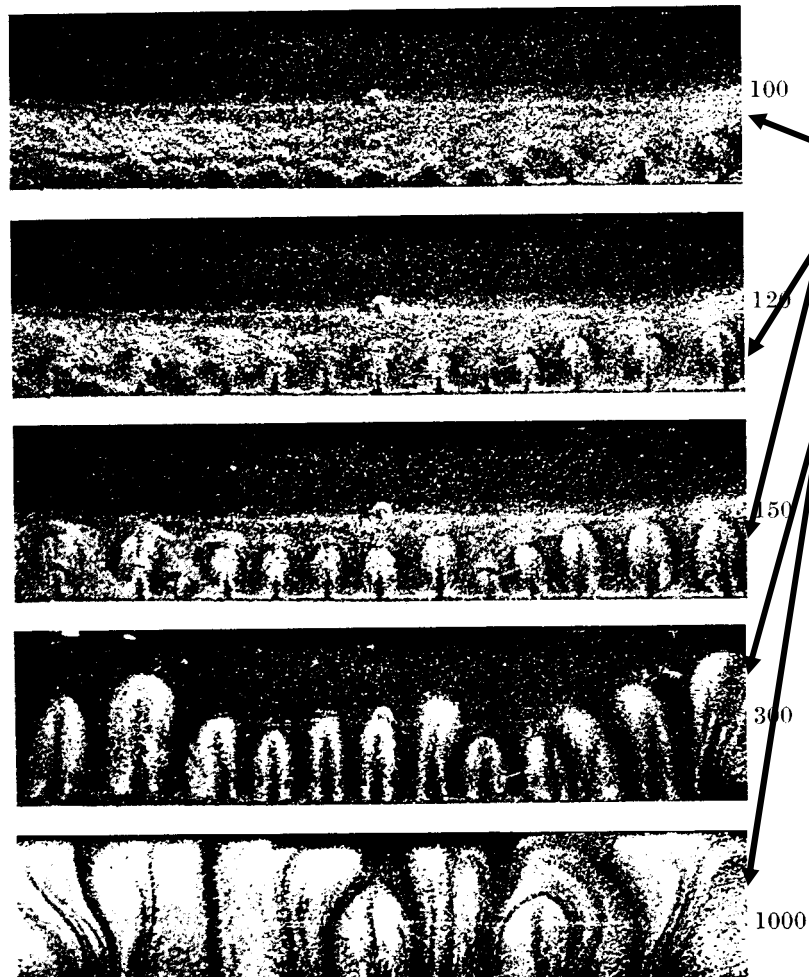
28 juni 2011

Deltares

Elder problem (I)



It is originally a heat transport problem



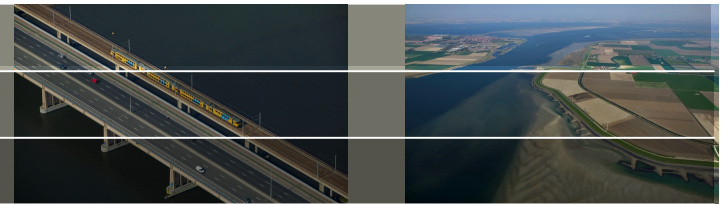
Phases:

1. Stable growth diffusive boundary layer
2. Development flow cells embedded in boundary layer
3. Emergence of disturbances that grow into fingers

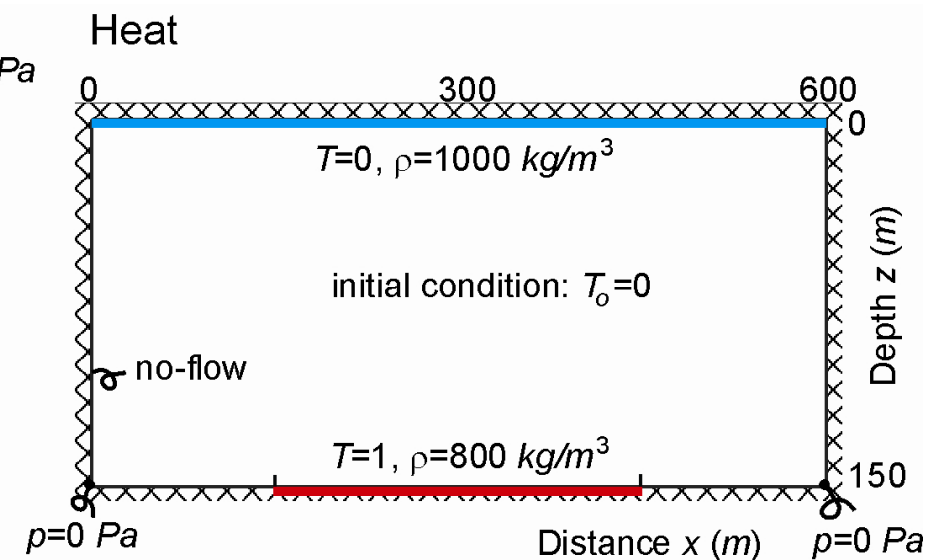
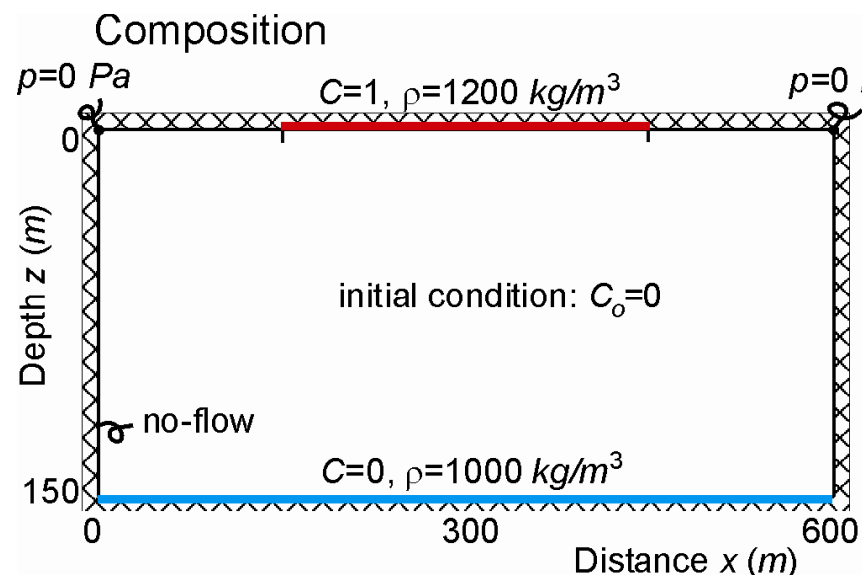
Convection of heat occurs when:

$$\text{Rayleigh number} > 4\pi^2$$

Elder problem (II)

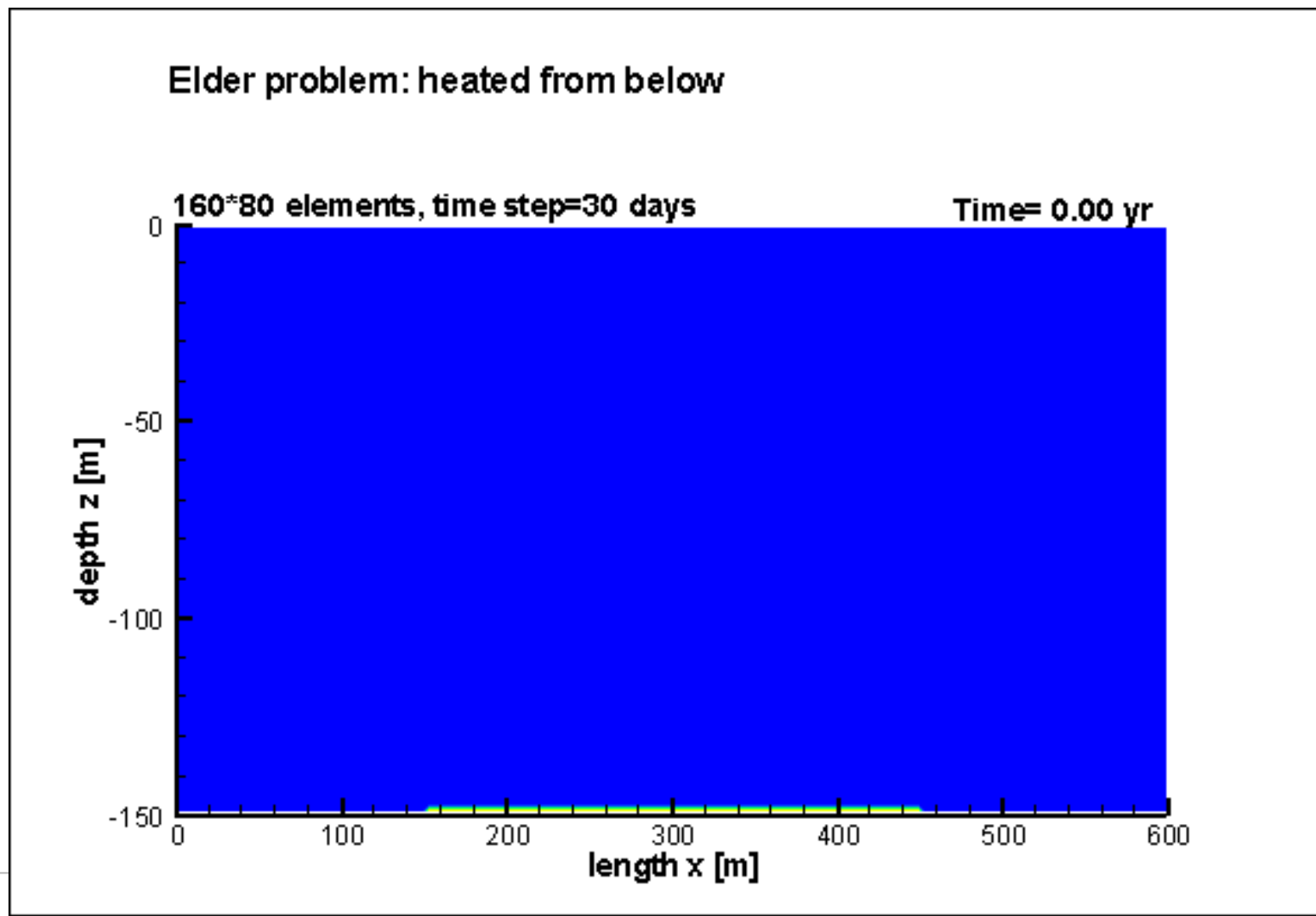


Analogy composition and heat



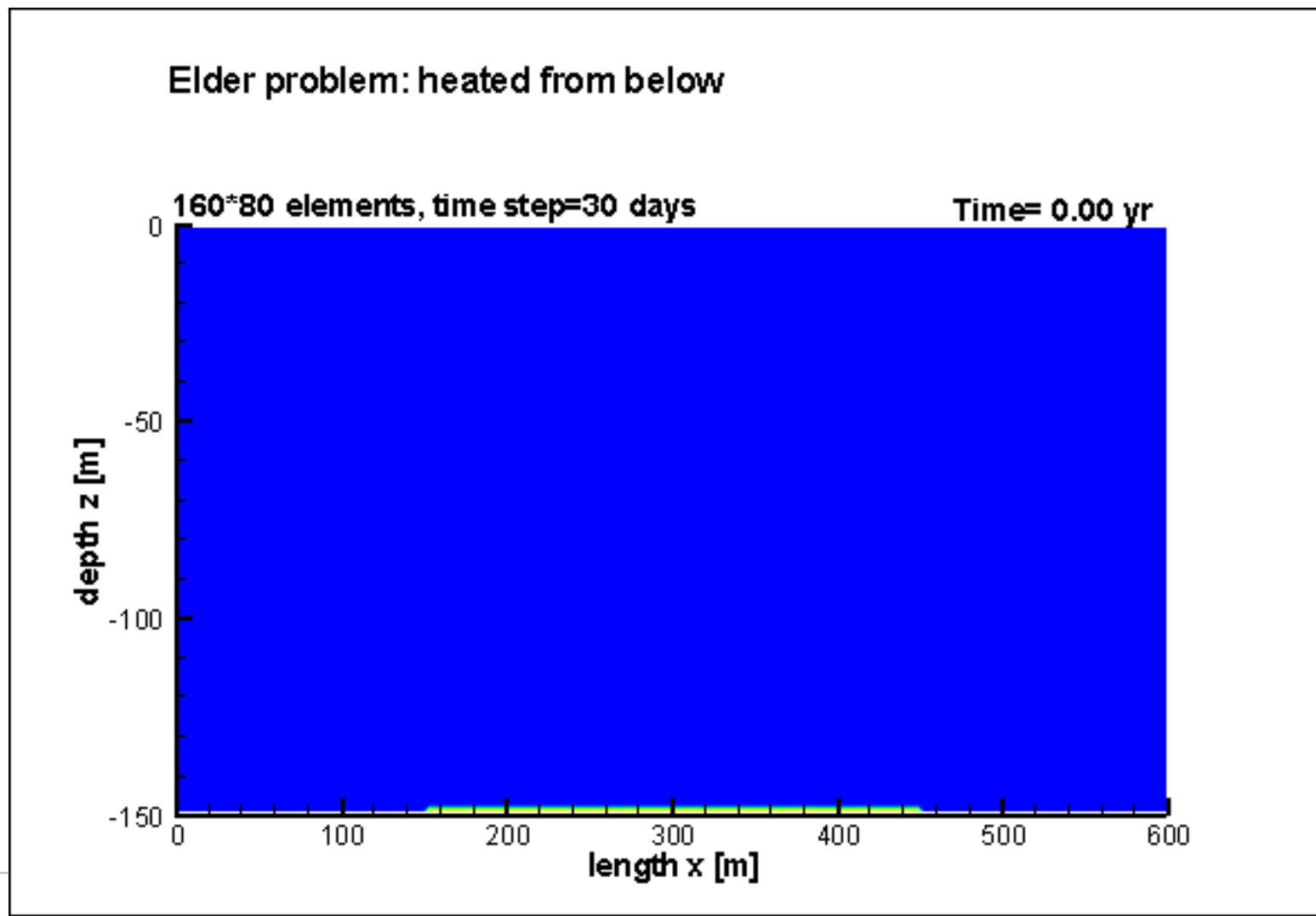


Development of convection cells (Rayleigh number=400)

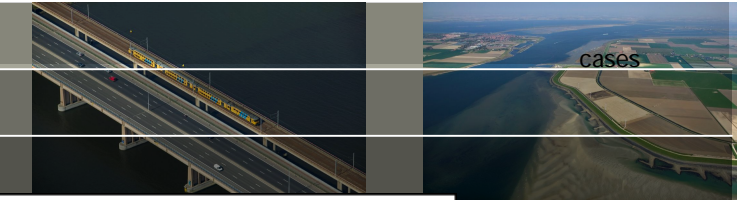




Development of convection cells (Rayleigh number=400)



Heat transport (Rayleigh number=4000)

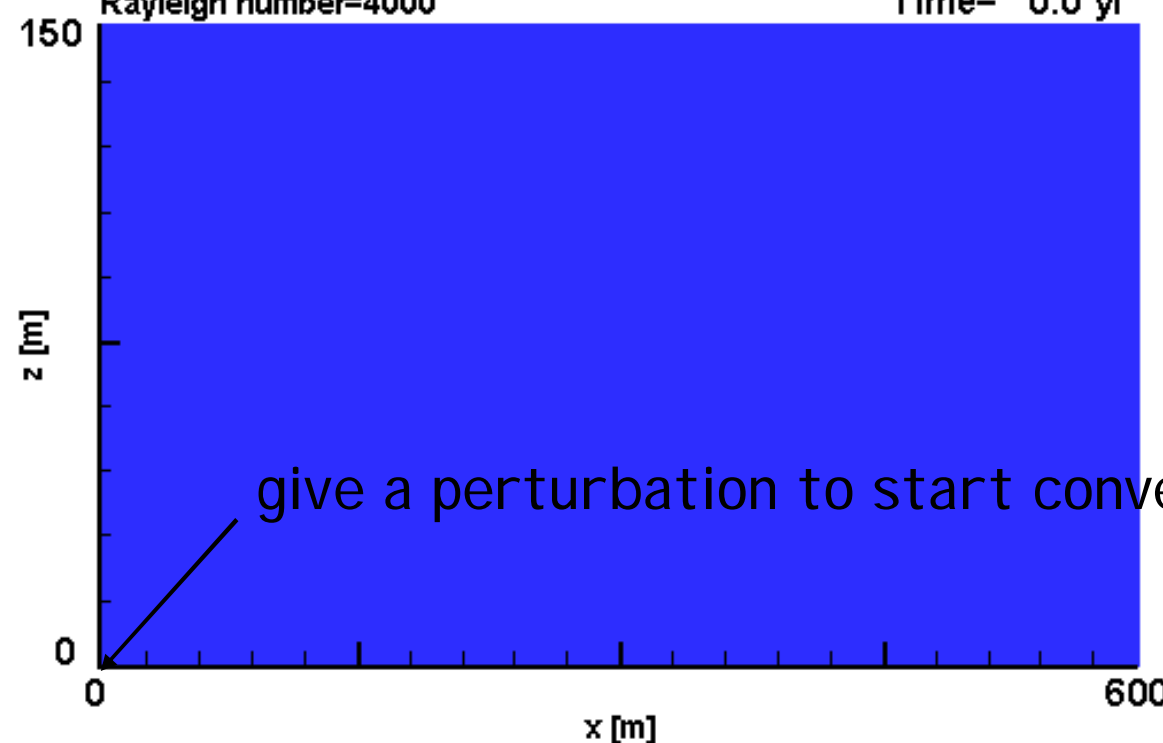


cases

Heat transport: conduction and convection

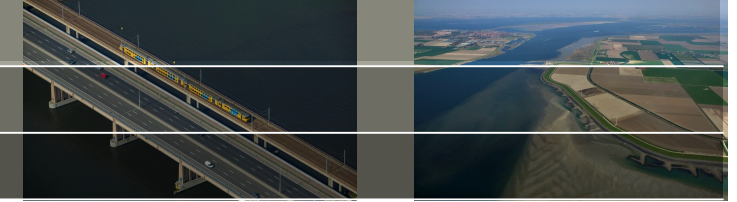
Rayleigh number=4000

Time= 0.0 yr



eltares

Conclusies



1. In kustgebieden kunnen dichtheidsverschillen een belangrijke rol spelen
2. Autonome proces heeft een grotere invloed op de verzilting van Nederland dan klimaatverandering
3. Het verschil tussen de gevolgen van de klimaatscenario's is klein voor het grondwater systeem
4. Regenwaterlenzen zijn kwetsbare systemen
5. Te weinig metingen kwaliteit in het kustgebied